

การปรับปรุงอัลกอริทึมผู้จัดโดยใช้อัลกอริทึมการค้นหาแบบนกคูเหว่า  
สำหรับระบบอนุกรม

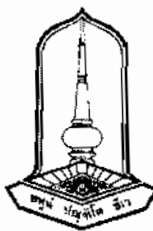
นานะ โสภา

เสนอต่อมหาวิทยาลัยมหาสารคาม เพื่อเป็นส่วนหนึ่งของการศึกษาตามหลักสูตร  
ปริญญาปรัชญาดุษฎีบัณฑิต สาขาวิชาศวกรรມไฟฟ้าและคอมพิวเตอร์

สิงหาคม 2559

ลิขสิทธิ์เป็นของมหาวิทยาลัยมหาสารคาม





คณะกรรมการสอบวิทยานิพนธ์ ได้พิจารณาวิทยานิพนธ์ของนายมานะ โสก  
แล้วเห็นสมควรรับเป็นส่วนหนึ่งของการศึกษาตามหลักสูตรปริญญาปรัชญาดุษฎีบัณฑิต  
สาขาวิชาศึกษากรรมไฟฟ้าและคอมพิวเตอร์ ของมหาวิทยาลัยมหาสารคาม

คณะกรรมการสอบวิทยานิพนธ์

Ananak

(ผศ.ดร.อนันต์ เครือทรัพย์ถาวร)

(ผศ.ดร.นิวัติ์ อังควิชัยพันธ์)

(รศ.ดร.วรવัฒน์ เสจิยมวุฒิ)

ประธานกรรมการ

(ผู้ทรงคุณวุฒิ)

กรรมการ

(อาจารย์ที่ปรึกษาวิทยานิพนธ์หลัก)

กรรมการ

(อาจารย์บัณฑิตศึกษาประจำคณะ)

กรรมการ

(อาจารย์บัณฑิตศึกษาประจำคณะ)

มหาวิทยาลัยอนุมัติให้รับวิทยานิพนธ์ฉบับนี้ เป็นส่วนหนึ่งของการศึกษาตามหลักสูตร  
ปริญญาปรัชญาดุษฎีบัณฑิต สาขาวิชาศึกษากรรมไฟฟ้าและคอมพิวเตอร์ ของมหาวิทยาลัยมหาสารคาม

(รศ.ดร.อนงค์ฤทธิ์ แข็งแรง)

คณบดีคณนาคมวิศวกรรมศาสตร์

(ศ.ดร.ประดิษฐ์ เทอตทูล)

คณบดีบัณฑิตวิทยาลัย

วันที่ 14 เดือน ส.ค. พ.ศ. 2559



## กิตติกรรมประกาศ

วิทยานิพนธฉบับนี้สำเร็จสมบูรณ์ได้ด้วยความกรุณาและความช่วยเหลืออย่างสูงยิ่งจาก  
ผู้ช่วยศาสตราจารย์ ดร.นิวัติ์ อังคิศิษฐพันธ์ อาจารย์ที่ปรึกษาวิทยานิพนธหลัก ผู้ช่วยศาสตราจารย์  
ดร.อนันต์ เครือทรัพย์ดาวร ประธานกรรมการสอบ รองศาสตราจารย์ ดร.วรวัฒน์ เสنجัยมวบูล และ  
ผู้ช่วยศาสตราจารย์ ดร.ชลธี โพธิ์ทอง กรรมการสอบ

ขอขอบคุณ คณะวิศวกรรมศาสตร มหาวิทยาลัยมหาสารคาม ให้ความช่วยเหลือด้านเครื่องมือ<sup>1</sup>  
และอุปกรณ์ต่าง ๆ ในการทำวิทยานิพนธให้เสร็จสมบูรณ์

ขอขอบคุณ มหาวิทยาลัยราชภัฏอุตรธานี ที่ให้ทุนการศึกษา ตลอดจนให้ความช่วยเหลือ<sup>2</sup>  
ด้านเครื่องมือและอุปกรณ์ต่าง ๆ ในการทำวิทยานิพนธให้เสร็จสมบูรณ์

ขอขอบคุณพี่ ๆ เพื่อน ๆ ทั้งปริญญาเอกและปริญญาโท สาขาวิชาวิศวกรรมไฟฟ้าและ  
คอมพิวเตอร์ทุกคนที่ให้ความช่วยเหลือเรื่องการเรียน การสอบทุก ๆ ครั้ง จนสำเร็จการศึกษา

สุดท้ายขอขอบคุณครอบครัว คุณพ่อ คุณแม่ที่ให้กำเนิด ที่ช่วยอบรมเลี้ยงดู และภรรยา<sup>3</sup>  
ที่คอยให้กำลังใจ เพื่อให้การเรียนสำเร็จลุล่วงไปได้ด้วยดี

มานะ โสภา



ชื่อเรื่อง	การปรับปรุงอัลกอริทึมผุ่งมดโดยใช้อัลกอริทึมการค้นหาแบบบกติเหว่าสำหรับระบบอนุกรุม		
ผู้วิจัย	นายมานะ โลภา		
ปริญญา	ปรัชญาดุษฎีบัณฑิต	สาขาวิชา	วิศวกรรมไฟฟ้าและคอมพิวเตอร์
อาจารย์ที่ปรึกษา	ผู้ช่วยศาสตราจารย์ ดร.นิวัติ อังควิศิษฐ์พันธ์		
มหาวิทยาลัย	มหาวิทยาลัยมหาสารคาม	ปีที่พิมพ์	2559

### บทคัดย่อ

งานวิจัยนี้มีวัตถุประสงค์ เพื่อ 1) เพื่อปรับปรุงอัลกอริทึมผุ่งมดโดยใช้อัลกอริทึมการค้นหาแบบบกติเหว่าสำหรับระบบอนุกรุม 2) เพื่อทดสอบประสิทธิภาพของอัลกอริทึมผุ่งมดที่ปรับปรุงใหม่โดยใช้ฟังก์ชันทดสอบมาตรฐาน และ 3) เพื่อทดสอบประสิทธิภาพของอัลกอริทึมผุ่งมดที่ปรับปรุงใหม่ในการแก้ปัญหาการหาค่าความน่าเชื่อถือที่เหมาะสมที่สุดของระบบอนุกรุมที่มีข้อจำกัดหลายทางเลือกและงบประมาณ ผลการวิจัยพบว่า อัลกอริทึมผุ่งมดร่วมกับอัลกอริทึมการค้นหาแบบบกติเหว่า (Hybrid Ant Colony Optimization Cuckoo Search: Hybrid ACO-CS) สามารถแก้ปัญหาอพติไม้เข็ง เชิงตัวเลขได้ทุกฟังก์ชันที่นำเสนอด้วยประสิทธิภาพสูงในการแก้ปัญหาฟังก์ชัน De Jong, ฟังก์ชัน Schwefel (Unimodal), ฟังก์ชัน Ackley, ฟังก์ชัน Griewank และฟังก์ชัน Quartic และการทดสอบประสิทธิภาพของอัลกอริทึมที่นำเสนอด้วยความสามารถแก้ปัญหาการหาค่าความน่าเชื่อถือที่เหมาะสมที่สุดของระบบอนุกรุมที่มีข้อจำกัดหลายทางเลือกและงบประมาณ ประกอบด้วยระบบอนุกรุมที่มี 15 ระบบย่อย และมีตัวแปรที่ใช้ในการตัดสินใจ 60, 80 และ 100 ตัวแปร อัลกอริทึม Hybrid ACO-CS และ ACO2SWAP ให้ผลลัพธ์การแก้ปัญหาที่ดีและแม่นยำ และใช้เวลาในการค้นหาคำตอบมากขึ้นสำหรับระบบอนุกรุมที่มีข้อมูลเมตadata อิวิสติกขนาดใหญ่

คำสำคัญ : อัลกอริทึมผุ่งมด ; อัลกอริทึมการค้นหาแบบบกติเหว่า ; ระบบอนุกรุม ; เมต้าอิวิสติก



**TITLE** An Improved Ant Colony Algorithm using Cuckoo Search Algorithm for a Series System

**AUTHOR** Mr. Mana Sopa-

**DEGREE** Doctor of Philosophy    **MAJOR** Electrical and Computer Engineering

**ADVISORS** Asst. Prof. Niwat Angkawisittpan, Ph.D.

**UNIVERSITY** Mahasarakham University    **YEAR** 2016

### ABSTRACT

This research aims to 1) to improve the ant colony algorithm using cuckoo search algorithm for a series system 2) to test the performance of the propose algorithm by using the optimization test functions and 3) to test the effectiveness of the propose algorithm to solve the problem of finding the optimal reliability of a serial systems with budget constraint and multiple-choice. The results showed that the algorithm called Hybrid Ant Colony Optimization Cuckoo Search (Hybrid ACO-CS) can solved all the functions and highly effective solution functions De Jong, Schwefel (Unimodal), Ackley, Griewank and Quartic functions. The Hybrid ACO-CS and ACO2SWAP algorithm can solved the problem of finding the optimal reliability of a serial systems, the system consists of a series of 15 subsystem 60, 80 and 100 decision variable with results in better solutions and precision and take the time to find more answers for the large meta-heuristic.

**Key Words :** Ant colony algorithm ; Cuckoo Search ; Series system ; Meta-heuristic



## สารบัญ

หน้า

กิตติกรรมประกาศ	ก
บทคัดย่อภาษาไทย	ข
บทคัดย่อภาษาอังกฤษ	ค
สารบัญตาราง	ฉ
สารบัญภาพประกอบ	ய
บทที่ 1 บทนำ	1
1.1 หลักการและเหตุผล	1
1.2 ความมุ่งหมายของการวิจัย	๓
1.3 ขอบเขตของการวิจัย	3
1.4 การดำเนินการวิจัย	4
1.5 ประโยชน์ที่คาดว่าจะได้รับ	5
บทที่ 2 ปรัชญาเอกสารข้อมูล	6
2.1 เมตาอิริสติก (Meta-Heuristic)	6
2.2 ปัญหาการหาค่าความน่าเชื่อถือที่เหมาะสมของระบบอนุกรม (Reliability Optimization Problems for a Series System)	10
2.3 อัลกอริทึมฝูงมด (Ant Colony Algorithm)	12
2.4 อัลกอริทึมการค้นหาแบบนกตุ้ה่า (Cuckoo search algorithm)	17
2.5 การเคลื่อนที่แบบเล维 (Lévy flight)	21
2.6 งานวิจัยที่เกี่ยวข้อง	22
บทที่ 3 วิธีดำเนินการวิจัย	26
3.1 ฟังก์ชันวัดคุณภาพสังคม	26
3.2 การปรับปรุงอัลกอริทึมฝูงมด	27
3.3 การทดสอบประสิทธิภาพของอัลกอริทึม	34
3.4 การวิเคราะห์ข้อมูล	41



## สารบัญ (ต่อ)

หน้า	
บทที่ 4 ผลการวิจัย .....	42
4.1 ผลการทดสอบประสิทธิภาพอัลกอริทึมกับฟังก์ชันทดสอบการหาค่าที่เหมาะสม ..	42
4.2 ผลการวิเคราะห์ค่าพารามิเตอร์ที่เหมาะสมของอัลกอริทึม .....	52
4.3 ผลการทดสอบประสิทธิภาพของอัลกอริทึมกับระบบอนุกรม .....	57
บทที่ 5 สรุปผล อกบิปรายผล และข้อเสนอแนะ .....	97
5.1 สรุปผลการวิจัย .....	97
5.2 อกบิปรายผล .....	97
5.3 ข้อเสนอแนะในการพัฒนาต่อไป .....	98
เอกสารอ้างอิง .....	99
ภาคผนวก .....	105
ประวัติย่อผู้วิจัย .....	116



## สารบัญตาราง

	หน้า
ตาราง 1 ตัวอย่างข้อมูลอิวาริสติกของปัญหา .....	11
ตาราง 2 สรุปฟังก์ชันทดสอบมาตรฐาน .....	35
ตาราง 3 ค่าพารามิเตอร์ของอัลกอริทึมอัลกอริทึมที่นำเสนอที่สามารถปรับค่าได้ .....	36
ตาราง 4 สรุปกรณ์ศึกษาในการทดสอบประสิทธิภาพของอัลกอริทึมกับระบบอนุกรม .....	40
ตาราง 5 ผลการเปรียบเทียบประสิทธิภาพระหว่าง Hybrid ACO-CS กับ ACS .....	51
ตาราง 6 ผลการวิเคราะห์ค่าพารามิเตอร์ที่เหมาะสมสำหรับอัลกอริทึม ACO2SWAP .....	53
ตาราง 7 เวลาเฉลี่ยที่ใช้ในการประมวลผลอัลกอริทึม ACO2SWAP ของค่าพารามิเตอร์ $\alpha$ และ $\beta$ .....	53
ตาราง 8 ผลการวิเคราะห์ค่าพารามิเตอร์ที่เกี่ยวข้องกับอัลกอริทึมผุ่งมด .....	54
ตาราง 9 ผลการวิเคราะห์ค่าพารามิเตอร์ที่เกี่ยวข้องกับอัลกอริทึมนกดูเห่า .....	55
ตาราง 10 ผลการวิเคราะห์ค่าพารามิเตอร์ที่เกี่ยวข้องกับเลวีไฟลท์ .....	56
ตาราง 11 สรุปผลการทดสอบประสิทธิภาพอัลกอริทึม ACO2SWAP กรณีศึกษาที่ 1 .....	59
ตาราง 12 เปรียบเทียบผลการคัดเลือกเทคโนโลยีและราคาต้นทุนรวมของอัลกอริทึม ACO2SWAP กรณีศึกษาที่ 1 .....	59
ตาราง 13 สรุปผลการทดสอบประสิทธิภาพอัลกอริทึม ACO-Lévy flight กรณีศึกษาที่ 1 .....	61
ตาราง 14 เปรียบเทียบผลการคัดเลือกเทคโนโลยีและราคาต้นทุนรวมของอัลกอริทึม ACO-Lévy flight กรณีศึกษาที่ 1 .....	61
ตาราง 15 สรุปผลการทดสอบประสิทธิภาพอัลกอริทึม Hybrid ACO-CS กรณีศึกษาที่ 1 .....	63
ตาราง 16 เปรียบเทียบผลการคัดเลือกเทคโนโลยีและราคาต้นทุนรวมของอัลกอริทึม Hybrid ACO-CS กรณีศึกษาที่ 1 .....	63
ตาราง 17 ผลการเปรียบเทียบประสิทธิภาพของอัลกอริทึมทั้ง 3 วิธี สำหรับกรณีศึกษาที่ 1 .....	65
ตาราง 18 สรุปผลการทดสอบประสิทธิภาพอัลกอริทึม ACO2SWAP กรณีศึกษาที่ 2 .....	69
ตาราง 19 เปรียบเทียบผลการคัดเลือกเทคโนโลยีและราคาต้นทุนรวมของอัลกอริทึม ACO2SWAP กรณีศึกษาที่ 2 .....	67



## สารบัญตาราง (ต่อ)

	หน้า
ตาราง 20 สรุปผลการทดสอบประสิทธิภาพอัลกอริทึม ACO-Lévy flight กรณีศึกษาที่ 2 .....	69
ตาราง 21 เปรียบเทียบผลการคัดเลือกเทคโนโลยีและราคาต้นทุนรวมของอัลกอริทึม ACO-Lévy flight กรณีศึกษาที่ 2 .....	69
ตาราง 22 สรุปผลการทดสอบประสิทธิภาพอัลกอริทึม Hybrid ACO-CS กรณีศึกษาที่ 2 .....	71
ตาราง 23 เปรียบเทียบผลการคัดเลือกเทคโนโลยีและราคาต้นทุนรวม ของอัลกอริทึม Hybrid ACO-CS กรณีศึกษาที่ 2 .....	71
ตาราง 24 ผลการเปรียบเทียบประสิทธิภาพของอัลกอริทึมทั้ง 3 วิธี สำหรับกรณีศึกษาที่ 2 .....	73
ตาราง 25 สรุปผลการทดสอบประสิทธิภาพอัลกอริทึม ACO2SWAP กรณีศึกษาที่ 3 .....	74
ตาราง 26 เปรียบเทียบผลการคัดเลือกเทคโนโลยีและราคาต้นทุนรวมของอัลกอริทึม ACO2SWAP กรณีศึกษาที่ 3 .....	75
ตาราง 27 สรุปผลการทดสอบประสิทธิภาพอัลกอริทึม ACO-Lévy flight กรณีศึกษาที่ 3 .....	76
ตาราง 28 เปรียบเทียบผลการคัดเลือกเทคโนโลยีและราคาต้นทุนรวมของอัลกอริทึม ACO-Lévy flight กรณีศึกษาที่ 3 .....	77
ตาราง 29 สรุปผลการทดสอบประสิทธิภาพอัลกอริทึม Hybrid ACO-CS กรณีศึกษาที่ 3 .....	78
ตาราง 30 เปรียบเทียบผลการคัดเลือกเทคโนโลยีและราคาต้นทุนรวมของอัลกอริทึม Hybrid ACO-CS กรณีศึกษาที่ 3 .....	79
ตาราง 31 ผลการเปรียบเทียบประสิทธิภาพของอัลกอริทึมทั้ง 3 วิธี สำหรับกรณีศึกษาที่ 3 .....	80
ตาราง 32 สรุปผลการทดสอบประสิทธิภาพอัลกอริทึม ACO2SWAP กรณีศึกษาที่ 4 .....	82
ตาราง 33 เปรียบเทียบผลการคัดเลือกเทคโนโลยีและราคาต้นทุนรวมของอัลกอริทึม ACO2SWAP กรณีศึกษาที่ 4 .....	82
ตาราง 34 สรุปผลการทดสอบประสิทธิภาพอัลกอริทึม ACO-Lévy flight กรณีศึกษาที่ 4 .....	84
ตาราง 35 เปรียบเทียบผลการคัดเลือกเทคโนโลยีและราคาต้นทุนรวมของอัลกอริทึม ACO-Lévy flight กรณีศึกษาที่ 4 .....	84



## สารบัญตาราง (ต่อ)

หน้า

ตาราง 36 สรุปผลการทดสอบประสิทธิภาพอัลกอริทึม Hybrid ACO-CS กรณีศึกษาที่ 4 .....	86
ตาราง 37 เปรียบเทียบผลการคัดเลือกเทคโนโลยีและราคาน้ำหน่วงรวมของอัลกอริทึม Hybrid ACO-CS กรณีศึกษาที่ 4 .....	86
ตาราง 38 ผลการเปรียบเทียบประสิทธิภาพของอัลกอริทึมทั้ง 3 วิธี สำหรับ กรณีศึกษาที่ 4 .....	88
ตาราง 39 สรุปผลการทดสอบประสิทธิภาพอัลกอริทึม ACO2SWAP กรณีศึกษาที่ 5 .....	89
ตาราง 40 เปรียบเทียบผลการคัดเลือกเทคโนโลยีและราคาน้ำหน่วงรวมของอัลกอริทึม ACO2SWAP กรณีศึกษาที่ 5 .....	90
ตาราง 41 สรุปผลการทดสอบประสิทธิภาพอัลกอริทึม ACO-Lévy flight กรณีศึกษาที่ 5 .....	91
ตาราง 42 เปรียบเทียบผลการคัดเลือกเทคโนโลยีและราคาน้ำหน่วงรวมของอัลกอริทึม ACO-Lévy flight กรณีศึกษาที่ 5 .....	92
ตาราง 43 สรุปผลการทดสอบประสิทธิภาพอัลกอริทึม Hybrid ACO-CS กรณีศึกษาที่ 5 .....	93
ตาราง 44 เปรียบเทียบผลการคัดเลือกเทคโนโลยีและราคาน้ำหน่วงรวมของอัลกอริทึม Hybrid ACO-CS กรณีศึกษาที่ 5 .....	94
ตาราง 45 ผลการเปรียบเทียบประสิทธิภาพของอัลกอริทึมทั้ง 3 วิธี สำหรับกรณีศึกษาที่ 5 .....	95
ตาราง 46 ระบบอนุกรมที่มี 15 ระบบย่อยและมีตัวแปรที่ใช้ในการตัดสินใจ 60 ตัวแปร .....	107
ตาราง 47 ระบบอนุกรมที่มี 15 ระบบย่อยและมีตัวแปรที่ใช้ในการตัดสินใจ 80 ตัวแปร .....	109
ตาราง 48 ระบบอนุกรมที่มี 15 ระบบย่อยและมีตัวแปรที่ใช้ในการตัดสินใจ 100 ตัวแปร .....	110
ตาราง 49 ระบบอนุกรมที่มี 25 ระบบย่อยและมีตัวแปรที่ใช้ในการตัดสินใจ 166 ตัวแปร .....	111
ตาราง 50 ระบบอนุกรมที่มี 40 ระบบย่อยและมีตัวแปรที่ใช้ในการตัดสินใจ 266 ตัวแปร .....	113



## สารบัญภาพประกอบ

	หน้า
ภาพประกอบ 1 ไดอะแกรมระบบอนุกรมที่มีหลายทางเลือก	10
ภาพประกอบ 2 การหาระยะทางที่สั้นที่สุดของผู้งมงดจริง	13
ภาพประกอบ 3 รหัสเทียมอัลกอริทึมผู้งมงดตั้งเดิม	13
ภาพประกอบ 4 ผังงานอัลกอริทึมผู้งมงดตั้งเดิม	15
ภาพประกอบ 5 พฤติกรรมการวางแผนที่ข่องกดุเท่า	18
ภาพประกอบ 6 รหัสเทียมอัลกอริทึมการค้นหาแบบนกกดุเท่า	18
ภาพประกอบ 7 ผังงานอัลกอริทึมการค้นหาแบบนกกดุเท่า	19
ภาพประกอบ 8 ตัวอย่างการเคลื่อนที่แบบเลวี (Lévy flight)	22
ภาพประกอบ 9 รหัสเทียมการปรับปรุงอัลกอริทึมผู้งมงต	23
ภาพประกอบ 10 รหัสเทียมการปรับปรุงอัลกอริทึมผู้งมงตฟื้ซซีเช็ต	24
ภาพประกอบ 11 แบบจำลองเส้นทางระหว่างรังนกกับแหล่งอาหาร	28
ภาพประกอบ 12 ผังงานอัลกอริทึมผู้งมงดที่ปรับปรุงใหม่โดยใช้วิธีการค้นหาพื้นที่ไกล์เคียง	30
ภาพประกอบ 13 ผังงานอัลกอริทึมผู้งมงดที่ปรับปรุงใหม่โดยใช้หลักการเลวีไฟลท์	33
ภาพประกอบ 14 ผังงานการปรับปรุงอัลกอริทึมผู้งมงดร่วมกับอัลกอริทึมการค้นหาแบบนกกดุเท่า	34
ภาพประกอบ 15 แผนภาพสรุปแบบแผนการทดลองและปรับแต่งค่าพารามิเตอร์สำหรับอัลกอริทึม ACO2SWAP	37
ภาพประกอบ 16 แผนภาพสรุปแบบแผนการทดลองและปรับแต่งค่าพารามิเตอร์สำหรับอัลกอริทึม ACO-Lévy flight และ Hybrid ACO-CS	39
ภาพประกอบ 17 ผลการทดสอบอัลกอริทึมกับฟังก์ชัน Sphere	42
ภาพประกอบ 18 ผลการทดสอบอัลกอริทึมกับฟังก์ชัน Schwefel (Unimodal)	43
ภาพประกอบ 19 ผลการทดสอบอัลกอริทึมกับฟังก์ชัน Step	44
ภาพประกอบ 20 ผลการทดสอบอัลกอริทึมกับฟังก์ชัน Rosenbrock	45
ภาพประกอบ 21 ผลการทดสอบอัลกอริทึมกับฟังก์ชัน Ackley	46
ภาพประกอบ 22 ผลการทดสอบอัลกอริทึมกับฟังก์ชัน Rastrigin	47
ภาพประกอบ 23 ผลการทดสอบอัลกอริทึมกับฟังก์ชัน Griewank	48
ภาพประกอบ 24 ผลการทดสอบอัลกอริทึมกับฟังก์ชัน Stochastic ของ Kowalik	49
ภาพประกอบ 25 ผลการทดสอบอัลกอริทึมกับฟังก์ชัน Quartic	50



## สารบัญภาพ (ต่อ)

หน้า

ภาพประกอบ 26	ผลการทดสอบอัลกอริทึมกับฟังก์ชัน Shekel's Foxholes .....	51
ภาพประกอบ 27	ผลการทดสอบประสิทธิภาพอัลกอริทึม ACO2SWAP กรณีศึกษาที่ 1 .....	58
ภาพประกอบ 28	ผลการทดสอบประสิทธิภาพอัลกอริทึม ACO-Lévy flight กรณีศึกษาที่ 1 .....	60
ภาพประกอบ 29	ผลการทดสอบประสิทธิภาพอัลกอริทึม Hybrid ACO-CS กรณีศึกษาที่ 1 .....	62
ภาพประกอบ 30	ผลการเปรียบเทียบระหว่างอัลกอริทึมทั้ง 3 วิธี สำหรับกรณีศึกษาที่ 1 .....	64
ภาพประกอบ 31	ผลการทดสอบประสิทธิภาพอัลกอริทึม ACO2SWAP กรณีศึกษาที่ 2 .....	66
ภาพประกอบ 32	ผลการทดสอบประสิทธิภาพอัลกอริทึม ACO-Lévy flight กรณีศึกษาที่ 2 .....	68
ภาพประกอบ 33	ผลการทดสอบประสิทธิภาพอัลกอริทึม Hybrid ACO-CS กรณีศึกษาที่ 2 .....	70
ภาพประกอบ 34	ผลการเปรียบเทียบระหว่างอัลกอริทึมทั้ง 3 วิธี สำหรับกรณีศึกษาที่ 2 .....	72
ภาพประกอบ 35	ผลการทดสอบประสิทธิภาพอัลกอริทึม ACO2SWAP กรณีศึกษาที่ 3 .....	74
ภาพประกอบ 36	ผลการทดสอบประสิทธิภาพอัลกอริทึม ACO-Lévy flight กรณีศึกษาที่ 3 .....	76
ภาพประกอบ 37	ผลการทดสอบประสิทธิภาพอัลกอริทึม Hybrid ACO-CS กรณีศึกษาที่ 3 .....	78
ภาพประกอบ 38	ผลการเปรียบเทียบระหว่างอัลกอริทึมทั้ง 3 วิธี สำหรับกรณีศึกษาที่ 3 .....	80
ภาพประกอบ 39	ผลการทดสอบประสิทธิภาพอัลกอริทึม ACO2SWAP กรณีศึกษาที่ 4 .....	81
ภาพประกอบ 40	ผลการทดสอบประสิทธิภาพอัลกอริทึม ACO-Lévy flight กรณีศึกษาที่ 4 .....	83
ภาพประกอบ 41	ผลการทดสอบประสิทธิภาพอัลกอริทึม Hybrid ACO-CS กรณีศึกษาที่ 4 .....	85
ภาพประกอบ 42	ผลการเปรียบเทียบระหว่างอัลกอริทึมทั้ง 3 วิธี สำหรับกรณีศึกษาที่ 4 .....	87
ภาพประกอบ 43	ผลการทดลองประสิทธิภาพอัลกอริทึม ACO2SWAP กรณีศึกษาที่ 5 .....	89



## สารบัญภาพ (ต่อ)

หน้า

ภาพประกอบ 44 ผลการทดสอบประสิทธิภาพอัลกอริทึม ACO-Lévy flight	
กรณีศึกษาที่ 5 .....	91
ภาพประกอบ 45 ผลการทดสอบประสิทธิภาพอัลกอริทึม Hybrid ACO-CS	
กรณีศึกษาที่ 5 .....	93
ภาพประกอบ 46 ผลการเปรียบเทียบระหว่างอัลกอริทึมทั้ง 3 วิธี	
สำหรับกรณีศึกษาที่ 5 .....	95



## บทที่ 1

### บทนำ

#### 1.1 หลักการและเหตุผล

การหาค่าที่เหมาะสมที่สุด (Optimization) ในงานด้านวิศวกรรมมีความจำเป็นอย่างยิ่ง สำหรับงานออกแบบอุปกรณ์ทางไฟฟ้าและอิเล็กทรอนิกส์ วงจรควบคุมทางไฟฟ้า การบำรุงรักษา ในระบบวิศวกรรม ปัญหาทางด้านวิศวกรรมไฟฟ้า ปัญหาทางด้านวิศวกรรมคอมพิวเตอร์ และปัญหาทางด้านวิศวกรรมอื่น ๆ อีกมากมาย ยกตัวอย่าง เช่น การออกแบบการควบคุมเครื่องกำเนิดไฟฟ้า ให้จ่ายกระแสไฟฟ้าอย่างประยุกต์ การออกแบบอุปกรณ์ทางไฟฟ้าที่เหมาะสมที่สุด การคัดเลือกชิ้นส่วน อุปกรณ์ที่มีความน่าเชื่อถือสูงสุดสำหรับออกแบบและผลิตสิ่งอำนวยความสะดวกต่าง ๆ การบีบอัดขนาดความจุของไฟล์รูปภาพให้เล็กลงแต่ยังคงความคมชัดมากที่สุด เป็นต้น ปัญหาการหาค่าที่เหมาะสมที่สุด (Optimization problem) เหล่านี้เป็นปัญหาที่มีความซับซ้อนอย่างมาก วิศวกรจึงต้องเลือกเทคนิคและวิธีการที่เหมาะสมสำหรับค้นหาคำตอบเพื่อใช้ในการตัดสินใจหรือแก้ปัญหาให้บรรลุเป้าหมายสูงสุดตามที่ต้องการ

เทคนิคการหาค่าที่เหมาะสมที่สุด (Optimization techniques) จึงเป็นวิธีการที่ถูกนำมาใช้แก้ปัญหาการหาค่าที่เหมาะสมที่สุดทางด้านวิศวกรรม ซึ่งมี 3 ขั้นตอนหลัก คือ ขั้นที่ 1 ทำความเข้าใจ กับปัญหาโดยภาพรวมแล้วเปลี่ยนเป็นแบบจำลองทางคณิตศาสตร์ ขั้นที่ 2 กำหนดพั行政区ชั้นวัตถุประสงค์ หรือเป็นการกำหนดเป้าหมายที่ต้องการ เป็นค่าสูงสุด (Maximum) หรือ ค่าต่ำสุด (Minimum) และเงื่อนไขหรือข้อจำกัด (Constraints) และขั้นสุดท้ายหาคำตอบที่เป็นไปได้ตามขั้นตอนวิธีหรืออัลกอริทึม (Algorithm) นั้น ๆ [1]

ในการออกแบบระบบทางด้านวิศวกรรมและอุตสาหกรรม เช่น ระบบการผลิต ระบบไฮาร์ดแวร์ ระบบสื่อสารโทรคมนาคม ระบบไฟฟ้ากำลัง หรือสิ่งอำนวยความสะดวกต่าง ๆ จำเป็นต้องให้ความสำคัญในการออกแบบและพิจารณาปัจจัยต่าง ๆ หลายด้าน ได้แก่ ความเป็นได้ การจัดลำดับ ความสำคัญของระบบ ประสิทธิภาพ งบประมาณ และคุณลักษณะอื่น ๆ รวมถึงความน่าเชื่อถือของระบบซึ่งเป็นด้วนชั้วหนึ่งที่แสดงถึงคุณภาพในการออกแบบและคุณภาพของผลิตภัณฑ์ ดังกรณีศึกษา จากการวิจัยที่ผ่านมา เช่น การหาค่าความน่าเชื่อถือที่เหมาะสมที่สุดตามข้อจำกัดของประสิทธิภาพและงบประมาณ [2] การหาค่าความน่าเชื่อถือที่เหมาะสมที่สุดตามข้อจำกัดของที่มีส่วนประกอบหลายทางเลือกและงบประมาณ [3] การหาค่าความน่าเชื่อถือที่เหมาะสมที่ลุดของปัญหาการจัดสรรความชี้ช่องของระบบอนุกรรณ-ขนาน [4-12] และปัญหาการออกแบบระบบ k-out-of-n [13-15] เป็นต้น ซึ่งการแก้ปัญหาการหาค่าความน่าเชื่อถือของงานวิจัยที่กล่าวถึงข้างต้นได้นำเสนออัลกอริทึมที่แตกต่าง



กันไปเพื่อนำมาใช้แก้ปัญหา เช่น อัลกอริทึมเชิงพันธุกรรม (Genetic algorithm: GA อัลกอริทึมผุ่งมด (Ant colony optimization: ACO), อัลกอริทึมผุ่งนก (Particle Swarm Optimization: PSO), อัลกอริทึมผุ่งผึ้ง (Bee Colony Optimization: BCO) รวมถึงการปรับปรุงอัลกอริทึมดังเดิมให้สามารถแก้ปัญหาให้ดียิ่งขึ้นกว่าเดิม ซึ่งโดยภาพรวมแล้วการหาค่าความน่าเชื่อถือที่เหมาะสมที่สุดนั้นยังคงต้องมีการกำหนดข้อจำกัดบางอย่างเพื่อให้ผลลัพธ์เป็นไปตามเป้าหมายที่กำหนด

การแก้ปัญหาการหาค่าความน่าเชื่อถือที่เหมาะสมที่สุดสำหรับระบบอนุกรมตามข้อจำกัดที่มีหลายทางเลือกและงบประมาณเป็นปัญหาที่ยังไม่ได้รับความสนใจมากนัก ปัญหานี้ถูกจัดเป็นปัญหาในกลุ่มอื่นพื้นแบบยากและกำหนดปัญหาสำหรับการเขียนโปรแกรมเป็นแบบจำนวนเต็มใบหนารีด้วยฟังก์ชันวัดคุณภาพของค่าที่เหมาะสม [16-17] ซึ่งในช่วงที่ผ่านมาได้มีการนำเสนองานทางเทคนิคและวิธีการแก้ปัญหาด้วยวิธีการที่แตกต่างกันไป ได้แก่ อัลกอริทึมนบรันช์และบาร์ด [18], การประยุกต์ใช้นิวรอลเน็ตเวิร์ก [19], อัลกอริทึมผุ่งมด [16], อัลกอริทึมผุ่งมดร่วมกับฟิชเชลล์อจิก [17] รวมถึงได้มีการนำตัวแบบปัญหานี้ไปประยุกต์ใช้กับปัญหาการหาค่าที่เหมาะสมที่ลดลงของผลผลิต (Yield Optimization) โดยใช้อัลกอริทึมผุ่งผึ้ง เพื่อแก้ปัญหาการผลิตยาhardtistic [20] ซึ่งวิธีการที่กล่าวถึงในข้างต้นสำหรับปัญหาที่มีตัวแปรในการตัดสินใจขนาดใหญ่ยังคงหาค่าที่เหมาะสมได้ไม่ดีนัก

อัลกอริทึมผุ่งมด เป็นอัลกอริทึมแรกที่นำเสนอด้วยวิธีการหาค่าที่เหมาะสมที่สุดด้วยอัลกอริทึมผุ่งมด (ACO) ที่มีทั้งหมด นำเสนอโดย Dorigo and Gambardella [21] อัลกอริทึมนี้ได้แรงบันดาลใจจากพฤติกรรมการหาอาหารของมดจริง ซึ่งมดจะสามารถหาเส้นทางที่สั้นที่สุดจากรังมไปยังแหล่งอาหารได้ทั้ง ๆ ที่มองไม่เห็นเส้นทาง เมื่อมดออกหากาหาร มดผู้แรกระจจะออกสำรวจหาแหล่งอาหารในบริเวณใกล้รังของมันแบบสุ่ม ทันทีที่มดพบแหล่งอาหารมันจะประเมินแหล่งอาหารนั้นและนำอาหารกลับรังในขณะที่มดเดินทางไปกลับระหว่างแหล่งอาหารกับรัง มดจะปล่อยสารเคมีชีวภาพที่เรียกว่า พีโรโมน (Pheromone) ไว้บนพื้น และมดจะใช้ข้อมูลความหนาแน่นของพีโรโมนนี้ในการสื่อสารเกี่ยวกับแหล่งอาหารของมัน จำนวนของพีโรโมนที่ถูกปล่อยออกมานี้ จะสัมพันธ์กับปริมาณและคุณภาพของอาหาร และเป็นตัวนำทางให้มดตัวอื่นใช้เดินทางไปยังแหล่งอาหาร ซึ่งมดตัวอื่น ๆ นั้นจะเดินทางไปตามเส้นทางที่มีร่องรอยของพีโรโมน เมื่อมดที่เดินผ่านมีจำนวนมากขึ้น พีโรโมนก็จะถูกปล่อยบนเส้นทางมากขึ้นด้วยเส้นทางที่มีความหนาแน่นของพีโรโมนจำนวนมากก็จะมีความน่าจะเป็นสูงที่มดเลือกใช้เส้นทางนั้น การวนซ้ำที่เพิ่มมากขึ้นนี้จะเป็นตัวสะท้อนช่วยให้มดหาเส้นทางที่สั้นที่สุดระหว่างรังและแหล่งอาหารของพากมัน ซึ่งที่ผ่านมาเมื่อก่อนวิจัยที่นำเสนอการปรับปรุงอัลกอริทึมผุ่งมดเพื่อเป็นการเพิ่มประสิทธิภาพการทำงาน ในบางกรณีมุ่งเน้นปรับปรุงกลไกการคัดเลือกคำตอบ บางกรณีปรับปรุงกระบวนการของพีโรโมน และในบางกรณีปรับปรุงโครงสร้างการทำงาน [22]

อัลกอริทึมการค้นหาแบบนกคุณเหว่า [23] เป็นวิธีการค้นหาค่าที่เหมาะสมที่สุด โดยมีแรงบันดาลใจจากพฤติกรรมการวางแผนที่ของนกคุณเหว่า ตามอุดมคติ 3 ขั้นตอนหลัก คือ ขั้นแรก นกคุณเหว่า



แต่ละตัวทำการวางแผนไข่ของมันลงในรังนกชนิดอื่นด้วยวิธีการสุ่มเลือกว่าง ขันที่สอง รังที่มีคุณภาพสูง กล่าวคือ เป็นไข่นกดุเหลวที่ไม่ถูกทำลายทิ้ง จะถูกเลือกให้เป็นรุ่นต่อไป และขันตอนสุดท้าย นกเจ้าของรัง อาจจะทำลายไข่นกดุเหลวทึบบางส่วนโดยอาศัยความน่าจะเป็น และในขันตอนการบินหางใหม่นั้นจะใช้ หลักการของเล维ไฟล์ท (Levy flight) ที่มีคุณลักษณะเด่นคือ สามารถเคลื่อนที่ไปได้ไกลกว่าปกติ เพื่อมา วางแผนไข่ใหม่แทนที่รังที่ถูกทำลายไป ซึ่งผู้คิดค้นอัลกอริทึมได้นำเสนอผลการทดสอบประสิทธิภาพที่แสดง ให้เห็นว่าอัลกอริทึมนี้มีผลลัพธ์การค้นหาที่ดีกว่าอัลกอริทึมผุงนกและอัลกอริทึมเชิงพันธุกรรม

ดังนั้น การวิจัยครั้งนี้จึงมีจุดมุ่งหมายเพื่อปรับปรุงอัลกอริทึมผุงนกบนพื้นฐานของอัลกอริทึม ผุงนกดังเดิม สำหรับใช้แก้ปัญหาการหาค่าความน่าเชื่อถือที่เหมาะสมที่สุดสำหรับระบบอนุกรม ตามข้อจำกัดที่มีรายทางเลือกและงบประมาณ ซึ่งการปรับปรุงอัลกอริทึมผุงนกนี้ มุ่งเน้นปรับปรุง กลไกการคัดเลือกชุดคำตอบที่มีค่าที่เหมาะสมที่สุดตามเงื่อนไข และปรับปรุงเพิ่มเติมในส่วนของ อัลกอริทึมการค้นหาคำตอบจากบริเวณพื้นที่ใกล้เคียง (Local search) และกฎการปรับปรุงพีโรโนน แบบกว้าง (Global pheromone update rule) ร่วมเข้าไปกับอัลกอริทึมการค้นหาแบบนกดุเหลว เข้าไปในแต่ละรอบของการค้นหาคำตอบ

## 1.2 ความมุ่งหมายของการวิจัย

- เพื่อปรับปรุงอัลกอริทึมผุงนกโดยใช้อัลกอริทึมการค้นหาแบบนกดุเหลวสำหรับระบบ อนุกรม
- เพื่อทดสอบประสิทธิภาพของอัลกอริทึมผุงนกที่ปรับปรุงใหม่โดยใช้ฟังก์ชันทดสอบ มาตรฐาน
- เพื่อทดสอบประสิทธิภาพของอัลกอริทึมผุงนกที่ปรับปรุงใหม่ในการแก้ปัญหาการหาค่า ความน่าเชื่อถือที่เหมาะสมที่สุดของระบบอนุกรมที่มีข้อจำกัดรายทางเลือกและงบประมาณ

## 1.3 ขอบเขตของการวิจัย

- การทดสอบประสิทธิภาพของอัลกอริทึมโดยใช้ฟังก์ชันทดสอบการหาค่าที่เหมาะสม (Optimization Test Functions) ได้แก่
  - ฟังก์ชัน De Jong
  - ฟังก์ชัน Schwefel (Unimodal)
  - ฟังก์ชัน Step
  - ฟังก์ชัน Rosenbrock
  - ฟังก์ชัน Ackley



- 1.6 ฟังก์ชัน Rastrigin
- 1.7 ฟังก์ชัน Griewank
- 1.8 ฟังก์ชัน Stochastic ของ Kowalik
- 1.9 ฟังก์ชัน Quartic
- 1.10 ฟังก์ชัน Michalewicz

2. การทดสอบประสิทธิภาพของอัลกอริทึมในการแก้ปัญหาการหาค่าความน่าเชื่อถือที่เหมาะสมที่สุดของระบบอนุกรมที่มีข้อจำกัดหลายทางเลือกและงบประมาณ โดยใช้ข้อมูลตัวอย่างจากงานวิจัยที่ผ่านมา [16-17] ประกอบด้วย

2.1 ระบบอนุกรมที่มี 15 ระบบย่อยและมีตัวแปรชีวิสติกในการตัดสินใจ 60, 80 และ 100 ตัวแปร กำหนดเงื่อนไข ราคารวนต้นทุน เท่ากับ \$1000, \$900 และ \$1000 ตามลำดับ

2.2 ระบบอนุกรมที่มี 25 ระบบย่อยและมีตัวแปรชีวิสติกในการตัดสินใจ 166 ตัวแปร กำหนดเงื่อนไข ราคารวนต้นทุน เท่ากับ \$1400

2.3 ระบบอนุกรมที่มี 40 ระบบย่อยและมีตัวแปรชีวิสติกในการตัดสินใจ 266 ตัวแปร กำหนดเงื่อนไข ราคารวนต้นทุน เท่ากับ \$2700

#### 1.4 การดำเนินการวิจัย

1. ศึกษาทฤษฎีของระบบอนุกรมที่มีข้อจำกัดหลายทางเลือกและงบประมาณ อัลกอริทึม ผู้นำ และอัลกอริทึมการค้นหาแบบนกคูเห่าว่า
2. สืบค้นงานวรรณกรรมที่เกี่ยวข้อง
3. จัดเตรียมเครื่องคอมพิวเตอร์และโปรแกรมคอมพิวเตอร์สำหรับการวิจัย
4. วิเคราะห์และออกแบบอัลกอริทึมผู้นำ ผู้นำ ด้วยการใหม่โดยใช้อัลกอริทึมการค้นหาแบบนกคูเห่าว่า
5. พัฒนาอัลกอริทึมผู้นำ ด้วยการใหม่ตามที่ออกแบบไว้
6. วิเคราะห์และประเมินผลประสิทธิภาพของอัลกอริทึมผู้นำ ด้วยการใหม่ที่พัฒนาขึ้น
7. สรุปและรายงานผลการวิจัย
8. เขียนวิทยานิพนธ์
9. ส่งวิทยานิพนธ์ฉบับสมบูรณ์



## 1.5 ประโยชน์ที่คาดว่าจะได้รับ

1. ได้อัลกอริทึมฝูงมติวิธีการใหม่ เพื่อนำมาใช้หาค่าความน่าเชื่อถือที่เหมาะสมที่สุดสำหรับระบบอนุกรมตามข้อจำกัดที่มีหลายทางเลือกและงบประมาณ
2. ได้อัลกอริทึมฝูงมติประมวลผลร่วมกับอัลกอริทึมการค้นหาแบบนกดูเหว่าเพื่อใช้แก้ปัญหาการหาค่าที่เหมาะสมที่สุด
3. ได้แนวทางวิธีการสำหรับการนำอัลกอริทึมฝูงมติที่ประมวลผลร่วมกับอัลกอริทึมการค้นหาแบบนกดูเหว่า วิธีการใหม่นี้เปรียบดีใช้กับปัญหาการหาค่าเหมาะสมที่สุดอีก ๑
4. ได้แนวทางวิธีการสำหรับการปรับปรุงอัลกอริทึมเพื่อนำไปใช้ในการออกแบบระบบสนับสนุนเพื่อการตัดสินใจในด้านอีก ๑
5. ได้สารสนเทศและแนวทางการประยุกต์ใช้อัลกอริทึมที่ปรับปรุงใหม่นี้ไปใช้ในงานวิศวกรรมแขนงต่าง ๆ



## ปริทัศน์เอกสารข้อมูล

งานวิจัยนี้นำเสนอการปรับปรุงอัลกอริทึมผุ่งมดโดยใช้อัลกอริทึมการค้นหาแบบบกตุเหว่า สำหรับระบบอนุกร� สำหรับแก้ปัญหาการหาค่าความน่าเชื่อถือที่เหมาะสมที่สุดของระบบอนุกรม ตามข้อจำกัดที่มีหลายทางเลือกและงบประมาณ ผู้วิจัยได้ศึกษาปริทัศน์เอกสารข้อมูล ดังนำเสนอ ตามลำดับหัวข้อต่อไปนี้

### 2.1 เมตาฮิวริสติก (Meta-Heuristic)

ในปัจจุบันวิธีการหาคำตอบที่เหมาะสมที่สุด (Optimization) ถูกนำมาใช้ในการแก้ปัญหา ต่าง ๆ อย่างแพร่หลาย ทั้งงานวิจัยทางด้านอุตสาหกรรม วิศวกรรม รวมถึงงานวิจัยทางด้าน ปัญญาประดิษฐ์ ซึ่งการหาคำตอบที่เหมาะสมที่สุดของปัญหานั้น ๆ นั้นมักจะมีข้อจำกัดต่าง ๆ มาประกอบการพิจารณาแก้ปัญหานั้นด้วย โดยเฉพาะปัญหาที่มีข้อมูลตัดสินใจขนาดใหญ่ และ สับซ้อน ซึ่งมีจำนวนของตัวแปรมากขึ้น อาจจะทำให้ระยะเวลาในการคำนวณตามลำดับการคำนวณ นั้นใช้เวลานาน หรืออาจจะไม่สามารถแก้ปัญหาได้ ซึ่งการแก้ปัญหาใด ๆ ที่มีความซับซ้อนหรือ ความยากที่เป็นแบบโพลีโนเมียล (Polynomial) กล่าวคือ เมื่อจำนวนหรือขนาดของปัญหาตัวอย่าง มากขึ้น ความซับซ้อนทางเวลาในการคำนวณก็จะมากขึ้น เช่น เมื่อขนาดของปัญหาตัวอย่างเป็น  $k$  และ วิธีการคำนวณใด ๆ ที่มีระยะเวลาในการคำนวณเป็น  $k^k$  จะเรียกว่า ลำดับการคำนวณนั้นเป็นแบบ โพลีโนเมียล [24] โดยที่ปัญหาใดที่ยังไม่มีวิธีการแก้ปัญหาที่มีความซับซ้อนทางเวลา จะเรียกปัญหานั้น ว่า NP-Problem (Non-Polynomial Problem) หรือปัญหาเอ็นพี สามารถจำแนกออกเป็น 3 ประเภท ในที่นี้ คือ NP-Complete, NP-Hard และ Strongly NP-Hard โดยความแตกต่างของปัญหาเอ็นพีทั้ง 3 ประเภทคือ เมื่อมีปัญหาการตัดสินใจ (Decision Problem) ใด ๆ ที่มีวิธีการตรวจสอบคำตอบนั้นว่า เป็นคำตอบที่ดีที่สุด โดยวิธีการตรวจสอบนี้มีความซับซ้อนทางเวลาเป็นโพลีโนเมียลและวิธีการนั้น สามารถใช้ตรวจสอบปัญหาอื่น ๆ ได้ในระดับเวลาที่เป็นโพลีโนเมียล จะถูกจัดอยู่ในประเภทของปัญหา NP-Complete สำหรับปัญหา NP-Hard จะเป็นปัญหาที่ยังไม่มีวิธีการตรวจสอบคำตอบที่เป็นโพลีโนเมียลได้ แต่สามารถตรวจสอบเบื้องต้นของคำตอบเพื่อใช้ในการค้นหาคำตอบได้ และปัญหาใดที่แม้จะมี ขอบเขตของคำตอบให้ แต่ยังไม่มีวิธีการตรวจสอบว่าคำตอบที่นั้นถูกต้องหรือไม่ ปัญหานั้นจะถูกจัด เป็นประเภท Strongly NP-Hard



อัลกอริทึมค้นหาคำตอบแบบเมต้าไฮรีสติก (Meta-Heuristic Algorithms) หรือวิธีการค้นหาคำตอบแบบมีเหตุมีผล จึงได้ถูกนำเสนอขึ้นเพื่อใช้ในการหาคำตอบของปัญหาต่าง ๆ ที่มีความ слับซับซ้อน และมีข้อจำกัด ภายในระยะเวลาในการหาคำตอบของปัญหาต่าง ๆ ที่สมเหตุสมผล โดยนำข้อมูล มาประกอบการพิจารณาตัดสินใจเพื่อช่วยเพิ่มประสิทธิภาพการแก้ปัญหาหรือหาคำตอบที่ดีที่สุด อัลกอริทึมค้นหาคำตอบแบบเมต้าไฮรีสติกที่นิยมใช้พร่ว虹 หลายปัจจุบันประกอบด้วยวิธีซิมเพล็กซ์ (Simplex) วิธีการแก้ไขปัญหาซึ่งประยุกต์มาจากการแก้ไขปัญหาเฉพาะอื่น ๆ เช่น วิธีเชิงพันธุกรรม (Genetic Algorithm; GA) วิธีการค้นหาต้องห้าม (Tabu Search Algorithm; TS) วิธีซิมูเลตเต็ดแอนนีลลิ่ง (Simulated Annealing Algorithm; SA) วิธีผึ้งมด (Ant Colony Optimization Algorithm; ACO) วิธีหารโนนีเสิร์ช (Harmony Search Algorithm; HAS) และวิธีฟrog Leaping Algorithm; SFLA เป็นต้น ดังนั้น อัลกอริทึมค้นหาคำตอบแบบเมต้าไฮรีสติก หมายถึง ลำดับขั้นตอนวิธีการแก้ปัญหา (Algorithm) ชุดหนึ่ง ๆ ที่สามารถนำหลักการเดียวกันไปใช้แก้ปัญหาได้ หลากหลายปัญหา ซึ่งในปัจจุบันได้รับความนิยมเป็นอย่างสูงเนื่องจากคำตอบที่ได้จากการนี้ให้ผลที่ดี แก้ปัญหาได้รวดเร็ว และใช้งานได้ง่าย โดยหลักการเบื้องต้นของเมต้าไฮรีสติกมีดังต่อไปนี้ [24]

1. มีระเบียบวิธีในการค้นหาคำตอบที่ดีภายในกรอบพื้นที่ของคำตอบที่อยู่ในเกณฑ์ เป็นไปได้ (Feasible Region)
2. มีวัตถุประสงค์เพื่อหาผลลัพธ์ที่ดีที่สุดหรือผลลัพธ์ใกล้เคียงคำตอบที่เหมาะสมที่สุด ภายใต้เงื่อนไขต่างๆ
3. อัลกอริทึมอาจจะมีทั้งแบบง่ายไม่ซับซ้อน เช่น การปรับปรุงคำตอบเฉพาะที่ (Local Search) หรือแบบที่ยุ่งยากซับซ้อนมากกว่า เช่น อัลกอริทึมผึ้งมด (Ant Colony Algorithm) วิธีการ เชิงพันธุกรรม (Genetic Algorithm) วิธีการค้นหาต้องห้าม (Tabu Search) วิธีซิมูเลตเต็ดแอนนีลลิ่ง (Simulated Annealing) เป็นต้น
4. เป็นขั้นตอนการประมาณคำตอบ
5. อาจจะเกิดจากการรวมหลากหลายเทคนิค เพื่อค้นหาคำตอบที่ดีที่สุดภายในพื้นที่ คำตอบที่เป็นไปได้
6. มีระเบียบขั้นตอนมาตรฐานที่แน่นอน แม้ว่าเมื่อนำไปประยุกต์ใช้ในปัญหาที่แตกต่างกัน จะมีรายละเอียดของขั้นตอนย่อยที่แตกต่างกัน แต่ไฮรีสติกสำหรับปัญหาแต่ละปัญหาต้องดำเนินการ ตามขั้นตอนหลักของไฮรีสติกดังเดิม เช่น อัลกอริทึมผึ้งมด (Ant Colony Algorithm) ในปัญหา ที่แตกต่างกัน จะมีระเบียบหลัก ๆ ที่เหมือนกัน แต่วิธีการตัดสินใจอาจจะใช้ระดับใบแอลกอริทึมแต่ละปัญหา ไม่เหมือนกัน และวิธีการเลือกคำตอบมาเพิ่มหรือลดระดับใบแอลกอริทึมแต่ละปัญหาอาจจะแตกต่างกันไปด้วย
7. สามารถใช้ได้กับปัญหาที่หลากหลาย
8. อาจมีลักษณะเป็นคำบรรยายโดยย่อ ก็ได้ หรือไม่จำเป็นต้องมีหลักการทางคณิตศาสตร์



## 9. ใช้ความจำชั่วคราวมากขึ้นในการจำต่อไป เพื่อค้นหาคำตอบที่ไม่เข้าเดิมหรือแตกต่างไปจากเดิม เช่น วิธีการค้นหาต้องห้าม วิธีระบบมด

จากการวิจัยและการศึกษาในรอบปีที่ผ่านมาพบว่า อัลกอริทึมค้นหาคำตอบแบบเมต้าอิวิสติก หลายวิธีได้ถูกทำการพัฒนาคุณลักษณะต่าง ๆ เพื่อให้สามารถตอบสนองต่อระบบปัญหาที่มีความหลากหลายได้อย่างมีประสิทธิภาพมากขึ้น โดยสามารถสรุปข้อเด่นสำหรับการประยุกต์ใช้งานได้ดังต่อไปนี้ [25]

1. มีความเข้าใจได้ง่าย หรือมีวิธีการหาคำตอบแบบมีเหตุมีผลที่เหมาะสม เหมาะต่อการประยุกต์ใช้ในการแก้ปัญหาต่าง ๆ
2. มีความสอดคล้องอย่างมีเหตุมีผล ซึ่งในขั้นตอนต่าง ๆ ของอัลกอริทึมสำหรับการแก้ไขปัญหานั้น ควรยึดถือหลักการจากทฤษฎีพื้นฐานของวิธีการหาคำตอบแบบมีเหตุมีผลในแต่ละชนิดนั้น ๆ ที่สนใจพิจารณา เพื่อก่อให้เกิดประโยชน์สูงที่สุด
3. มีประสิทธิภาพ กล่าวคือ อัลกอริทึมที่เหมาะสมสำหรับการแก้ปัญหาต่าง ๆ นั้น จะต้องสามารถจัดหาคำตอบให้มีค่าใกล้เคียงค่าที่เหมาะสมที่สุด โดยต้องสามารถแก้ไขปัญหาได้หลากหลาย และครอบคลุมตัวแปรทั้งหมดของปัญหา
4. มีประสิทธิผล โดยที่อัลกอริทึมสำหรับการแก้ปัญหาต้องจัดหาคำตอบที่ใกล้เคียงค่าที่เหมาะสมที่สุดในเวลาที่สมควร
5. มีความทนทาน ในที่นี้หมายถึงอัลกอริทึมจะต้องให้ค่าที่เหมาะสมที่สุดของปัญหา เหล่านั้นในทุก ๆ กรณีที่เกิดขึ้นหรือในสภาพจริง ยกตัวอย่างเช่น การไม่ปรับค่าบางอย่างที่ถูกกำหนดไว้ และให้ค่าคำตอบที่ดีน้อยลง เป็นต้น
6. นำไปใช้งานได้ง่าย อัลกอริทึมที่เหมาะสมควรมีนิยามที่ดี ง่ายต่อการเข้าใจ และมีให้ความสำคัญใช้งานได้ง่ายหรือกล่าวอีกนัยหนึ่ง คือ ทฤษฎีมีความเนื้อหามากจนเกินไป แต่ควรอยู่บนพื้นฐานของความเป็นจริงและมีตัวแปรที่แสดงผลลัพธ์
7. เป็นวัตกรรมใหม่ ทฤษฎีที่เกิดขึ้นใหม่ของอัลกอริทึมนั้น ประลิทธิภาพและประสิทธิผลที่เกิดขึ้นควรได้มาจาก การปรับปรุงรูปแบบ หรือการประยุกต์ทฤษฎีอื่น ๆ เพื่อนำมาใช้ในการแก้ไขปัญหาอื่น ๆ ได้อย่างเหมาะสม
8. อัลกอริทึมที่ดี ควรเป็นทฤษฎีที่ให้ผลของคำตอบที่เหมาะสมในทุก ๆ ปัญหาที่ทำการวิจัย
9. อัลกอริทึมที่ดีควรให้ผู้ใช้สามารถใช้ความรู้หรือข้อจำกัดในองค์กรมาเป็นข้อมูล หรือความต้องการในการปรับปรุงกระบวนการค้นหาคำตอบ
10. มีความหลากหลาย อัลกอริทึมควรที่จะสามารถแสดงความหลากหลายของคำตอบที่จะเกิดขึ้นได้ จุดที่เป็นค่าที่เหมาะสมที่สุด และให้ผู้ใช้งานเป็นผู้สรุปข้อมูลว่าควรจะตัดสินใจเลือก

โดยสรุปในปัจจุบันอัลกอริทึมค้นหาคำตอบแบบmetaheuristicมีอยู่อย่างหลากหลาย แต่ละวิธีการจะมีจุดเด่นและจุดด้อยที่แตกต่างกัน บางอัลกอริทึมให้ผลลัพธ์ที่ดีแต่อาจใช้เวลาในการคำนวนนาน บางอัลกอริทึมประมวลผลรวดเร็วแต่ให้ผลลัพธ์ที่ด้อยกว่าวิธีการอื่น ๆ การแบ่งอัลกอริทึมค้นหาคำตอบแบบmetaheuristicมีหลายวิธี สรุปได้ดังนี้ [24, 26]

1. แรงบันดาลใจจากธรรมชาติหรือแบบไม่ได้เกิดจากแรงบันดาลใจจากธรรมชาติ วิธีที่เกิดจากแรงบันดาลใจจากธรรมชาติ ได้แก่ วิธีการเชิงพันธุกรรม (Genetic Algorithm) วิธีระบบมด (Ant System) วิธีการลอกแบบ (Memetic Algorithm) วิธีการจำลองการอบอ่อน (Simulated Annealing) ส่วนวิธีการที่ไม่ได้เลียนแบบธรรมชาติ เช่น วิธีการค้นหาต้องห้าม (Tabu Search) การค้นหาคำตอบเฉพาะที่แบบวนรอบซ้ำ (Local Search) วิธีการค้นหาคำตอบใกล้เคียงแบบมีเงื่อนไข (Neighborhood Search) เป็นต้น

2. แบบใช้ประชากรหรือแบบไม่ใช้ประชากร (Population or Non Population Based Heuristic) แบบใช้ประชากรคือในหนึ่งรอบของการคำนวนจะมีคำตอบเพียงคำตอบเดียว วิธีแบบใช้ประชากร เช่น วิธีผุ่งมด วิธีการเชิงพันธุกรรม วิธีการลอกแบบ วิธีแบบไม่ใช้ประชากร เช่น วิธีการจำลองการอบอ่อน วิธีการค้นหาต้องห้าม การค้นหาคำตอบเฉพาะที่แบบวนรอบซ้ำ วิธีการค้นหาจากคำตอบใกล้เคียงแบบมีเงื่อนไข บางครั้งเราเรียกกรณีที่ไม่ใช้ประชากรว่า วิธีการแบบตราJECTORY (Trajectory Method)

3. แบบล้มการเป้าหมายคงที่หรือไม่คงที่ (Dynamic or Static Objective Function) กล่าวคือ ในหนึ่งรอบของการคำนวนอาจจะมีการเปลี่ยนแปลงสมการเป้าหมาย เพื่อให้ได้คำตอบใหม่ ๆ เกิดขึ้นหรือไม่มีการเปลี่ยนสมการเป้าหมาย หรือในบางกรณีที่มีการเปลี่ยนสมการเป้าหมาย เช่น การค้นหาคำตอบเฉพาะที่แบบมีการซึ้งนำ (Guided Local Search) กรณีที่ไม่มีการเปลี่ยนสมการเป้าหมาย เช่น วิธีผุ่งมด วิธีการเชิงพันธุกรรม วิธีการลอกแบบ วิธีการจำลองการอบอ่อน วิธีการค้นหาคำตอบต้องห้าม วิธีการค้นหาคำตอบเฉพาะที่แบบวนรอบซ้ำ วิธีการค้นหาจากคำตอบใกล้เคียงแบบมีเงื่อนไข

4. แบบเปลี่ยนวิธีการหาคำตอบใกล้เคียงคำตอบปัจจุบัน (Neighborhood) คงที่และไม่คงที่ กรณีที่มีวิธีการหาคำตอบใกล้เคียงคงที่ ได้แก่ วิธีผุ่งมด วิธีการเชิงพันธุกรรม วิธีการจำลองการอบอ่อน วิธีการค้นหาต้องห้าม วิธีการค้นหาคำตอบเฉพาะที่แบบวนรอบซ้ำ ส่วนกรณีที่มีการเปลี่ยนวิธีการหาคำตอบที่ใกล้เคียง ได้แก่ วิธีการค้นหาจากคำตอบใกล้เคียงแบบมีเงื่อนไข

5. แบบมีและมีหน่วยความจำ ถ้ามีการใช้หน่วยความจำ จะจำว่ามีคำตอบใดบ้างที่ผ่านมาแล้วเพื่อเป็นข้อมูลในการหาคำตอบตัดไป ถ้ามีการใช้หน่วยความจำ จะจำว่ามีคำตอบใดบ้างที่ผ่านมาแล้วเพื่อเป็นข้อมูลในการหาคำตอบตัดไป ซึ่งกรณีที่ใช้หน่วยความจำที่ปราฏชัด ได้แก่ วิธีระบบมด วิธีการค้นหาต้องห้าม ส่วนวิธีที่ไม่ใช้หน่วยความจำ เช่น วิธีการค้นหาคำตอบเฉพาะที่แบบวนรอบซ้ำ

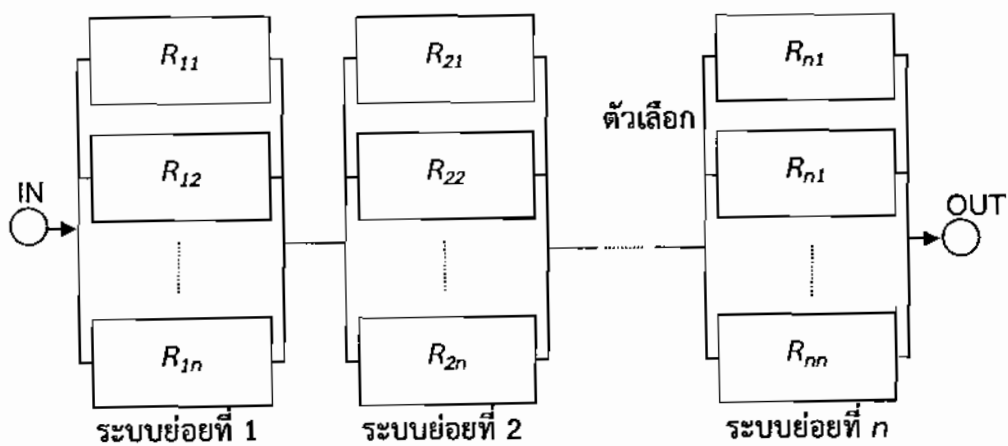
ดำเนินปัจจุบันนี้จะมีอุปแบบอัลกอริทึมค้นหาคำตอบแบบmetaheuristicที่มีการผสมผสานกัน เช่น การใช้งานร่วมกันระหว่างอิริสติกที่ใช้หน่วยความจำและไม่ใช้หน่วยความจำ หรือมีการผสมผสาน



กันระหว่างแบบมีประชากรและไม่มีประชากร ดังนั้นการออกแบบอัลกอริทึมค้นหาคำตอบแบบเมต้าอิวิสติก จึงขึ้นอยู่กับอุดมคติของผู้ออกแบบอัลกอริทึมและอยู่บนหลักการความเป็นไปได้ ประสิทธิภาพ ประสิทธิผลในการแก้ปัญหาทั้งในรูปแบบ NP-Complete, NP-Hard และ Strongly NP-Hard

## 2.2 ปัญหาการหาค่าความน่าเชื่อถือที่เหมาะสมของระบบอนุกรม (Reliability Optimization Problems for a Series System)

การเพิ่มประสิทธิภาพหรือการหาค่าที่เหมาะสมของปัญหาการหาค่าความน่าเชื่อถือได้ (Reliability Optimization Problems) เทคนิคนึงที่ได้รับความนิยม คือ ระบบอนุกรม (Series System) ซึ่งมีการนำมาประยุกต์ใช้ในการออกแบบระบบใหญ่หนึ่งระบบที่มีระบบย่อย ๆ ประกอบรวมกัน [3] ยกตัวอย่างเช่น วงจรอิเล็กทรอนิกส์ 1 วงจร จะประกอบด้วยอุปกรณ์ชิ้นส่วนอิเล็กทรอนิกส์หลาย ๆ ชิ้นประกอบรวมกัน ซึ่งชิ้นล้วนอิเล็กทรอนิกส์แต่ละชิ้นจะมีคุณสมบัติที่มีความน่าเชื่อถือต่างกัน แปรผันตามราคา เมื่อคัดเลือกมาประกอบเป็นวงจรรวมจะมีผลทำให้วงจรอิเล็กทรอนิกส์นั้น ๆ มีประสิทธิภาพที่แตกต่างกัน เป็นต้น นอกจากนี้ยังสามารถนำไปประยุกต์ใช้ในการออกแบบระบบทางด้านวิศวกรรมและอุตสาหกรรม ได้แก่ ระบบการผลิต, ระบบไฮาร์ดแวร์, ระบบสื่อสารโทรคมนาคม, ระบบไฟฟ้ากำลัง, ระบบสนับสนุนการตัดสินใจ (Decision Support System) ในด้านเทคโนโลยีสารสนเทศต่าง ๆ รวมถึงอุปกรณ์สิ่งอำนวยความสะดวกความสะดวกต่าง ๆ ภาพรวมของໄ道ะกรรมการกำหนด . ปัญหาการหาค่าความน่าเชื่อถือที่เหมาะสมของระบบอนุกรม แสดงดังภาพประกอบ 1



ภาพประกอบ 1 ໄ道ะกรรมระบบอนุกรมที่มีหลายทางเลือก [3]



การกำหนดปัญหาในการหาค่าที่เหมาะสม จะพิจารณาจากปัจจัยหลายด้าน เช่น น้ำหนัก ความสำคัญของระบบ ประสิทธิภาพ งบประมาณ ความน่าเชื่อถือได้ และคุณลักษณะอื่น ๆ โดยมักจะกำหนดเป็นฟังก์ชันวัตถุประสงค์ (Objective Function) และกำหนดข้อจำกัด (Constraints) เพื่อให้ได้ค่าที่เหมาะสมที่สุดตามฟังก์ชันวัตถุประสงค์ ซึ่งงานวิจัยนี้จะนำเสนอปัญหานี้เพื่อนำมาประยุกต์ใช้ และทดสอบประสิทธิภาพหลังจากการออกแบบและพัฒนาอัลกอริทึมเสร็จเรียบร้อยแล้ว คือ ต้องการหาค่าสูงสุดของความน่าเชื่อถือของระบบทั้งระบบ ดังสมการที่ 2.1 โดยกำหนดข้อจำกัดเป็นงบประมาณโดยรวมและวิธีทางเลือกใช้ในการตัดสินใจทางเลือก ดังสมการที่ 2.2-2.4 เป็นต้น [19]

$$\text{maximize } R_{\text{sys}} = \prod_{i=1}^n \left( \sum_{j=1}^{N_i} X_{ij} R_{ij} \right) \quad (2.1)$$

$$\text{Subject to } \sum_{i=1}^n \sum_{j=1}^{N_i} X_{ij} C_{ij} \leq B \quad (2.2)$$

$$\sum_{j=1}^{N_i} X_{ij} = 1, \quad \forall i = 1, 2, \dots, n \quad (2.3)$$

$$X_{ij} = \{0, 1\}, \quad \forall i = 1, 2, \dots, n \text{ และ } j = 1, 2, \dots, N_i \quad (2.4)$$

เนื่องจากสมการที่ 2.2 คือ งบประมาณที่กำหนด แทนด้วย  $B$  กำหนดค่าเป็นจำนวนเต็ม; เนื่องจากสมการที่ 2.3 คือ เทคโนโลยีที่มีรายทางเลือกสำหรับระบบอยู่หนึ่ง ๆ และสมการที่ 2.4 คือ การกำหนดตัวแปรที่ใช้ตัดสินใจ และเมื่อชุดคำตอบเป็นไปตามข้อจำกัดทั้งหมดจะเรียกว่า ชุดคำตอบที่มีความเป็นไปได้ ถ้าเป็นอย่างอื่น คือ ชุดคำตอบที่เป็นไปไม่ได้

ตาราง 1 ตัวอย่างข้อมูลเชิงวิศวกรรมของปัญหา

ระบบย่อย		เทคโนโลยี 1	เทคโนโลยี 2	เทคโนโลยี 3	เทคโนโลยี 4	เทคโนโลยี 5
1	ความน่าเชื่อถือ	0.9	0.99	0.999	0.9999	0.99999
	ราคากลาง (\$)	20	40	60	80	100
2	ความน่าเชื่อถือ	0.85	0.9775	0.9966	0.9995	0.9999
	ราคากลาง (\$)	30	60	90	120	150
3	ความน่าเชื่อถือ	0.8	0.96	0.99	0.998	0.9997
	ราคากลาง (\$)	20	40	60	80	100



ถ้าผลลัพธ์ที่ระบบย่อยเลือกใช้เทคโนโลยีเป็น

ระบบย่อยที่ 1 เลือกเทคโนโลยีที่ 2 จะได้ค่าความน่าเชื่อถือ เท่ากับ 0.99, ต้นทุน \$20

ระบบย่อยที่ 2 เลือกเทคโนโลยีที่ 1 จะได้ค่าความน่าเชื่อถือ เท่ากับ 0.85, ต้นทุน \$30

ระบบย่อยที่ 3 เลือกเทคโนโลยีที่ 3 จะได้ค่าความน่าเชื่อถือ เท่ากับ 0.99, ต้นทุน \$60

$$\text{แทนค่า } R_{sys} = \prod(0.99, 0.85, 0.99)$$

ตั้งนี้ จะได้ ความน่าเชื่อถือของระบบทั้งระบบ = 0.833085

จะได้ค่าต้นทุนรวม = \$20+\$30+\$60 = \$110 และเทคโนโลยีที่เลือก คือ 2-1-3

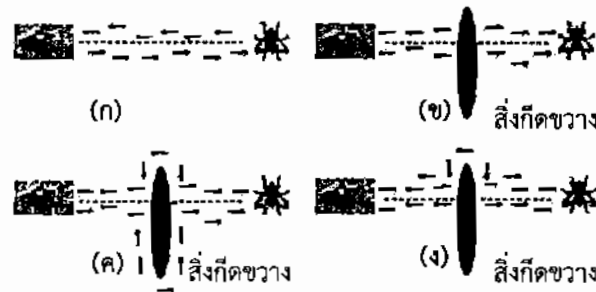
ถ้าตั้งงบประมาณ (B) ไว้ตามข้อจำกัดตามสมการที่ 2.2 ที่ \$120 ชุดคำตอบนี้จะถือว่าเป็นชุดคำตอบที่เป็นไปได้ เพราะผลรวมต้นทุนยังต่ำกว่างบประมาณที่ตั้งไว้ แต่ถ้าผลกระทบของต้นทุนรวมมากกว่าจะถือว่าเป็นคำตอบที่เป็นไปไม่ได้

## 2.3 อัลกอริทึมฝูงมด (Ant Colony Algorithm)

### 2.3.1 พื้นฐานอัลกอริทึมฝูงมด

อัลกอริทึมฝูงมด เป็นอัลกอริทึมที่ได้แรงบันดาลใจในการออกแบบจากพฤติกรรมการหากาหารของมดจริง ซึ่งมีความสามารถหาเส้นทางที่สั้นที่สุดจากรังมดไปยังแหล่งอาหาร ระหว่างมดเดินทางไป-กลับแหล่งอาหารกับรัง มดจะปล่อยสารเคมีชีวภาพที่เรียกว่า พีโรโมน (Pheromone) ไว้บนพื้น เพื่อให้สื่อสารกับมดตัวอื่น ๆ โดยใช้ความหนาแน่นของพีโรโมน ซึ่งหากเส้นทางใดมีพีโรโมนจำนวนมากมาก ก็จะเลือกใช้เส้นทางนั้น [26] พิจารณาตัวอย่างการเดินทางของมดซึ่งเป็นการเดินทางไป-กลับระหว่างรังและแหล่งอาหาร ดังภาพประกอบ 2 (ก) เมื่อมีสิ่งกีดขวาง (Obstacle) มาปิดกั้นเส้นทางเดิม นดที่กำลังเดินทางจากรังจะไปแพลงอาหาร หรือมดที่กำลังเดินจากแหล่งอาหารกลับรัง ต้องดัดสินใจว่าจะเดินไปทางด้านซ้าย หรือขวา ดังภาพประกอบ 2 (ข) เส้นทางที่มีดัดสินใจเลือกเดินทางนั้นจะมีอิทธิพลมาจากความหนาแน่นของจำนวนพีโรโมนที่มดตัวก่อนหน้านี้ปล่อยไว้เป็นตัวชี้นำ แต่เนื่องจากไม่มีพีโรโมนถูกวางไว้ก่อนหน้านี้ทั้งสองทิศทาง มดจึงดัดสินใจเดินทางไปทั้งสองทาง ดังภาพประกอบ 2 (ค) จะเห็นว่าเส้นทางด้านบนจะสั้นกว่าเส้นทางด้านล่าง นดตัวแรกที่เดินทางตามเส้นทางด้านล่างทำให้มดตัวต่อมาจะหาเส้นทางเดินทางข้ามสิ่งกีดขวางได้ก่อนมดตัวแรกที่เดินทางตามเส้นทางด้านล่างทำให้มดตัวต่อมาจะหาเส้นทางตามเส้นทางที่มีความหนาแน่นของพีโรโมน เป็นเหตุให้มดส่วนใหญ่ดัดสินใจเลือกเดินทางตามเส้นทางด้านบน เนื่องจากมีความหนาแน่นของปริมาณพีโรโมนมากกว่าและเป็นเส้นทางที่สั้นกว่า ทำให้มดมีแนวโน้มที่จะเลือกเดินตามเส้นทางที่มีระยะทางสั้นกว่าอย่างรวดเร็ว [28] ดังภาพประกอบ 2 (ง)





ภาพประกอบ 2 การหาระยะทางที่สั้นที่สุดของผุ้งมดจริง [28]

การคิดคันอัลกอริทึมผุ้งมดในช่วงแรก มีการนำเสนอยู่ 3 เวอร์ชัน คือ Ant-density Ant-quantity และ Ant-cycle [29] แต่ในปัจจุบันเมื่อมีอ้างอิงถึงอัลกอริทึมระบบมด จะหมายถึง Ant-cycle ทั้งนี้เนื่องจากอีก 2 อัลกอริทึมนั้นมีประสิทธิภาพที่ด้อยกว่า [30] รหัสเทียมของอัลกอริทึมระบบมดดังเดิม แสดงดังภาพประกอบ 3 ซึ่งมีขั้นตอนการทำงานดังนี้

ขั้นตอนที่ 1 ประกอบด้วยการตั้งค่าเริ่มต้นของฟีโรโมนและพารามิเตอร์ต่าง ๆ

ขั้นตอนที่ 2 ในทุก ๆ รอบของการวนซ้ำ จะเริ่มต้นจาก มดแต่ละตัวนำค่าความหนาแน่นฟีโรโมนจากกฎการปรับปรุงฟีโรโมนแบบกว้าง (Global pheromone update rule) มาหาค่าความนำจะเป็นโดยใช้กฎการเปลี่ยนสถานะ (State transition rule) ยกเว้นในคุณภาพเท่านั้นที่จะใช้ค่าเริ่มต้นของฟีโรโมนจากขั้นตอนที่ 1 และหลังจากนั้น มดทั้งหมดจะสร้างชุดคำตอบเพื่อใช้สำหรับแก้ปัญหาและต่อมากฎการปรับปรุงฟีโรโมนแบบกว้างจะถูกนำมาใช้ปรับปรุงความหนาแน่นของฟีโรโมนตามเส้นทางที่มุ่งเดินผ่าน พร้อมทั้งปรับปรุงค่าฟีโรโมนของแต่ละเส้นทาง โดยการประมวลผลจะสิ้นสุดเมื่อเป็นไปตามเงื่อนไขที่กำหนด

STEP 1: Initialize the pheromone trails and parameter

STEP 2: Iteration

Repeat for each ant

Solution construction using global pheromone trails

Update the global pheromone trails

Until stopping criteria

ภาพประกอบ 3 รหัสเทียมอัลกอริทึมผุ้งมดดังเดิม [31]

### 2.3.2 การประยุกต์ใช้อัลกอริทึมผู้จัดในการแก้ปัญหาเมตาอิวาริสติก

อัลกอริทึมผู้จัดได้ถูกนำไปใช้แก้ปัญหาเมตาอิวาริสติกสำหรับการหาค่าเหมาะสมที่สุด

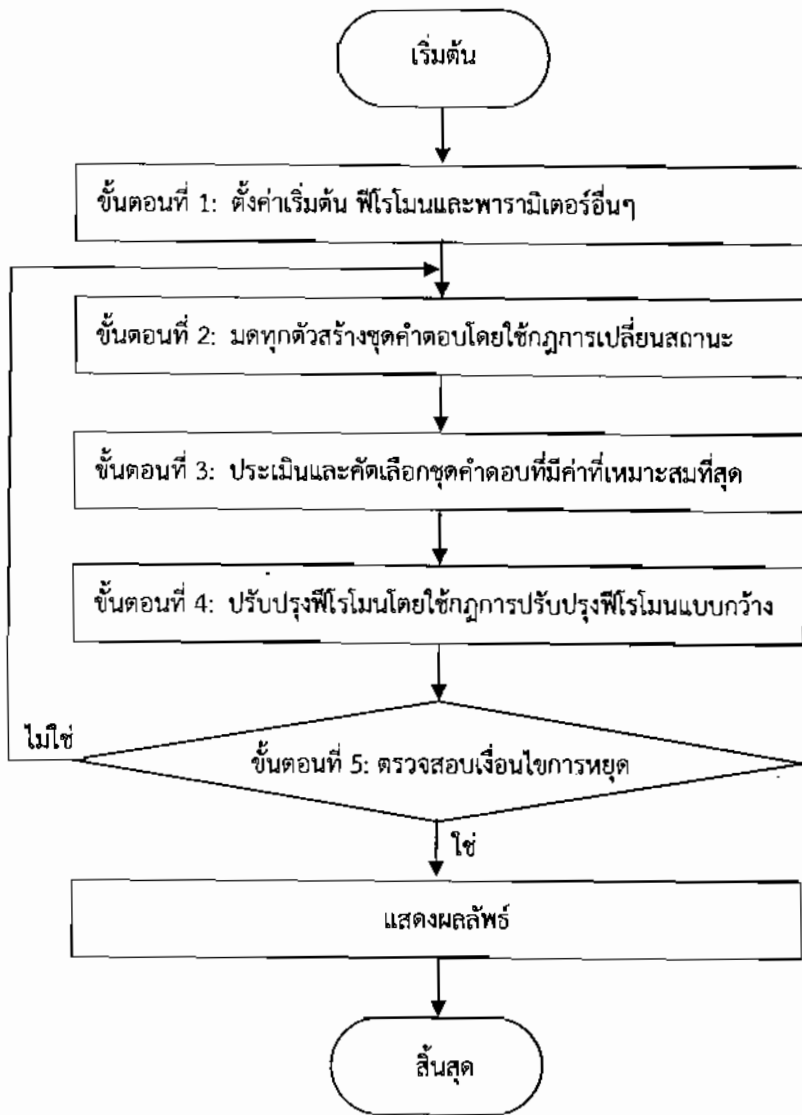
เชิงการจัด (Combinatorial Optimization Problem) [32] และในเวลาต่อมา ก็ประสบความสำเร็จในการนำไปประยุกต์ใช้แก้ปัญหาการหาค่าเหมาะสมที่สุดเชิงการจัดอื่น ๆ ได้แก่ ปัญหาการเดินทางของพนักงานขาย (Traveling Salesman Problem: TSP) [33] ดีศรีต ออพติไมเซชัน (Discrete Optimization) [34] ปัญหาการกำหนดสมการกำลังสอง (Quadratic Assignment Problem: QAP) [35] ปัญหาการจัดเส้นทางยานพาหนะ (Vehicle Routing Problem: VRP) [36] และ ปัญหาการจัดตารางการผลิตแบบตามสั่ง (job-shop scheduling problem: JSSP) [37] เป็นต้น ต้นแบบของอัลกอริทึมผู้จัดในการหาค่าที่เหมาะสมและเป็นที่รู้จักกันในชื่ออัลกอริทึมระบบมต [38] และต่อมาได้มีการปรับปรุงหรือปรับแต่งอัลกอริทึมผู้จัดเพิ่มเติม ได้แก่ Elitist AS [39-40], Ant-Q [40], Ant Colony System (ACS) [41], MMAS [42], AS\_rank [43], ANTS [44], BWAS [45], และ Hyper-Cube AS [46] ซึ่งการปรับปรุงอัลกอริทึมผู้จัดดังกล่าวก็เพื่อเป็นการเพิ่มประสิทธิภาพการทำงานในบางกรณีมุ่งเน้นปรับปรุงกลไกการคัดเลือกคำตอบ บางกรณีปรับปรุงกระบวนการของ พีโรมอน และในบางกรณีปรับปรุงโครงสร้างการทำงาน

### 2.3.3 ระเบียบขั้นตอนของอัลกอริทึมผู้จัด

เพื่ออธิบายเพิ่มเติมเกี่ยวกับระเบียบขั้นตอนของอัลกอริทึมผู้จัด ผู้วิจัยนำเสนอผังงาน

ดังภาพประกอบ 4





ภาพประกอบ 4 ผังงานอัลกอริทึมผู้บังคับเดิม [47]

ขั้นตอนที่ 1 กำหนดค่าเริ่มต้น จำนวนมด พีโรมีนเริ่มต้น อัตราการเพิ่มของพีโรมีน ค่าพารามิเตอร์อื่น ๆ และกำหนดให้มดผู้ง่ายเริ่มต้นคันหาคำตอบที่เป็นไปได้โดยวิธีการสุ่ม พร้อมทั้ง คำนวณค่าพังก์ชั่นความเหมาะสมของแต่ละคำตอบและเลือกคำตอบที่มีพังก์ชั่นความเหมาะสมดีที่สุด เป็นคำตอบที่ดีที่สุดบันทึกเก็บไว้ และหาอัตราการเพิ่มของพีโรมีนของแต่ละเส้นทาง พร้อมทั้งปรับปรุง ค่าพีโรมีนของแต่ละเส้นทาง

ขั้นตอนที่ 2 madทุกด้วยของผู้ง่ายคันหาคำตอบที่เป็นไปได้โดยใช้ความน่าจะเป็นในการ เลือกเส้นทางที่ได้จากสมการที่ 2.5 พร้อมทั้งคำนวณค่าพังก์ชั่นความเหมาะสมของแต่ละคำตอบ

ขั้นตอนที่ 3 คัดเลือกคำตอบที่มีค่าพังก์ชั่นความเหมาะสมที่สุดบันทึกเป็นคำตอบที่ดีที่สุด



ขั้นตอนที่ 4 หาอัตราการเพิ่มของพีโรโมนของแต่ละเส้นทาง พร้อมทั้งปรับปรุง ค่าพีโรโมน แบบกว้างของแต่ละเส้นทางโดยใช้สมการที่ 2.6

ขั้นตอนที่ 5 ตรวจสอบเงื่อนไขการหยุด ถ้าไม่ถึงเงื่อนไขการหยุด ให้ทำขั้นตอนที่ 2 แต่ถ้าตรงตามเงื่อนไขแสดงผลลัพธ์และหยุดทำงาน

องค์ประกอบของอัลกอริทึมผุ่งมด

กฎการเปลี่ยนสถานะ (State transition rule) เป็นวิธีพฤติกรรมของมดที่จะใช้เกณฑ์ในการเลือกเส้นทางในรอบตัดไป จากสมการที่ 2.6

$$\rho^k(t) = \frac{[\tau(t)]^\alpha [\eta(t)]^\beta}{\sum_{k=1}^m [\tau_k(t)]^\alpha [\eta_k(t)]^\beta} \quad (2.5)$$

เมื่อ	$\tau$	คือ ความหนาแน่นของพีโรโมน
	$\eta$	คือ ข้อมูลอิวารีสติก
	$m$	คือ จำนวนมดที่ใช้ในการค้นหา
	$\alpha$ และ $\beta$	ค่าคงที่

กฎการปรับปรุงพีโรโมนแบบกว้าง (Global pheromone update rule)

กระบวนการค้นหาของอัลกอริทึมผุ่งมด ไม่สามารถรับประกันได้ว่าคำตอบที่ได้จะเป็นไปตามเงื่อนไขที่ต้องการหรือไม่ จึงได้มีการปรับปรุงพีโรโมน คือ ถ้าคำตอบที่ได้เป็นคำตอบที่ดีขึ้น จะให้มีค่ามาก แต่ถ้าคำตอบที่ได้เป็นคำตอบที่ไม่ดีขึ้นจะมีค่าน้อย ซึ่งถ้าได้คำตอบที่ไม่ดีขึ้นก็มีเงื่อนไขในการปรับปรุงคำตอบให้ดีขึ้น ซึ่งการปรับปรุงความหนาแน่นของพีโรโมน หาได้จากจากสมการที่ 2.6

$$\tau(t) = (1 - \rho) \cdot \tau(t-1) + \Delta \tau \quad (2.6)$$

เมื่อ  $\rho$  คือ สัมประสิทธิ์ของพีโรโมน โดยที่การระเหยของพีโรโมน มีค่าเท่ากับ  $(1 - \rho)$  และ  $\Delta \tau$  หาได้จาก

$$\Delta \tau = \Delta \tau^k \quad (2.7)$$

เมื่อ  $k$  คือ จำนวนมดทั้งหมด และ  $\Delta \tau^k$  หาได้จาก



$$\Delta \tau^k = \begin{cases} 1 & \text{if } k^{\text{th}} \text{ ant chooses path} \\ 0 & \text{Otherwise} \end{cases} \quad (2.8)$$

ดังนั้น ขั้นตอนของวิธีปุ่งสามารถสรุปได้ดังนี้ คือ กำหนดให้มดแต่ละตัวมีความสามารถในการจดจำข้อมูลที่เกี่ยวกับเส้นทางเพื่อใช้ในการสร้างคำตอบ ใช้ในการประเมินคำตอบไปใช้เส้นทางเดิม ใช้ในการย้อนกลับไปเส้นทางเดิม อัลกอริทึมต้องมีสภาวะเริ่มต้นที่สอดคล้องกับขั้นตอนดำเนินการที่ต่อเนื่อง และมีเงื่อนไขในการหยุดที่สัมพันธ์กัน การค้นหาคำตอบจะเริ่มจากสภาวะเริ่มต้น และเคลื่อนย้ายไปยังสภาวะถัด ๆ ไปที่สัมพันธ์กับคำตอบของปัญหาที่จะค่อย ๆ เพิ่มสูงขึ้น การเคลื่อนย้ายหรือการค้นหาคำตอบจะเกิดขึ้นโดยการส่งผ่านฟังก์ชันของเส้นทางพีโรมอนและค่าความสามารถการจดจำของมดตามข้อจำกัดจากปัญหา ขณะที่มดเคลื่อนย้ายตำแหน่งจะเกิดเส้นทางพีโรมอนใหม่ และถ้าหากพีโรมอนมีความเข้มมากขึ้นคำตอบที่เป็นไปได้ก็อาจจะเปลี่ยนไปสัมพันธ์กับเส้นทาง ขั้นตอนการทำงานจะสิ้นสุดเมื่อเงื่อนไขในการหยุดถูกต้องหรือเมื่อได้คำตอบตรงกับที่ต้องการ

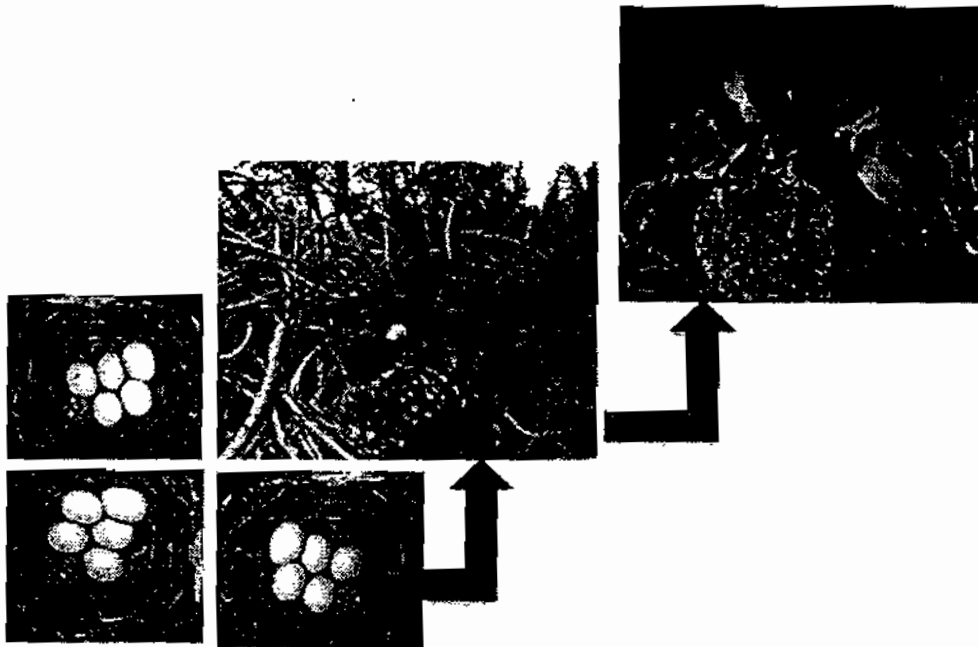
## 2.4 อัลกอริทึมการค้นหาแบบนกคุณเหว่า (Cuckoo search algorithm)

### 2.4.1 พื้นฐานอัลกอริทึมการค้นหาแบบนกคุณเหว่า

อัลกอริทึมการค้นหาแบบนกคุณเหว่า [23] เป็นวิธีการค้นหาค่าที่เหมาะสมที่สุด โดยมีแรงบันดาลใจจากพฤติกรรมการวางไข่ของนกคุณเหว่า ซึ่งการวางไข่ลงในรังจะถูกสุ่มเลือกรังว่า มีคุณภาพสูงหรือไม่ ถ้าเป็นรังที่มีคุณภาพสูงก็ทำการวางไข่ แล้วเลือกให้เป็นรุ่นตัดไปและในขั้นตอนการบินหารังใหม่นั้นจะใช้หลักการเคลื่อนที่ของเลวี (Lévy flight) ที่มีการเคลื่อนที่ไปได้ไกลกว่าปกติ โดยหลักการทั่วไปของการค้นหาแบบนกคุณเหว่ามีกฎพื้นฐาน 3 ข้อ คือ

1. นกคุณเหว่าแต่ละตัวสามารถวางไข่ได้เพียงครั้งละ 1 ฟอง โดยจะทำการวางไข่ของตนเองลงในรังที่ได้รับการสุ่มเลือกมา
2. รังที่ดีที่สุด ซึ่งมีไข่ที่มีคุณภาพสูงหรือคำตอบที่ดีกว่าจะได้รับการสืบทอดสู่รุ่นตัดไป
3. จำนวนของรังนกของเจ้าของรังนกตัวจริงจะอยู่คุ้งที่ โดยไข่ที่ถูกวางโดยนกคุณเหว่าจะมีโอกาสพบร่องรอยเจ้าของรังซึ่งอาจทำให้การลงทะเบียนรังแล้วไปสร้างรังใหม่ที่ดีกว่า





ภาพประกอบ 5 พฤติกรรมการวางไข่ของนกคuckoo [48-50]

#### รหัสเพิ่มของอัลกอริทึมการค้นหาแบบนกคuckoo

```

begin
    Objective function  $f(x), x = (x_1, \dots, x_d)^T$ ;
    Generate initial population of  $n$  host nests  $x_i (i = 1, 2, \dots, n)$ ;
    while ( $t < \text{MaxGeneration}$ ) or (stop criterion);
        Get a Cuckoo (say,  $i$ ) randomly by Lévy flight;
        evaluate its quality/fitness  $F_{min}$ ;
        Choose a nest among  $n$  (say  $j$ ) randomly;
        if ( $F_{min} > F_j$ ),
            Replace  $j$  by the new solution;
        end
        Abandon a fraction ( $po$ ) of worse nests
        [and build new ones at new locations via Lévy flight];
        Keep the best solutions (or nests with quality solutions);
        Rank the solutions and find the current best;
    end while
    Post process results and visualization;
End

```

ภาพประกอบ 6 รหัสเพิ่มอัลกอริทึมการค้นหาแบบนกคuckoo [23]

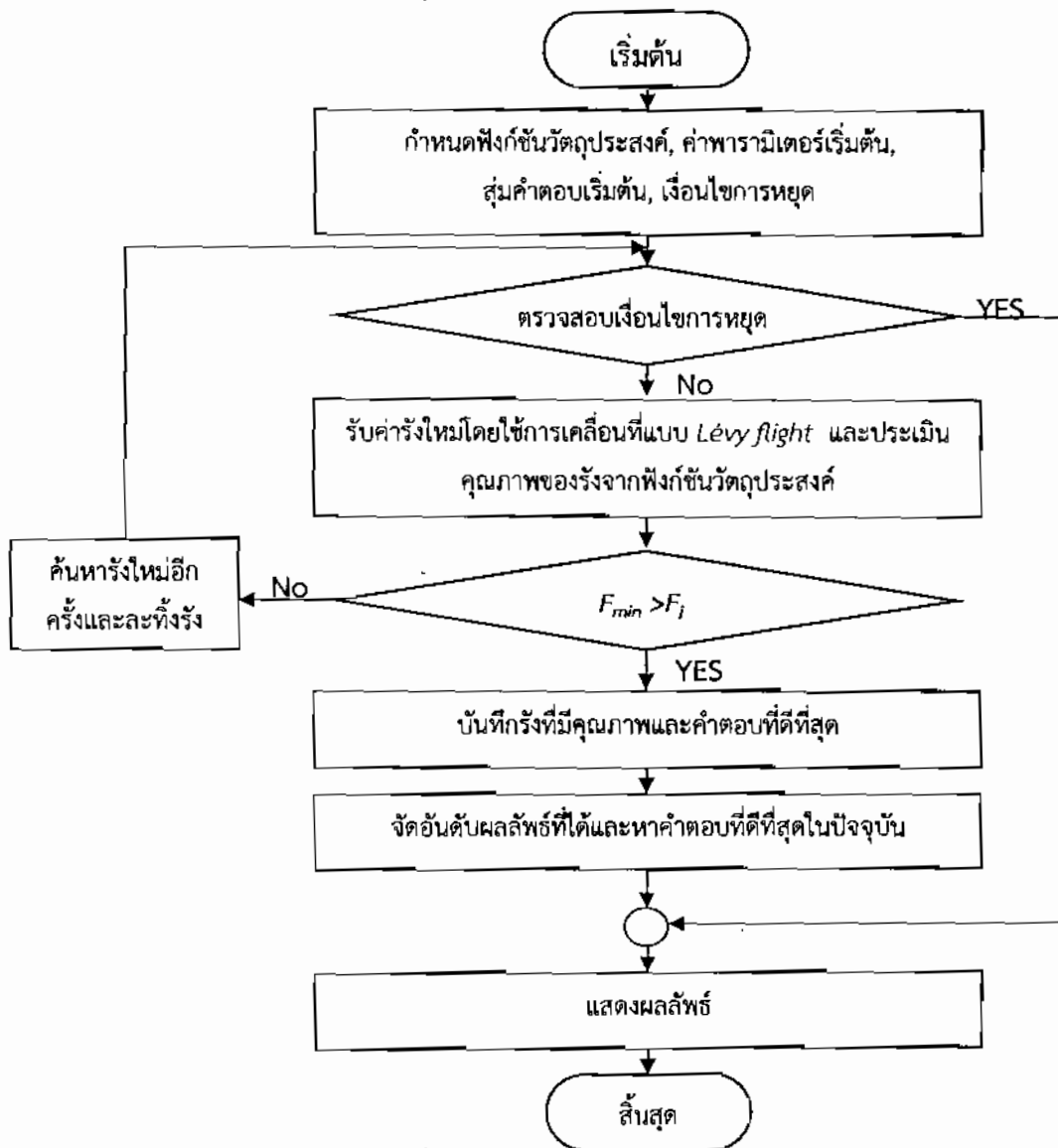


#### 2.4.2 ระเบียบขั้นตอนของอัลกอริทึมการค้นหาแบบนกตุเหว่า

เพื่ออธิบายเพิ่มเติมเกี่ยวกับระเบียบขั้นตอนของอัลกอริทึมการค้นหาแบบนกตุเหว่า ผู้วิจัยนำเสนองั้งงานดังภาพประกอบ 7 และมีขั้นตอนการทำงานดังนี้

ขั้นตอนที่ 1 กำหนดพังก์ชันวัตถุประสงค์, ค่าความน่าจะเป็นในการค้นพบ( $pa$ ), จำนวนของรัง ( $n$ ), เงื่อนไขการหยุดทำงานในที่นี้คือจำนวนรอบการค้นหา, ค่าพารามิเตอร์เริ่มต้นอื่น ๆ และสุ่มคำตอบเริ่มต้นโดยใช้สมการที่ 2.9

$$\text{nest}_{ij}^{(0)} = \left( X_{j,\min} + (X_{j,\max} - X_{j,\min}) \cdot \text{rand} \right) \quad (2.9)$$



ภาพประกอบ 7 ผังงานอัลกอริทึมการค้นหาแบบนกตุเหว่า [51]



เมื่อ  $nest_{ij}^{(0)}$  คือ รังที่เก็บคำตอบเริ่มต้น, ตัวแปร  $i$  แทนลำดับจำนวนของรัง, ตัวแปร  $j$  แทนลำดับของตัวแปรตัดสินใจ; ตัวแปร  $X_{j,min}$  and  $X_{j,max}$  คือ ค่าสูงสุดและต่ำสุดที่ตัวแปร  $j$ ; พิมพ์ชั้นสุ่ม  $rand$  เป็นการสุ่มค่าระหว่าง 0 และ 1

ขั้นตอนที่ 2 ตรวจสอบเงื่อนไขการหยุด ถ้าใช่ให้ทำขั้นตอนที่ 7 แต่ถ้าไม่ใช่รับค่ารังใหม่โดยใช้การเคลื่อนที่แบบ Lévy flight ดังสมการที่ 2.10

$$nest_i^{(t+1)} = nest_i^{(t)} + \alpha \cdot S \cdot (nest_i^{(t)} - nest_{best}^{(t)}) \cdot r \quad (2.10)$$

เมื่อ  $nest_i^{(t)}$  คือลำดับที่  $i$  ของคำແນ່ງຮັງໃນປັຈຸບັນ,  $\alpha$  คือ ค่าພາຣາມີເຕົວສໍາຫຼັບປັບແຕ່ງການເຄລືອນທີ່ຂອງ Lévy flight;  $r$  คือ ເລຂສຸ່ມທີ່ມີການແຈກແຈງປົກຕິແບບມາຕຽນ (Standard normal distribution),  $nest_{best}$  คือ ຮັງທີ່ມີຄຸນກາພານຸກທີ່ສຸດໃນແຕ່ລະຮອບກາຮັນຫັນໆ ແລະ  $S$  คือ ການເຄລືອນທີ່ແບບສຸ່ມຂອງ Lévy flight ดังລົມກາຣີ 2.11

$$S = \frac{u}{|v|^{1/\beta}} \quad (2.11)$$

เมื่อ  $\beta$  คือ ค่าພາຣາມີເຕົວທີ່ໃຊ້ຄວບຄຸມກາຮັນຂອງຕັ້ງແບບ Lévy flight ມີຄ່າອູ້ງໃນໜ່ວຍ  $0 < \beta < 2$ ;  $u$  ແລະ  $v$  คือ ຄ່າສັດສ່ວນເສັ້ນທາງການເຄລືອນທີ່ หาໄດ້ຈາກສົມກາຣີ 2.12 ແລະ 2.13

$$u \sim N(0, \sigma_u^2), \quad v \sim N(0, \sigma_v^2) \quad (2.12)$$

$$\sigma_u = \left\{ \frac{\Gamma(1+\beta) \sin(\pi\beta/2)}{\Gamma[(1+\beta)/2] \beta \cdot 2^{(\beta-1)/2}} \right\}^{1/\beta}, \quad \sigma_v = 1 \quad (2.13)$$



เมื่อ  $I$  เป็นพังก์ชันแคมมาที่เป็นส่วนขยายของพังก์ชันแฟกทอร์เรียลบนจำนวนเชิงซ้อน จากนั้นประเมินคุณภาพของรังทุกรังจากพังก์ชันวัดถูประสงค์ แล้วคัดเลือกรังที่มีคำตอบที่ดีที่สุดบันทึกค่าไว้เป็น  $F_{min}$  เสร็จแล้วเลือกรังอื่นมา 1 รังด้วยการสุ่ม แล้วดำเนินการต่อในขั้นตอนที่ 3

ขั้นตอนที่ 3 นำคำตอบที่ดีที่สุดในการค้นหาນี้ซึ่งแทนด้วย  $F_{min}$  เทียบกับคำตอบที่ดีที่สุดในการค้นหาก่อนหน้านี้ซึ่งแทนด้วย  $F_j$  โดยถ้าค่า  $F_{min}$  มีค่ามากกว่า  $F_j$  ให้ทำการแทนที่รัง  $j$  เป็นคำตอบใหม่ เมื่อเปรียบเทียบเสร็จดำเนินการต่อในขั้นตอนที่ 4

ขั้นตอนที่ 4 ค้นหารังใหม้อีกครั้ง โดยให้การค้นพบรังใหม่ในครั้งนี้มีค่าความน่าจะเป็น  $p \in [0, 1]$  ซึ่งได้มาจากการสุ่มค่าระหว่าง 0 และ 1 แล้วนำไปเทียบกับค่า  $pa$  ที่กำหนดไว้ ดังสมการที่ 2.14 ถ้ามีค่ามากกว่า  $pa$  ก็จะปรับให้คำแทนที่อยู่ในลำดับ  $p_{ij}$  นั้น ๆ มีค่าเป็น 1 ในทางกลับกันก็จะให้ค่าเป็น 0 และให้คลิ๊กรัง แล้วรับค่ารังใหม่แบบสุ่มดังสมการที่ 2.15

$$p_{ij} = \begin{cases} 1 & \text{if } rand < pa \\ 0 & \text{if } rand \geq pa \end{cases} \quad (2.14)$$

$$S = (nests(randp1(n,:)) - nests(randp2(n,:))).rand \quad (2.15)$$

$$nest^{t+1} = nest^t + S.*K$$

เมื่อ  $randp1$  และ  $randp2$  คือเลขสุ่มในรูปแบบการเรียงสับเปลี่ยนลำดับ (Permutation) ให้มีความแตกต่างในแต่ละແກ້ แทนที่เข้าไปในรัง และ  $K$  คือ ตารางค่าความน่าจะเป็น  $p_{ij}$

ขั้นตอนที่ 5 บันทึกรังที่มีคุณภาพและคำตอบที่ดีที่สุด

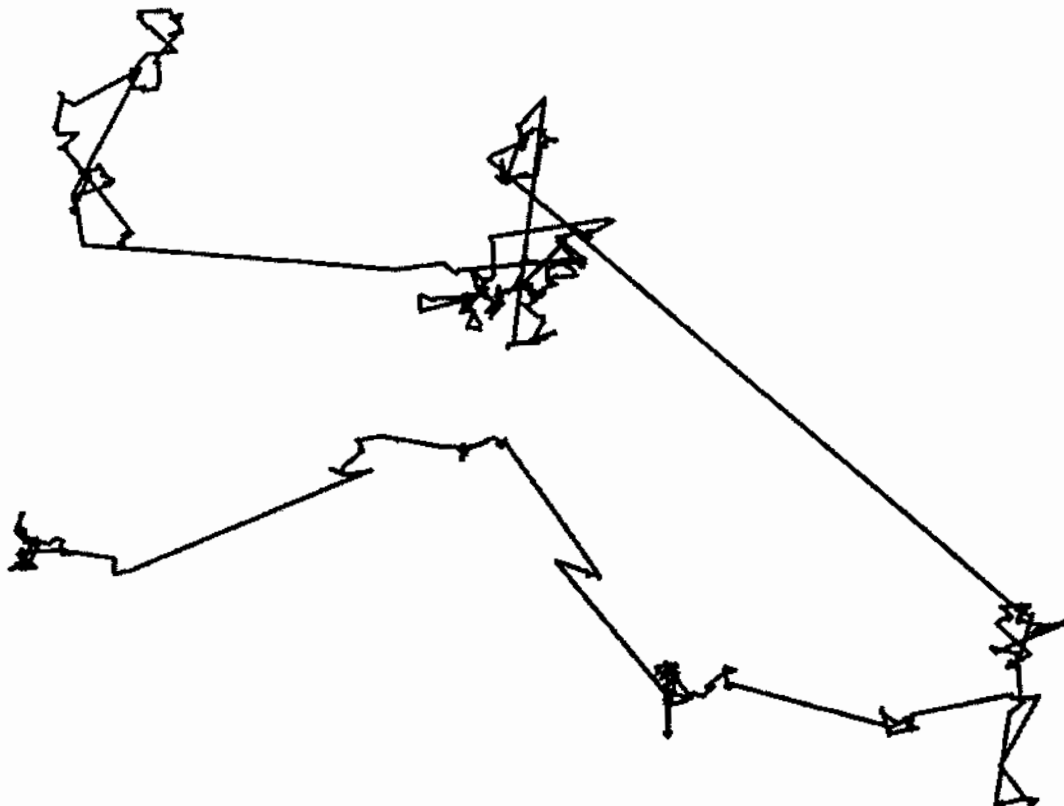
ขั้นตอนที่ 6 จัดอันดับผลลัพธ์ที่ได้และหาคำตอบที่ดีที่สุดในปัจจุบัน จากนั้นกลับไปทำขั้นตอนที่ 2

ขั้นตอนที่ 7 แสดงผลลัพธ์

## 2.5 การเคลื่อนที่แบบเลวี (Lévy flight)

การเคลื่อนที่แบบเลวี (Lévy flight) ถูกนำมาเป็นส่วนหนึ่งของขั้นตอนการค้นหารังใหม่ ของอัลกอริทึมการค้นหาแบบนกคูกุเหว่า ซึ่งมีลักษณะของการเดินแบบสุ่ม (Random Walk) วนเวียนในคำแทนที่เดิม ๆ อย่างต่อเนื่องเป็นระยะ ๆ แล้วเปลี่ยนคำแทนที่ในลักษณะทางตรง 90 องศา มหาวิทยาลัยมหิดล ไปในคำแทนใหม่ที่ใกลอกันไป [23] ขนาดความยาวของการก้าวกระโดดจะอาศัยการแจกแจงความน่าจะเป็นแบบหางหนัก (Heavy-tailed Probability Distribution) [52]

นำไปใช้ในการค้นหาคำตอบที่สูงสุดหรือต่ำสุดเฉพาะที่ คล้ายวิธีการค้นหาพื้นที่ใกล้เคียง (Local Search) หรืออาจนำมาใช้เป็นกฎการเปลี่ยนสถานะ (State Transition) ของอัลกอริทึม



ภาพประกอบ 8 ตัวอย่างการเคลื่อนที่แบบเล维 (Lévy flight) [53]

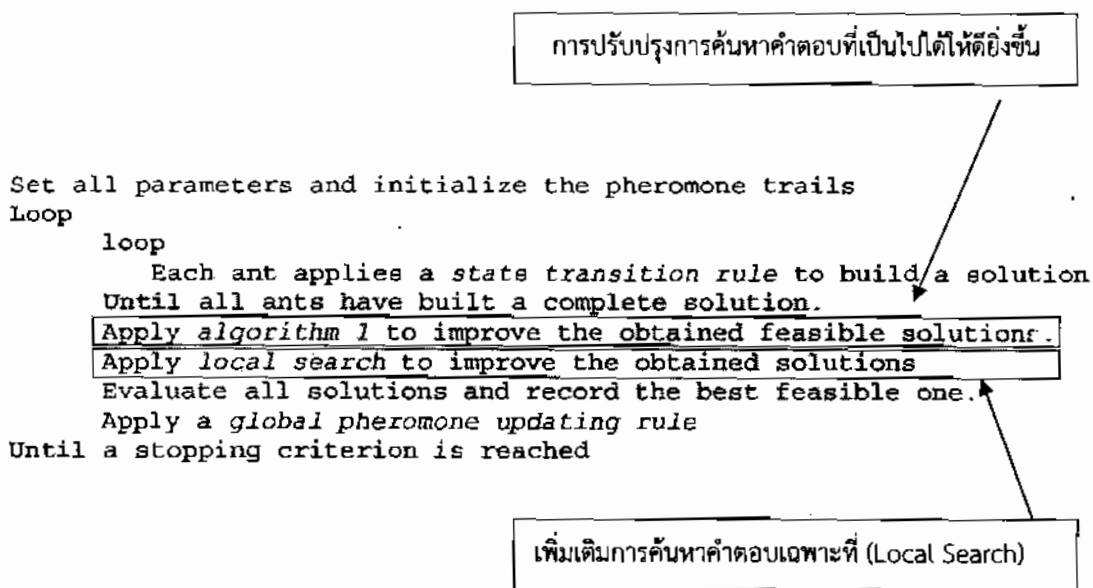
## 2.6 งานวิจัยที่เกี่ยวข้อง

ผู้วิจัยได้ศึกษางานวิจัยที่เกี่ยวข้องกับการปรับปรุงอัลกอริทึมผุ่ง猛และรูปแบบปัญหา การหาค่าความน่าเชื่อถือที่เหมาะสมที่สุดของระบบอนุกรมตามข้อจำกัดที่มีหลายทางเลือก โดยสรุป งานวิจัยได้ดังนี้

2.6.1 งานวิจัยเรื่อง Quantized hopfield networks for reliability optimization [19] เป็นการนำโครงข่ายไปประสาทเทียมมาใช้ในการแก้ปัญหาความน่าเชื่อถือสำหรับระบบอนุกรม ตามข้อจำกัดที่มีหลายทางเลือกภายใต้เงื่อนไขที่ตั้งไว้ ซึ่งการออกแบบโครงข่ายประสาทเทียม ในการแก้ปัญหานี้ร่วมกับโครงข่าย Hopfield ผลลัพธ์การค้นหาสามารถค้นหาคำตอบที่เหมาะสมได้และ รวดเร็วมากกว่าโครงข่าย Hopfield แบบอื่น ๆ แต่เนื่องจากเป็นจุดเริ่มต้นงานวิจัยด้านนี้จึงมีจำนวน ตัวแปรเมตาอิวาริสติกในการตัดสินใจยังไม่มากนัก



2.6.2 งานวิจัยเรื่อง Ant system for reliability optimization of a series system with multiple-choice and budget constraints [16] เป็นการปรับปรุงอัลกอริทึมระบบดังเพื่อแก้ปัญหาความน่าเชื่อถือสำหรับระบบอนุกรมตามข้อจำกัดที่มีหลายทางเลือกวิธีได้แก่ โดยการปรับปรุงอัลกอริทึมของผู้วิจัยได้มีการปรับปรุงอัลกอริทึมการค้นหาคำตอบที่เป็นไปได้ให้ดียิ่งขึ้น และเพิ่มเติมการค้นหาคำตอบเฉพาะที่ (Local Search) ให้กับอัลกอริทึมการค้นหาระบบดังสรุปได้ดังภาพประกอบ 9



ภาพประกอบ 9 รหัสเพิ่มการปรับปรุงอัลกอริทึมผู้บุญมด [16]

โดยงานวิจัยนี้ได้นำเสนอชุดข้อมูลตัวอย่างในการทดสอบประสิทธิภาพของอัลกอริทึมนี้ มีจำนวนตัวแปรเมตาอิวาริสติกในการตัดสินใจจำนวนที่มากกว่างานวิจัยที่ใช้โครงข่ายประสาทเทียมร่วมกับโครงข่าย Hopfield และผลลัพธ์ของการค้นหาพบว่า สามารถค้นหาคำตอบที่เหมาะสมได้อย่างรวดเร็วและมีประสิทธิภาพสูง

2.6.3 งานวิจัยเรื่อง Reliability optimization of a series system with multiple-choice and budget constraints using an efficient ant colony approach [17] เป็นการปรับปรุงอัลกอริทึมผู้บุญมดเพื่อแก้ปัญหาความน่าเชื่อถือสำหรับระบบอนุกรมตามข้อจำกัดที่มีหลายทางเลือกวิธีได้แก่ โดยการปรับปรุงอัลกอริทึมผู้บุญมดของผู้วิจัยได้มีการปรับปรุงอัลกอริทึมการค้นหาคำตอบที่เป็นไปได้ให้ดียิ่งขึ้น (ดังภาพประกอบ 10 ในส่วน Algorithm 2) ได้มีการเพิ่มเติมการค้นหาคำตอบเฉพาะที่ (Local Search) และการปรับปรุงฟีโรโมนเฉพาะที่ (Local pheromone update) ซึ่งปกติอัลกอริทึมผู้บุญมดจะมีเฉพาะการปรับปรุงฟีโรโมนแบบกว้าง (Global



pheromone update) เท่านั้น ดังภาพประกอบ 10 นอกจากนี้ได้มีการปรับแต่งกฎการเปลี่ยนสถานะ โดยใช้ฟังก์ชันเพิ่มเติมเข้าไป

- Step 1. The pheromone trails and the parameters are set.
- Step 2. The following procedures are iterated Max\_iter (an integer parameter) times:
  - Step 2.1. The following actions are iterated Ant\_size (an integer parameter) times:
    - A. A solution is constructed by repeatedly applying the transition rule.
    - B. If the solution is infeasible, it is replaced by a feasible one using Algorithm 2.
    - C. If it is possible, the solution is improved by Algorithm 3, i.e., the local search procedure.
    - D. The pheromone trails related to the chosen technologies are finally modified according to the local updating rule.
  - Step 2.2. The pheromone trails are modified according to the global updating rule.

ภาพประกอบ 10 รหัสเทียมการปรับปรุงอัลกอริทึมผุ่งมดร่วมกับฟังก์ชันเพิ่มเติม [17]

โดยงานวิจัยนี้ได้นำเสนอชุดข้อมูลตัวอย่างที่มีจำนวนตัวแปรเมตาอิวาริสติกในการตัดสินใจเพิ่มเติมจากการทดสอบประสิทธิภาพของการปรับปรุงอัลกอริทึมระบบด้วยรวมถึงได้นำเสนอแบบแผนการทดลองการปรับแต่งฟังก์ชันเพิ่มเติมที่แตกต่างกัน 6 กรณีศึกษา และได้มีการเปรียบเทียบผลการทดลอง ซึ่งผลลัพธ์ของการค้นหาส่วนใหญ่พบว่าสามารถค้นหาคำตอบที่เหมาะสมได้อย่างรวดเร็วและมีประสิทธิภาพสูงกว่างานวิจัยการปรับปรุงอัลกอริทึมระบบด้วยตัวต่อตัว

**2.6.4 งานวิจัยเรื่อง Reliability optimization of topology communication network design using an improved ant colony optimization [47]** การนำเสนองานวิจัยที่เกี่ยวข้องนี้จะได้นำเสนอในประเด็นด้านการปรับปรุงอัลกอริทึมผุ่งมดเพื่อแก้ปัญหาความน่าเชื่อถือโดยมีจุดเด่นของการปรับปรุงคือการใช้เทคนิคการค้นหาคำตอบจากบริเวณพื้นที่ใกล้เคียง (Neighborhood Search) ซึ่งโดยส่วนใหญ่จะใช้การค้นหาคำตอบเฉพาะที่ (Local Search) เพื่อให้ปรับปรุงอัลกอริทึมให้มีประสิทธิภาพสูงขึ้น โดยนอกจากนี้ยังพบว่ามีปรับการตั้งค่ากลับไปเป็นค่าเริ่มต้นของฟีโรโมนใหม่เพื่อพบรากурсการค้นหาคำตอบอาจอยู่ในสภาพของคำตอบเฉพาะที่ (Local optimal) นานเกินไป เพื่อให้มีโอกาสค้นพบคำตอบในระดับกว้าง (Global optimal) ขึ้นไป ทั้งนี้การออกแบบ



และปรับปรุงอัลกอริทึมผู้มุ่งมั่นนี้ ได้ผ่านทดสอบกับฟังก์ชันการทดสอบมาตรฐาน ได้แก่ ฟังก์ชัน Schaffer ฟังก์ชัน Sphere ฟังก์ชัน Rosenbrock ฟังก์ชัน Griewank และฟังก์ชัน Rastrigin ซึ่งผลการทดสอบแสดงให้เห็นว่าสามารถหาคำตอบที่เหมาะสมได้

2.6.5 งานวิจัยเรื่อง Energy-aware scheduling using Hybrid Algorithm for cloud computing [54] การนำเสนองานวิจัยที่เกี่ยวข้องนี้จะได้นำเสนอในประเด็นด้านการปรับปรุงอัลกอริทึมผู้มุ่งมั่นกับอัลกอริทึมการค้นหาแบบนกตุเหว่า ซึ่งมีการปรับปรุงโดยการใช้อัลกอริทึมการค้นหาแบบนกตุเหว่าแทนที่การค้นหาคำตอบที่ (Local Search) ทั้งนี้งานวิจัยดังกล่าวยังไม่ได้แสดงให้เห็นถึงฟังก์ชันการทดสอบมาตรฐานทั่วไป แต่สามารถประยุกต์ใช้แก้ปัญหาที่นำเสนอได้

จากการศึกษาปริทัศน์เอกสารข้อมูลและงานวิจัยที่เกี่ยวข้องเพื่อเป็นแนวทางในการนำเสนอการปรับปรุงอัลกอริทึมผู้มุ่งมั่นโดยใช้อัลกอริทึมการค้นหาแบบนกตุเหว่าสำหรับระบบอนุกรม สำหรับแก้ปัญหาการหาค่าความน่าเชื่อถือที่เหมาะสมที่สุดของระบบอนุกรมตามข้อจำกัดที่มีหลายทางเลือก และงบประมาณ ผู้วิจัยจะได้นำเสนอขั้นตอนวิธีต่าง ๆ ในบทที่ 3 ต่อไป



### บทที่ 3

#### วิธีดำเนินการวิจัย

ขั้นตอนการออกแบบและการปรับปรุงอัลกอริทึมผุ่งดเพื่อใช้แก้ปัญหาที่ต้องการค่าความน่าเชื่อถือที่เหมาะสมที่สุดสำหรับระบบอนุกรมตามข้อจำกัดที่มีหลายทางเลือกและงบประมาณ มีดังนี้

#### 3.1 พังก์ชันวัตถุประสงค์

พิจารณาระบบอนุกรมหนึ่งระบบที่มี  $g$  ระบบย่อย โดยแต่ละระบบย่อยจะต้องคัดเลือกเทคโนโลยีซึ่งมีหลายทางเลือกมาเพียงหนึ่งเทคโนโลยี แล้วนำมาประกอบกันให้ระบบอนุกรมทั้งระบบมีค่าความน่าเชื่อถือสูงสุดตามการจำกัดด้วยเงื่อนไขงบประมาณที่ตั้งไว้ ซึ่งเทคโนโลยีที่ระบบย่อยคัดเลือกนั้นจะมีค่าความน่าเชื่อถือที่แปรตามราคา สามารถกำหนดปัญหาเป็นสมการทางคณิตศาสตร์และมีสัญลักษณ์บางตัวที่จะนำเสนอให้ทราบก่อนดังนี้

$g$  แทน จำนวนระบบย่อย

$N_i$  แทน จำนวนเทคโนโลยีที่มีหลายทางเลือกสำหรับระบบย่อย  $i$

$C_{ij}$  แทน ราคาต้นทุนของเทคโนโลยี  $j$  ที่ระบบย่อย  $i$  เลือกใช้

$R_{ij}$  แทน ค่าความน่าเชื่อถือของเทคโนโลยี  $j$  ที่ระบบย่อย  $i$  เลือกใช้

$R_{sys}$  แทน ค่าความน่าเชื่อถือของระบบอนุกรมทั้งระบบ

$B$  แทน งบประมาณที่ตั้งไว้

กำหนดตัวแปรที่ใช้ตัดสินใจ  $X_{ij}$  ( $i = 1, 2, \dots, g$  และ  $j = 1, 2, \dots, N_i$ ) ดังนี้:

$$X_{ij} = \begin{cases} 1 & \text{ถ้าระบบย่อย } i \text{ เลือกใช้เทคโนโลยี } j \\ 0 & \text{ถ้าเป็นอย่างอื่น} \end{cases}$$

กำหนดพังก์ชันวัตถุประสงค์ในแก้ปัญหาการหาค่าเหมาะสมที่สุดของความน่าเชื่อถือของระบบอนุกรมเป็นแบบจำนวนเต็มในนารีด้วยพังก์ชันวัตถุประสงค์ไม่เชิงเส้น (Binary integer programming problem with nonlinear objective function) ได้ดังสมการต่อไปนี้



$$\text{maximize } R_{sys} = \prod_{i=1}^n \left( \sum_{j=1}^{N_i} X_{ij} R_{ij} \right) \quad (3.1)$$

$$\text{Subject to } \sum_{i=1}^n \sum_{j=1}^{N_i} X_{ij} C_{ij} \leq B \quad (3.2)$$

$$\sum_{j=1}^{N_i} X_{ij} = 1, \quad \forall i = 1, 2, \dots, n \quad (3.3)$$

$$X_{ij} = \{0,1\}, \quad \forall i = 1, 2, \dots, n \text{ และ } j = 1, 2, \dots, N_i \quad (3.4)$$

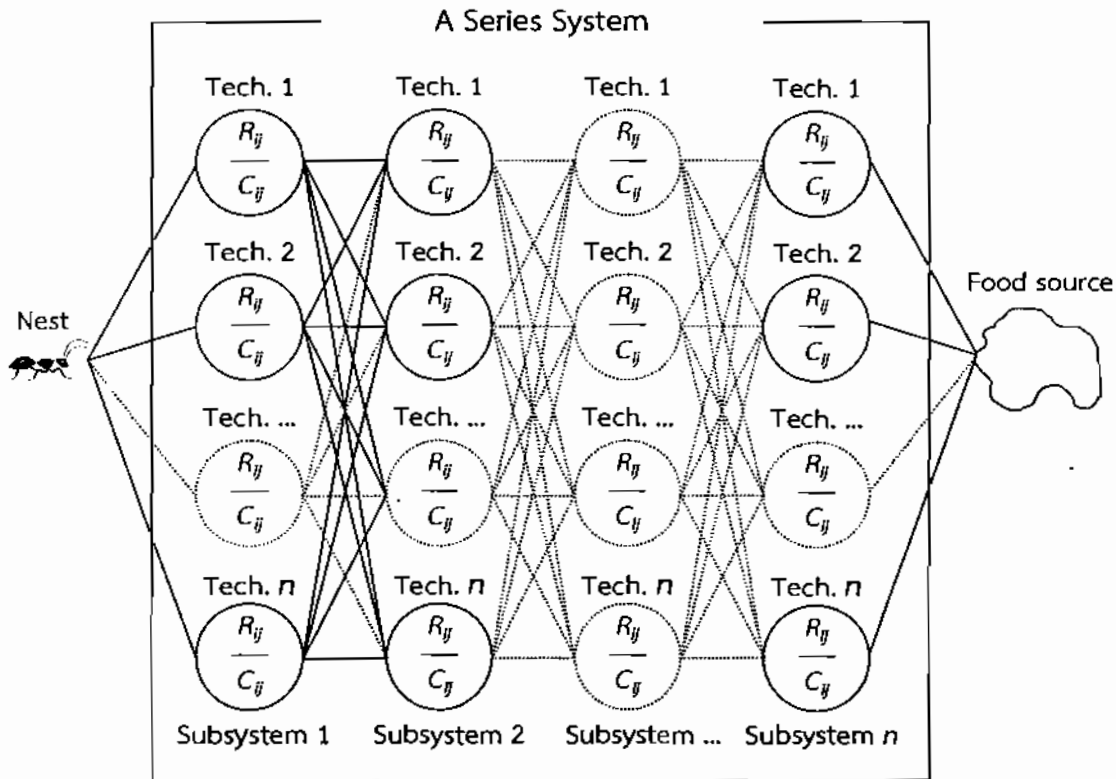
จากสมการที่ 3.2 คือ เงื่อนไขตามงบประมาณที่กำหนด แทนด้วย  $B$  กำหนดค่าเป็นจำนวนเต็ม เงื่อนไขตามสมการที่ 3.3 คือ เทคโนโลยีที่มีหลายทางเลือกสำหรับระบบอยู่หนึ่ง ฯ และสมการ 3.4 คือ การกำหนดตัวแปรที่ใช้ตัดสินใจ และเมื่อชุดคำตอบเป็นไปตามข้อจำกัดทั้งหมดจะเรียกว่า ชุดคำตอบที่มีความเป็นไปได้ ถ้าเป็นอย่างอื่น คือ ชุดคำตอบที่เป็นไปไม่ได้

### 3.2 การปรับปรุงอัลกอริทึมผู้มุ่งมด

#### 3.2.1 ภาพรวมการออกแบบและปรับปรุงอัลกอริทึมสำหรับระบบอนุกรรມ

การประยุกต์ใช้อัลกอริทึมกับการแก้ปัญหาการหาค่าเหมาะสมที่สุดเชิงการจัด (Combinatorial Optimization Problem) ลักษณะของปัญหางจะแทนด้วย เซตของ  $G = (N, E)$  เมื่อ  $N$  คือ เซตของโหนดที่มีอยู่ในระบบ และ  $E$  คือ กลุ่ม เซตของ node ที่มีด้านที่เชื่อมต่อกัน ซึ่งเมื่อนำมาประยุกต์เข้ากับปัญหานี้ เซตของโหนดจะแทนด้วยระบบย่อย (Subsystem) และเซตของ  $E$  จะแทนด้วยกลุ่มเซตของเทคโนโลยีที่มีระบบย่อยสามารถคัดเลือกนำไปใช้ได้ โดยเขียนเป็นแบบจำลองเส้นทางระหว่างรังมดกับแหล่งอาหาร แสดงดังภาพประกอบ 11





ภาพประกอบ 11 แบบจำลองเส้นทางระหว่างรังมดกับแหล่งอาหาร

### 3.2.2 การปรับปรุงอัลกอริทึมผุ่งมดโดยใช้วิธีการคันหาพื้นที่โกล์เดียง (ACO2SWAP)

ขั้นตอนวิธีการทำงานของอัลกอริทึมผุ่งมดที่ปรับปรุงใหม่ ตามภาพประกอบ 12 มีรายละเอียดดังนี้

ขั้นตอนที่ 1 ตั้งค่าเริ่มต้น ได้แก่ พีโรเมนเริ่มต้น, อัตราการระเหยของพีโรเมน, ปริมาณการคันหาเริ่มต้น, จำนวนมดที่ใช้คันหา, จำนวนรอบที่ใช้คันหาสูงสุด และพารามิเตอร์ที่จำเป็นอื่น ๆ

ขั้นตอนที่ 2 กฎทุกตัวสร้างชุดคำตอบโดยใช้กฎการเปลี่ยนสถานะ (State transition rule) ซึ่งมดทุกตัวในผุ่งจะสร้างชุดคำตอบที่เป็นไปได้โดยอาศัยความน่าจะเป็นในการเลือกเส้นทาง ตามสมการที่ 3.5 หรือในที่นี้ คือ กฎแต่ละตัวจะทำการสุ่มเลือกเทคโนโลยีที่เป็นไปได้ให้กับระบบย่อย

$$P_{ij}^k(t) = \frac{[\tau_{ij}(t)]^\alpha [\eta_{ij}]^\beta}{\sum_{m=1}^{N_j} [\tau_{im}(t)]^\alpha [\eta_{im}]^\beta} \quad (3.5)$$



เมื่อ $\tau$	คือ ความหนาแน่นของพิโรโนน
$\alpha, \beta$	คือ ค่าคงที่ใช้ปรับค่า
$m$	คือ จำนวนของมดที่ใช้ในการค้นหา
$\eta_{ij}$	คือ ข้อมูลอิวาริสติก ระหว่างระบบย่อย แทนด้วย $i$ และเทคโนโลยี แทนด้วย $j$ ตามลำดับ ซึ่งการหาค่าข้อมูลอิวาริสติกสำหรับ ปัญหานี้ จะใช้สมการที่ 3.6

$$\eta_{ij} = \frac{R_{ij}}{C_{ij}} \quad (3.6)$$

เมื่อ  $R_{ij}$  และ  $C_{ij}$  แทนด้วย ความน่าเชื่อถือและราคាដันทุน ตามลำดับ

ขั้นตอนที่ 3 อัลกอริทึมคัดเลือกชุดคำตอบที่ดีที่สุดภายใต้ข้อจำกัด หลังจากนั้น ทุกตัว ในฝูงสร้างชุดคำตอบเสร็จเรียบร้อยแล้ว อัลกอริทึมนี้จะนำหน้าที่ประเมินคำตอบที่ได้และคัดเลือก เนพาะชุดคำตอบที่มีผลลัพธ์ของราคាដันทุนน่าเกินที่ตั้งไว้ โดยสรุปขั้นตอนวิธีอยู่ได้ดังนี้

ขั้นตอนย่อยที่ 3.1: ประเมินคำตอบที่ได้ทั้งค่าความน่าเชื่อถือและราคាដันทุน

ขั้นตอนย่อยที่ 3.2: คัดเลือกเฉพาะชุดคำตอบที่มีความเป็นไปได้

ขั้นตอนย่อยที่ 3.3: จัดเรียงชุดคำตอบที่มีค่าความน่าเชื่อถือมากสุดไปหน้าอย่างสุด

ขั้นตอนย่อยที่ 3.4: คัดเลือกชุดคำตอบที่มีค่าความน่าเชื่อถือสูงสุดจัดเก็บใน

หน่วยความจำ

ขั้นตอนที่ 4 ปรับปรุงผลลัพธ์ด้วยการค้นหาคำตอบจากบริเวณพื้นที่ใกล้เคียง

(Neighborhood Search) เป็นวิธีการเปลี่ยนสลับคู่ (SWAP) ของเทคโนโลยีที่ได้รับการเลือกแล้วโดยใช้ คุณใกล้เคียงอื่น ๆ ซึ่งในแต่ละระบบย่อย เทคโนโลยีจะเป็นดัชนีที่เรียงลำดับตามค่าความน่าเชื่อถือ เช่น ชุดคำตอบ  $S = \{a, b, c, \dots\}$  จะหมายถึง ค่าดัชนี  $a$  จะแทนด้วยเทคโนโลยีที่ระบบย่อยที่ 1 เลือกใช้, ค่าดัชนี  $b$  จะแทนด้วยเทคโนโลยีที่ระบบย่อยที่ 2 เลือกใช้ และค่าดัชนี  $c$  จะแทนด้วยเทคโนโลยีที่ระบบย่อยที่ 3 เลือกใช้ เป็นต้น เมื่อพิจารณาจากตัวอย่างระบบอนุกรมที่ประกอบด้วย 3 ระบบย่อย และมี 8 เทคโนโลยีที่สามารถเลือกใช้ได้ โดยสมมติว่าการแก้ปัญหาที่ได้ในรอบนี้ คือ  $S = \{4, 1, 6\}$  การค้นหา ในบริเวณพื้นที่ใกล้เคียงจะมีการประเมินชุดคำตอบ ดังต่อไปนี้

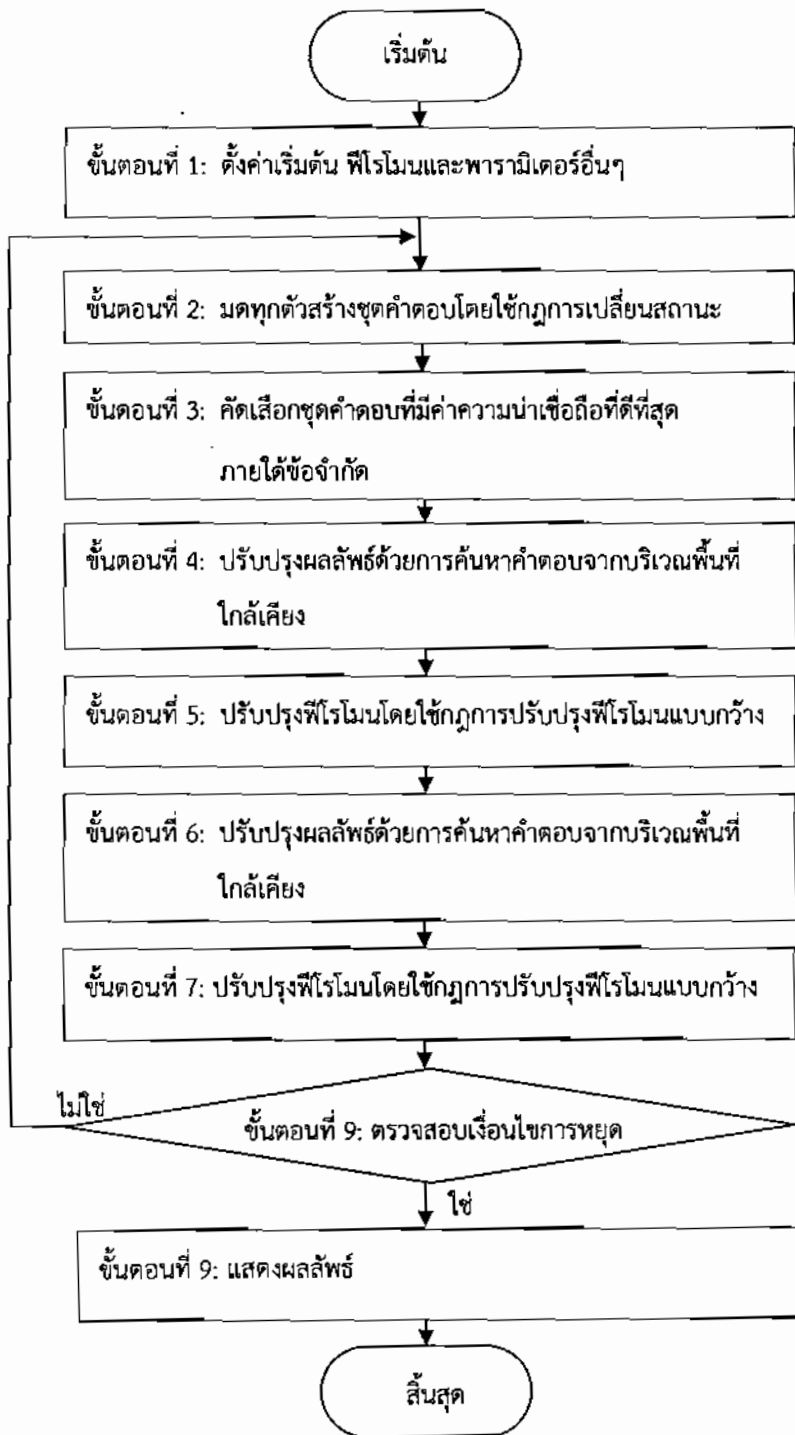
$$S = \{3, 1, 6\}; S = \{5, 1, 6\}; S = \{4, 1, 6\};$$

$$S = \{4, 2, 6\}; S = \{4, 1, 7\}; S = \{4, 1, 5\};$$

\*กำหนดให้มีค่าคงเดิมเนื่องจากอาจเป็นค่าสูงสุดหรือต่ำสุดของเทคโนโลยีที่สามารถเลือกใช้ได้



ในทุกชุดคำตอบจะได้รับการประเมินผลลัพธ์ทั้งค่าความน่าเชื่อถือและราคากันทุน โดยเมื่อพิจารณาแล้วว่ามีชุดคำตอบที่มีความเป็นไปได้ หรือในที่นี้คือ มีชุดคำตอบที่มีค่าความน่าเชื่อถือสูงกว่า ชุดคำตอบเดิม ชุดคำตอบใหม่นี้จะถูกแทนที่ชุดคำตอบเดิม แต่ถ้าไม่อยากว่าจะยังคงใช้ชุดคำตอบเดิม จากขั้นตอนที่ 3



ภาพประกอบ 12 ผังงานอัลกอริทึมผู้มุ่งมุ่นที่ปรับปรุงใหม่โดยใช้ธีการค้นหาพื้นที่ใกล้เคียง



ขั้นตอนที่ 5 ปรับปรุงฟีโรมอนโดยใช้กฎการปรับปรุงฟีโรมอนแบบกว้าง (Global pheromone update rule) โดยในแต่ละรอบของการค้นหา ชุดคำตอบที่ได้นั้นจะยังไม่สามารถรับประทานได้ว่าผลลัพธ์ที่ได้มีค่าเหมาะสมที่สุดเป็นไปตามเงื่อนไขที่ต้องการหรือยัง จึงได้มีการปรับปรุงฟีโรมอนแบบกว้าง กล่าวคือ ถ้าชุดคำตอบที่ได้มีผลลัพธ์ที่ดีขึ้น ก็จะปรับปรุงความหนาแน่นของฟีโรมอนให้มีค่ามากขึ้น แต่ถ้าชุดคำตอบที่ได้มีผลลัพธ์ไม่ดีขึ้นก็จะปรับปรุงความหนาแน่นของฟีโรมอนเพียงเล็กน้อย ซึ่งการปรับปรุงความหนาแน่นของฟีโรมอน หาได้จาก

$$\tau_{ij}(t) = (1 - \rho) \cdot \tau_{ij}(t-1) + \Delta\tau_{ij} \quad (3.7)$$

เมื่อ  $\Delta\tau_{ij}$  หาได้จาก

$$\Delta\tau_{ij} = \sum_{k=1}^m \Delta\tau_{ij}^k \quad (3.8)$$

เมื่อ  $k$  คือ จำนวนเดินทาง แล้ว  $\Delta\tau_{ij}^k$  หาได้จาก

$$\Delta\tau_{ij}^k = \begin{cases} 1 & \text{if } k^{\text{th}} \text{ ant chooses path} \\ 0 & \text{Otherwise} \end{cases} \quad (3.9)$$

ขั้นตอนที่ 6 ปรับปรุงผลลัพธ์ด้วยการค้นหาคำตอบจากบริเวณพื้นที่ใกล้เคียงอีกรั้ง โดยเมื่อพบว่า ชุดคำตอบที่มีความเป็นไปมีค่าความน่าเชื่อถือสูงกว่าชุดคำตอบเดิม ชุดคำตอบใหม่นี้ จะถูกแทนที่ชุดคำตอบเดิม แต่ถ้าน้อยกว่าจะยังคงใช้ชุดคำตอบเดิมจากขั้นตอนที่ 4

ขั้นตอนที่ 7 ปรับปรุงฟีโรมอนโดยใช้กฎการปรับปรุงฟีโรมอนแบบกว้างอีกรั้ง ทั้งนี้ เพื่อให้ความหนาแน่นของฟีโรมอนมีค่ามากขึ้น ถ้าหากคำตอบในขั้นตอนที่ 6 มีค่าดีขึ้นกว่าเดิม

ขั้นตอนที่ 8 หยุดทำงาน เมื่อเงื่อนไขเป็นจริง ในที่นี้คือ จำนวนรอบในการค้นหาสูงสุด ตามที่กำหนดไว้ หากยังไม่เป็นจริงจะย้อนกลับไปยังขั้นตอนที่ 2

ขั้นตอนที่ 9 แสดงผลลัพธ์ ได้แก่ ชุดคำตอบที่มีค่าความน่าเชื่อถือเหมาะสมที่สุด, ค่าความน่าเชื่อถือเหมาะสมที่สุด และราคาดันทุนรวม

### 3.2.3 การปรับปรุงอัลกอริทึมผุ่งมดโดยใช้เลวีไฟล์ (ACO-Lévy flight)

การออกแบบจะใช้หลักการเลวีไฟล์ (Lévy flight) แทนที่การค้นหาผลลัพธ์ที่ดีขึ้นจากพื้นที่ใกล้เคียง ตามที่ได้นำเสนอในหัวข้อ 3.2.2 (ขั้นตอนที่ 4-6) ซึ่งการเคลื่อนที่แบบสุ่มของเลวีไฟล์



ตามสมการที่ 3.10 - 3.13 จะเป็นสุ่มหาค่าชุดคำตอบ (Solution) ชุดใหม่จากคัดเลือกชุดคำตอบที่มีค่าความน่าเชื่อถือที่ดีที่สุดภายใต้ข้อจำกัดก่อนหน้า

$$S_i^{(t+1)} = S_i^{(t)} + \alpha \cdot Step.(S_i^{(t)} - S_{best}^{(t)}) \cdot r \quad (3.10)$$

เมื่อ  $S_i^{(t)}$  คือลำดับที่  $i$  ของชุดคำตอบในปัจจุบัน,  $\alpha$  คือ ค่าพารามิเตอร์สำหรับปรับแต่งการเคลื่อนที่ของเลวีไฟล์;  $r$  คือ เลขสุ่มที่มีการแจกแจงปกติแบบมาตรฐาน (Standard normal distribution),  $S_{best}$  คือ ชุดคำตอบที่มีค่าดีที่สุดของรอบการค้นหานั้น ๆ และตัวแปร  $Step$  คือ การเคลื่อนที่แบบสุ่มของเลวีไฟล์ ดังสมการที่ 3.11

$$Step = \frac{u}{|v|^{1/\beta}} \quad (3.11)$$

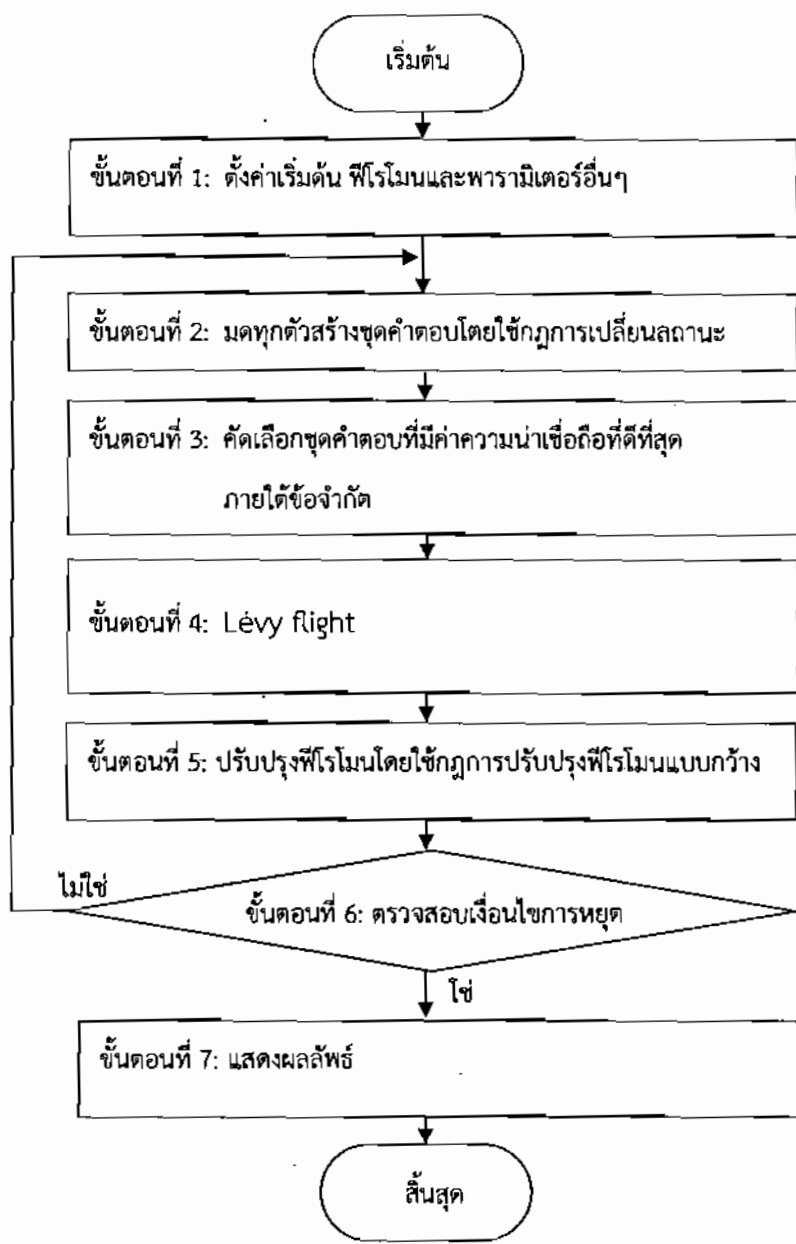
เมื่อ  $\beta$  คือ ค่าพารามิเตอร์ที่ใช้ควบคุมการกระจายตัวแบบเลวีไฟล์ มีค่าอยู่ในช่วง  $0 < \beta < 2$ ;  $u$  และ  $v$  คือ ค่าสัดส่วนเส้นทางการเคลื่อนที่ หาได้จากสมการที่ 3.12 และ 3.13

$$u \sim N(0, \sigma_u^2), \quad v \sim N(0, \sigma_v^2) \quad (3.12)$$

$$\sigma_u = \left\{ \frac{\Gamma(1+\beta) \sin(\pi\beta/2)}{\Gamma[(1+\beta)/2] \beta \cdot 2^{(\beta-1)/2}} \right\}^{1/\beta}, \quad \sigma_v = 1 \quad (3.13)$$

เมื่อ  $\Gamma$  เป็นฟังก์ชันแกมมาที่เป็นส่วนขยายของฟังก์ชัน แฟกทอเรียลบนจำนวนเชิงซ้อน จากนั้นประเมินคุณภาพของรังทุกรังจากฟังก์ชันวัดคุณภาพสัมฤทธิ์ แล้วคัดเลือกรังที่มีค่าตอบที่ดีที่สุดบันทึกค่าไว้ ดำเนินการต่อในขั้นต่อไป การออกแบบแสดงในผังงานอัลกอริทึมผุงมดที่ปรับปรุงใหม่โดยใช้หลักการเลวีไฟล์ ตามภาพประกอบ 13



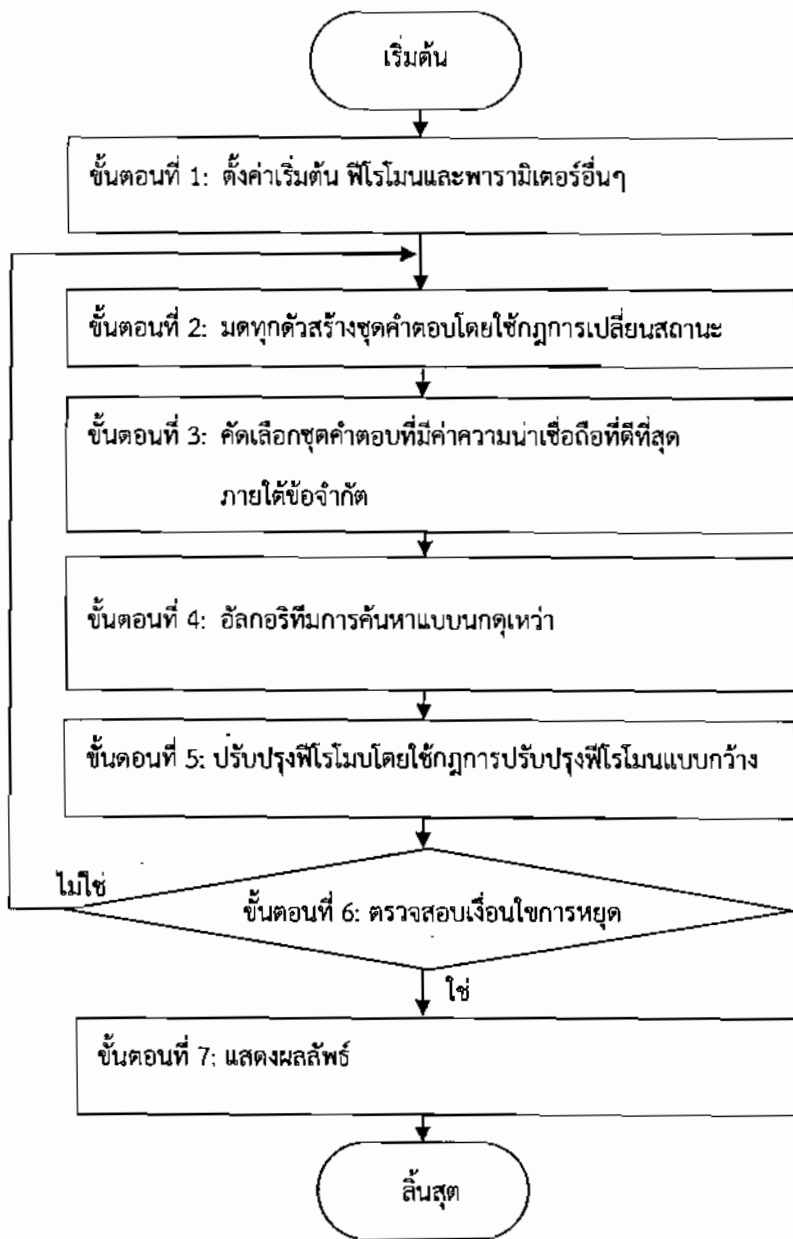


ภาพประกอบ 13 ผังงานอัลกอริทึมผุ่งمدที่ปรับปรุงใหม่โดยใช้หลักการเล维ไฟล์ท

#### 3.2.4 การปรับปรุงอัลกอริทึมผุ่งمدร่วมกับอัลกอริทึมการค้นหาแบบบกดใหญ่ (Hybrid ACO-CS)

การออกแบบจะใช้อัลกอริทึมการค้นหาแบบบกดใหญ่แทนที่การค้นหาผลลัพธ์ที่ได้ขึ้นจากพื้นที่ใกล้เคียงตามที่ได้นำเสนอในหัวข้อ 3.2.2 (ขั้นตอนที่ 4-6) ซึ่งเป็นการรวมกันระหว่างอัลกอริทึมผุ่งมดกับอัลกอริทึมการค้นหาแบบบกดใหญ่เข้าด้วยกัน โดยภาพรวมการออกแบบแสดงในผังงานตามภาพประกอบ 14





ภาพประกอบ 14 ผังงานการปรับปรุงอัลกอริทึมผุงมดร่วมกับอัลกอริทึมการค้นหาแบบบกตุเทว่า

### 3.3 การทดสอบประสิทธิภาพของอัลกอริทึม

#### 3.3.1 การทดสอบประสิทธิภาพของอัลกอริทึมโดยใช้ฟังก์ชันทดสอบการหาค่าที่เหมาะสม

3.3.1.1 ฟังก์ชัน De Jong

3.3.1.2 ฟังก์ชัน Schwefel (Unimodal)

3.3.1.3 ฟังก์ชัน Step



- 3.3.1.4 ฟังก์ชัน Rosenbrock
- 3.3.1.5 ฟังก์ชัน Ackley
- 3.3.1.6 ฟังก์ชัน Rastrigin
- 3.3.1.7 ฟังก์ชัน Griewank
- 3.3.1.8 ฟังก์ชัน Stochastic ของ Kowalik
- 3.3.1.9 ฟังก์ชัน Quartic
- 3.3.1.10 ฟังก์ชัน Shekel's Foxholes

ตาราง 2 สรุปฟังก์ชันทดสอบมาตรฐาน

ฟังก์ชัน	มิติ	ช่วง	ค่าฟังก์ชัน
$f_1(x) = \sum_{i=1}^n x_i^2$	30	[-100,100]	0
$f_2(x) = \sum_{i=1}^n  x_i  + \prod_{i=1}^n  x_i $	30	[-10,10]	0
$f_3(x) = \sum_{i=1}^n ( x_i + 0.5 )^2$	30	[-100,100]	0
$f_4(x) = \sum_{i=1}^{n-1} (100(x_{i+1} - x_i^2)^2 + (x_i - 1)^2)$	30	[-30,30]	0
$f_5(x) = -20 \exp\left(-0.2 \sqrt{\frac{1}{n} \sum_{i=1}^n x_i^2}\right) - \exp\left(\frac{1}{n} \sum_{i=1}^n \cos(2\pi x_i)\right) + 20 + e$	30	[-32,32]	0
$f_6(x) = 10n + \sum_{i=1}^n (x_i^2 - 10 \cos(2\pi x_i))$	30	[-5.12,5.12]	0
$f_7(x) = \sum_{i=1}^n \frac{x_i^2}{4000} - \prod_{i=1}^n \cos\left(\frac{x_i}{\sqrt{i}}\right) + 1$	30	[-600,600]	0
$f_8(x) = \sum_{i=1}^{11} \left[ a_i - \frac{x_1(b_i^2 + b_i x_2)}{b_i^2 + b_i x_3 + x_4} \right]^2$	4	[-5,5]	0.00030



ตาราง 2 (ต่อ)

ฟังก์ชัน	มิติ	ช่วง	ค่าฟังก์ชัน
$f_9(x) = \sum_{i=1}^n ix_i^4 + random[0,1]$	30	[-1.28,1.28]	0
$f_{10}(x) = \left( \frac{1}{500} + \sum_{j=1}^{25} \frac{1}{j + \sum_{i=1}^2 (x_i - a_{ij})^6} \right)$	2	[-65,-65]	1

### 3.3.2 การวิเคราะห์หาค่าพารามิเตอร์ที่เหมาะสมสำหรับอัลกอริทึม

การวิจัยครั้งนี้ดำเนินการทดลองและเก็บข้อมูลเพื่อทดสอบประสิทธิภาพกับระบบอนุกรมตามลำดับดังนี้

3.3.2.1 ค่าพารามิเตอร์ของอัลกอริทึมอัลกอริทึมผุ่งมด หลักการเลวีไฟล์ และ อัลกอริทึมการค้นหาแบบนกคุเหว่า ที่สามารถปรับค่าได้ สรุปได้ดังนี้

ตาราง 3 ค่าพารามิเตอร์ของอัลกอริทึมอัลกอริทึมที่นำเสนอที่สามารถปรับค่าได้

อัลกอริทึมผุ่งมด	เลวีไฟล์	อัลกอริทึมการค้นหาแบบนกคุเหว่า
จำนวนมด	ค่าคงที่ $\alpha$	จำนวนรังนก
ค่าคงที่ $\alpha$	ค่าคงที่ $\beta$	ค่าความน่าจะเป็นในการค้นพบ ( $pa$ )
ค่าคงที่ $\beta$	-	-
ค่าอัตราการระเหยของพีโรโมน ( $\rho$ )	-	-

3.3.2.2 การทดลองและปรับแต่งค่าพารามิเตอร์ที่เหมาะสมสำหรับอัลกอริทึม ACO2SWAP ซึ่งมีลำดับขั้นตอน ดังนี้

1. ทดสอบกับระบบอนุกรณ์ที่มี 15 ระบบอยู่ 60 ตัวแปร เงื่อนไขรวมต้นทุนเท่ากับ \$1000

2. กำหนดค่าพารามิเตอร์คงที่ ได้แก่ จำนวนมด 10 ตัว ค่าอัตราการระเหยของพีโรโมน ( $\rho$ ) เท่ากับ 0.01

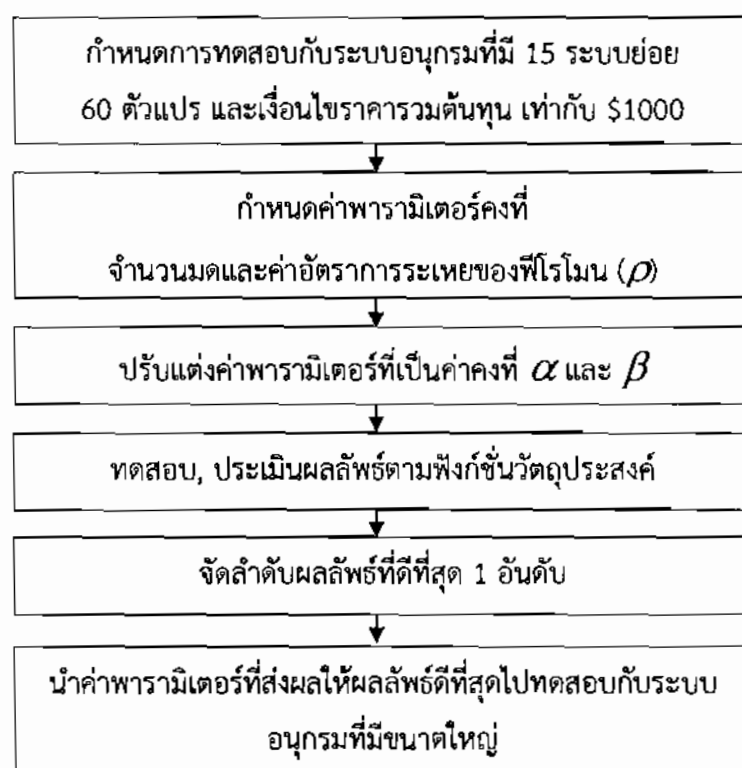
3. ปรับแต่งค่าพารามิเตอร์ที่เป็นค่าคงที่ของอัลกอริทึมผุ่งมด ซึ่งมี 2 ค่า คือ  $\alpha$  เท่ากับ 0.5,0.8,1,2,3,4,5 และ  $\beta$  เท่ากับ 0.5,0.8,1,2,3,4,5 [16]

4. ทดสอบจำนวน 10 ครั้ง และกำหนดจำนวนรอบค้นหาสูงสุด 2,000 รอบ ต่อ 1 ครั้ง



5. ประเมินผลลัพธ์ตามฟังก์ชันวัตถุประสงค์
6. จัดลำดับผลลัพธ์ที่ดีที่สุด 1 อันดับ
7. นำค่าพารามิเตอร์ที่ส่งผลให้ผลลัพธ์ดีที่สุดไปทดสอบกับระบบอนุกรมที่มีขนาดใหญ่และมีตัวแปรตัดสินใจมากขึ้น

สรุปเป็นแผนภาพได้ดังนี้



ภาพประกอบ 15 แผนภาพสรุปแบบแผนการทดลองและปรับแต่งค่าพารามิเตอร์สำหรับอัลกอริทึม ACO2SWAP

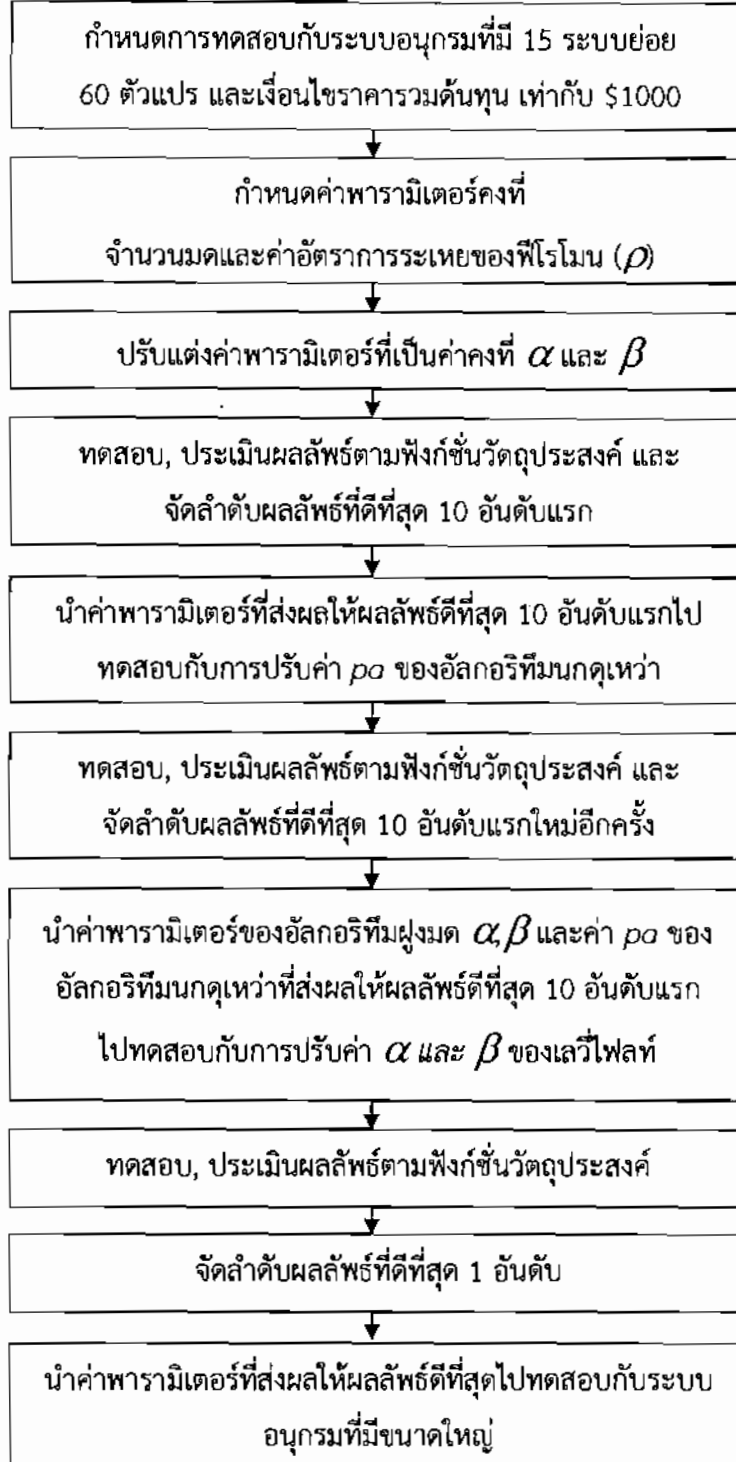
3.3.2.3 การทดลองและปรับแต่งค่าพารามิเตอร์ที่เหมาะสมสำหรับอัลกอริทึม ACO-Lévy flight และ Hybrid ACO-CS ซึ่งมีลำดับขั้นตอน ดังนี้

1. ทดสอบกับระบบอนุกรมที่มี 15 ระบบย่อย 60 ตัวแปร เงื่อนไขรวมต้นทุนเท่ากับ \$1000
2. กำหนดค่าพารามิเตอร์คงที่ที่เกี่ยวข้องกับอัลกอริทึมผุ่งมด ได้แก่ จำนวนมด 10 ตัว ค่าอัตราการระเหยของฟีโรโมน ( $\rho$ ) เท่ากับ 0.01



3. ปรับแต่งค่าพารามิเตอร์ที่เป็นค่าคงที่ของอัลกอริทึมผุ่งมด ซึ่งมี 2 ค่า คือ  $\alpha$  เท่ากับ 0.5,0.8,1,2,3,4,5 และ  $\beta$  เท่ากับ 0.5,0.8,1,2,3,4,5 [16]
    4. ทดสอบ จำนวน 10 ครั้ง และกำหนดจำนวนรอบค้นหาสูงสุด 2,000 รอบ ต่อ 1 ครั้ง
    5. ประเมินผลลัพธ์ตามฟังก์ชันวัดถุประสงค์
    6. จัดลำดับผลลัพธ์ที่ดีที่สุด 10 อันดับแรกไปทดสอบกับการปรับค่าความน่าจะเป็นในการค้นพบ ( $p\alpha$ ) เท่ากับ 0.01, 0.05, 0.1, 0.15, 0.2, 0.25, 0.3, 0.35, 0.4, 0.45, 0.50, 0.55, 0.6, 0.65, 0.7, 0.75, 0.8, 0.85, 0.9, 0.95, 1 ของอัลกอริทึมนกduck เวลา [23],[51]
    7. นำค่าพารามิเตอร์ที่ส่งผลให้ผลลัพธ์ดีที่สุด 10 อันดับแรกไปทดสอบกับการปรับค่าความน่าจะเป็นในการค้นพบ ( $p\alpha$ ) เท่ากับ 0.01, 0.05, 0.1, 0.2, 0.3, 0.4, 0.5, 0.6, 0.7, 0.8, 0.9, 1 และ  $\beta$  เท่ากับ 0.5, 1, 1.5, 2 ของเล维ไฟลท์ (Lévy flight) [23],[51]
    8. ทดสอบจำนวน 10 ครั้ง ประเมินผลลัพธ์ตามฟังก์ชันวัดถุประสงค์
    9. จัดลำดับผลลัพธ์ที่ดีที่สุด 10 อันดับแรกใหม่อีกครั้ง
    - 10.นำค่าพารามิเตอร์ของอัลกอริทึมผุ่งมด  $\alpha, \beta$  และค่าความน่าจะเป็นในการค้นพบ ( $p\alpha$ ) ของอัลกอริทึมนกduck เวลา ที่ส่งผลให้ผลลัพธ์ดีที่สุด 10 อันดับแรกไปทดสอบกับการปรับค่า  $\alpha$  เท่ากับ 0.01, 0.05, 0.1, 0.2, 0.3, 0.4, 0.5, 0.6, 0.7, 0.8, 0.9, 1 และ  $\beta$  เท่ากับ 0.5, 1, 1.5, 2 ของเล维ไฟลท์ (Lévy flight) [23],[51]
    - 11.ทดสอบ จำนวน 10 ครั้ง ประเมินผลลัพธ์ตามฟังก์ชันวัดถุประสงค์
    - 12.จัดลำดับผลลัพธ์ที่ดีที่สุด 1 อันดับ
    - 13.นำค่าพารามิเตอร์ที่ส่งผลให้ผลลัพธ์ดีที่สุดไปทดสอบกับระบบอนุกรมที่มีขนาดใหญ่และมีตัวแปรตัดสินใจมากขึ้นต่อไป
- สรุปเป็นแผนภาพได้ดังนี้





ภาพประกอบ 16 แผนภาพสรุปแบบแผนการทดลองและปรับแต่งค่าพารามิเตอร์สำหรับอัลกอริทึม  
ACO-Lévy flight และ Hybrid ACO-CS



### 3.3.3 ข้อมูลตัวอย่างระบบอนุกรมที่ใช้ทดสอบประสิทธิภาพของอัลกอริทึม

การทดสอบประสิทธิภาพของอัลกอริทึมที่นำเสนอในครั้งนี้ ใช้ข้อมูลตัวอย่างจากงานวิจัยที่ผ่านมา [16-17] รวม 5 ชุดตัวอย่าง ดังแสดงในภาคผนวก

3.3.3.1 ระบบอนุกรมที่มี 15 ระบบย่อยและตัวแปรที่ใช้ในการตัดสินใจ 60 ตัวแปร กำหนดเงื่อนไข ราคาร่วมต้นทุน เท่ากับ \$1000

3.3.3.2 ระบบอนุกรมที่มี 15 ระบบย่อยและตัวแปรที่ใช้ในการตัดสินใจ 80 ตัวแปร กำหนดเงื่อนไข ราคาร่วมต้นทุน \$900

3.3.3.3 ระบบอนุกรมที่มี 15 ระบบย่อยและตัวแปรที่ใช้ในการตัดสินใจ 100 ตัวแปร กำหนดเงื่อนไข ราคาร่วมต้นทุน เท่ากับ \$1000

3.3.3.4 ระบบอนุกรมที่มี 25 ระบบย่อยและตัวแปรที่ใช้ในการตัดสินใจ 166 ตัวแปร กำหนดเงื่อนไข ราคาร่วมต้นทุน เท่ากับ \$1400

3.3.3.5 ระบบอนุกรมที่มี 40 ระบบย่อยและตัวแปรที่ใช้ในการตัดสินใจ 266 ตัวแปร กำหนดเงื่อนไข ราคาร่วมต้นทุน เท่ากับ \$2700

### 3.3.4 กรณีศึกษาในการทดสอบประสิทธิภาพของอัลกอริทึมกับระบบอนุกรม

เมื่อดำเนินการทดลองเพื่อวิเคราะห์หาค่าพารามิเตอร์ที่เหมาะสมสำหรับอัลกอริทึมแต่ละ อัลกอริทึมเสร็จสิ้นแล้ว การทดลองในลำดับต่อไปจะแบ่งเป็นกรณีศึกษา ดังปรากฏในตาราง 4

ตาราง 4 สรุปกรณีศึกษาในการทดสอบประสิทธิภาพของอัลกอริทึมกับระบบอนุกรม

กรณีศึกษา	ระบบอนุกรม	จำนวนตัวแปร	เงื่อนไข ราคาร่วมต้นทุน (\$)	อัลกอริทึม
1	15 ระบบย่อย	60	1,000	ACO2SWAP
				ACO-Lévy flight
				Hybrid ACO-CS
2	15 ระบบย่อย	80	900	ACO2SWAP
				ACO-Lévy flight
				Hybrid ACO-CS
3	15 ระบบย่อย	100	1,000	ACO2SWAP
				ACO-Lévy flight
				Hybrid ACO-CS



ตาราง 4 (ต่อ)

กรณีศึกษา	ระบบอนุกรรม	จำนวนตัวแปร	เงื่อนไขราคาร่วมต้นทุน (\$)	อัลกอริทึม
4	25 ระบบย่อย	166	1,400	ACO2SWAP
				ACO-Lévy flight
				Hybrid ACO-CS
5	40 ระบบย่อย	266	2,700	ACO2SWAP
				ACO-Lévy flight
				Hybrid ACO-CS

### 3.4 การวิเคราะห์ข้อมูล

3.4.1 การวิเคราะห์ข้อมูลเพื่อเปรียบเทียบประสิทธิภาพของอัลกอริทึมใช้สติติค่าเฉลี่ย (Mean) ร้อยละ (Percentage) และส่วนเบี่ยงเบนมาตรฐาน (Standard Deviation)

3.4.2 วิเคราะห์ข้อมูลโดยใช้สติติค่าเฉลี่ยและส่วนเบี่ยงเบนมาตรฐาน จากการประมวลผลการทำงานของอัลกอริทึมที่นำเสนอ โดยทดสอบการทำงาน 10 ครั้ง ในแต่ละชุดข้อมูลตัวอย่าง



## บทที่ 4

### ผลการวิจัย

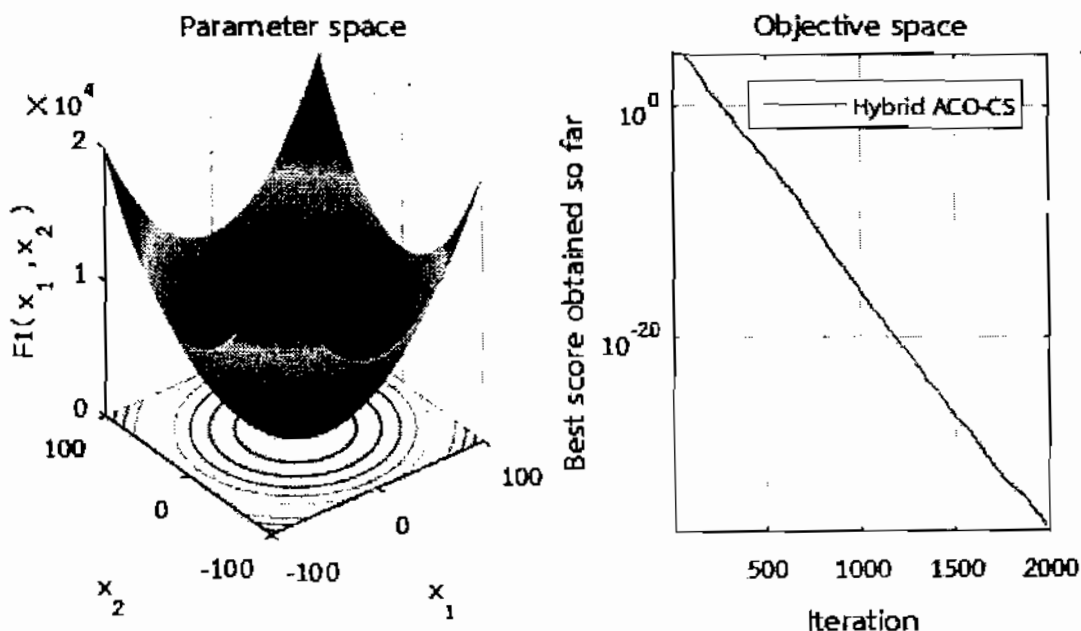
การวิจัยครั้งนี้ได้พัฒนาอัลกอริทึมที่เกิดจากการปรับปรุงขั้นตอนวิธีของอัลกอริทึมผุ่งมดร่วมกับอัลกอริทึมการค้นหาแบบดูเหว่า (Hybrid Ant Colony Optimization Cuckoo Search: Hybrid ACO-CS) เพื่อแก้ปัญหาการหาค่าความน่าเชื่อถือที่เหมาะสมที่สุดสำหรับระบบอนุกรม ซึ่งมีการทดสอบประสิทธิภาพ ดังน้ำเส้นตามลำดับดังนี้

#### 4.1 ผลการทดสอบประสิทธิภาพอัลกอริทึมกับฟังก์ชันทดสอบการหาค่าที่เหมาะสม

##### 4.1.1 ฟังก์ชัน De Jong หรือฟังก์ชัน Sphere

$$f_1(X) = \sum_{i=1}^n X_i^2 \quad (4.1)$$

เมื่อ  $X_i$  มีค่าอยู่ในช่วง [-100,100] และ  $n$  คือ ขนาดของมิติของปัญหา ฟังก์ชันนี้ มีค่าฟังก์ชันต่ำสุดเท่ากับ 0 กราฟและผลการค้นหาแสดงดังภาพประกอบ 16



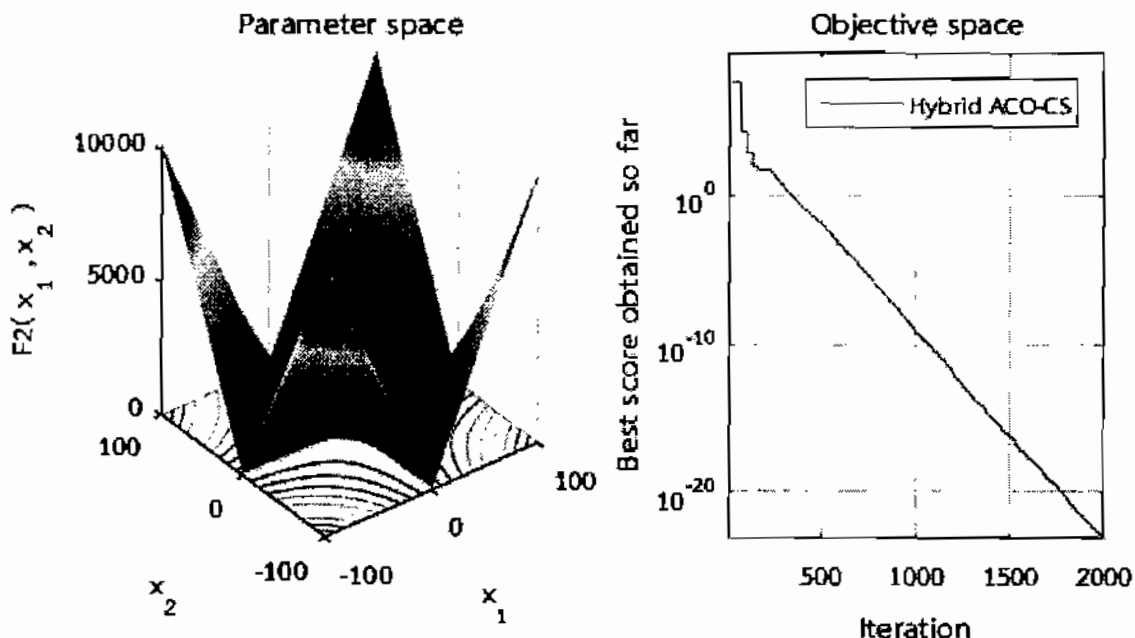
ภาพประกอบ 17 ผลการทดสอบอัลกอริทึมกับฟังก์ชัน Sphere



#### 4.1.2 ฟังก์ชัน Schwefel (Unimodal)

$$f_2(X) = \sum_{i=1}^n |x_i| + \prod_{i=1}^n |x_i| \quad (4.2)$$

เมื่อ  $X_i$  มีค่าอยู่ในช่วง [-10,10] และ  $n$  คือ ขนาดของมิติของปัญหา ฟังก์ชันนี้มีค่าฟังก์ชันต่ำสุดเท่ากับ 0 กราฟและผลการค้นหาแสดงดังภาพประกอบ 17



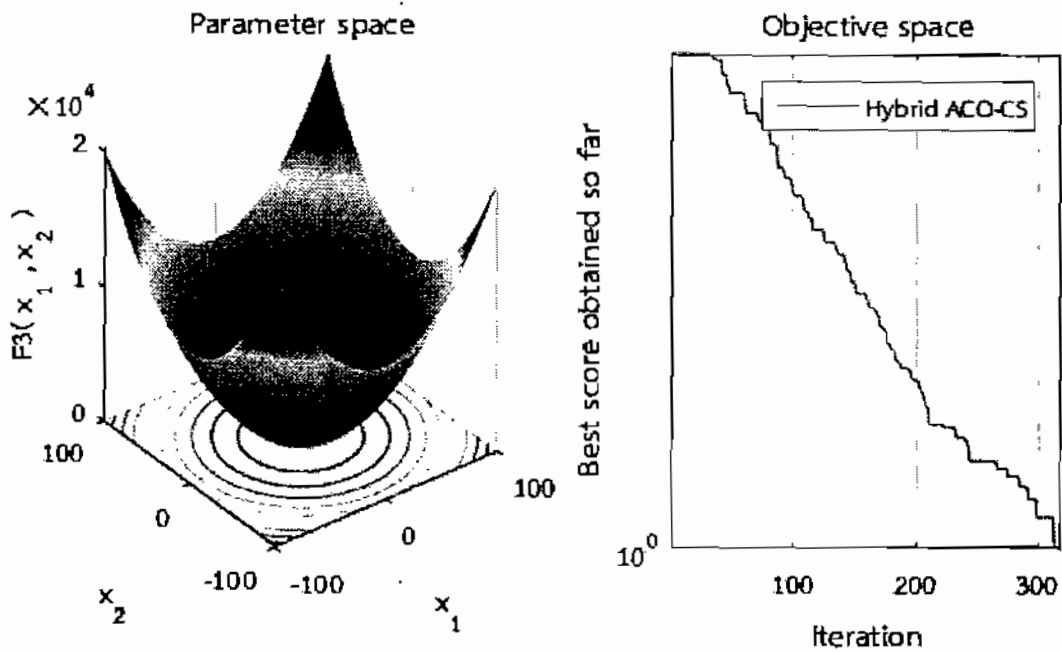
ภาพประกอบ 18 ผลการทดสอบอัลกอริทึมกับฟังก์ชัน Schwefel (Unimodal)

#### 4.1.3 ฟังก์ชัน Step

$$f_3(X) = \sum_{i=1}^n ([x_i + 0.5])^2 \quad (4.3)$$

เมื่อ  $X_i$  มีค่าอยู่ในช่วง [-100,100] และ  $n$  คือ ขนาดของมิติของปัญหา ฟังก์ชันนี้มีค่าฟังก์ชันต่ำสุดเท่ากับ 0 กราฟและผลการค้นหาแสดงดังภาพประกอบ 18





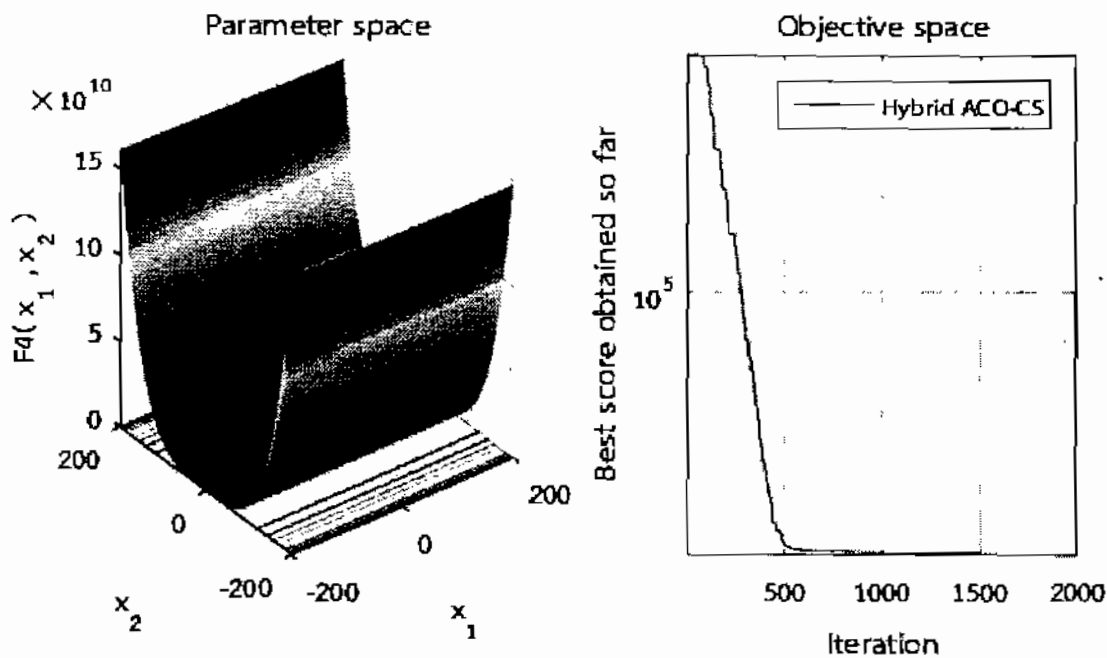
ภาพประกอบ 19 ผลการทดสอบอัลกอริทึมกับฟังก์ชัน Step

#### 4.1.4 ฟังก์ชัน Rosenbrock

$$f_4(X) = \sum_{i=1}^{n-1} (100(X_{i+1} - X_i^2)^2 + (X_i - 1)^2) \quad (4.4)$$

เมื่อ  $X_i$  มีค่าอยู่ในช่วง  $[-30, 30]$  และ  $n$  คือ ขนาดของมิติของปัญหา ฟังก์ชันนี้มีค่าฟังก์ชันต่ำสุดเท่ากับ 0 กราฟและผลการค้นหาแสดงดังภาพประกอบ 19





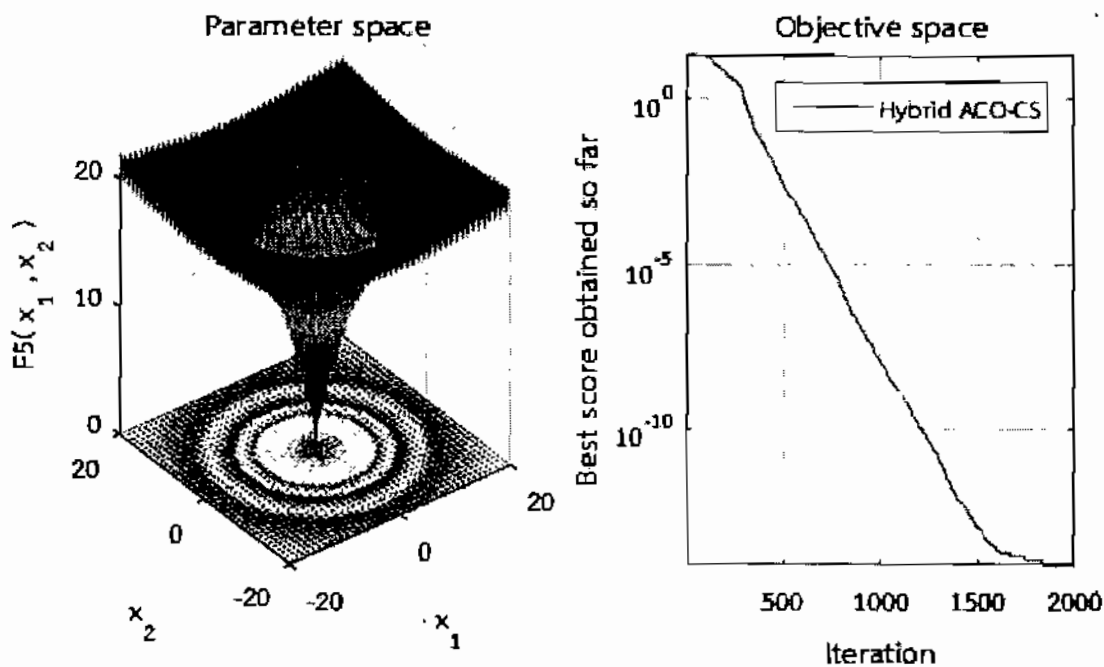
ภาพประกอบ 20 ผลการทดสอบอัลกอริทึมกับฟังก์ชัน Rosenbrock

#### 4.1.5 ฟังก์ชัน Ackley

$$f_5(X) = -20 \exp \left( -0.2 \sqrt{\frac{1}{n} \sum_{i=1}^n X_i^2} \right) - \exp \left( \frac{1}{n} \sum_{i=1}^n \cos(2\pi X_i) \right) + 20 + e \quad (4.5)$$

เมื่อ  $X_i$  มีค่าอยู่ในช่วง [-32,32] และ  $n$  คือ ขนาดของมิติของปัญหา ฟังก์ชันนี้มีค่าฟังก์ชันต่ำสุดเท่ากับ 0 กราฟและผลการค้นหาแสดงดังภาพประกอบ 20



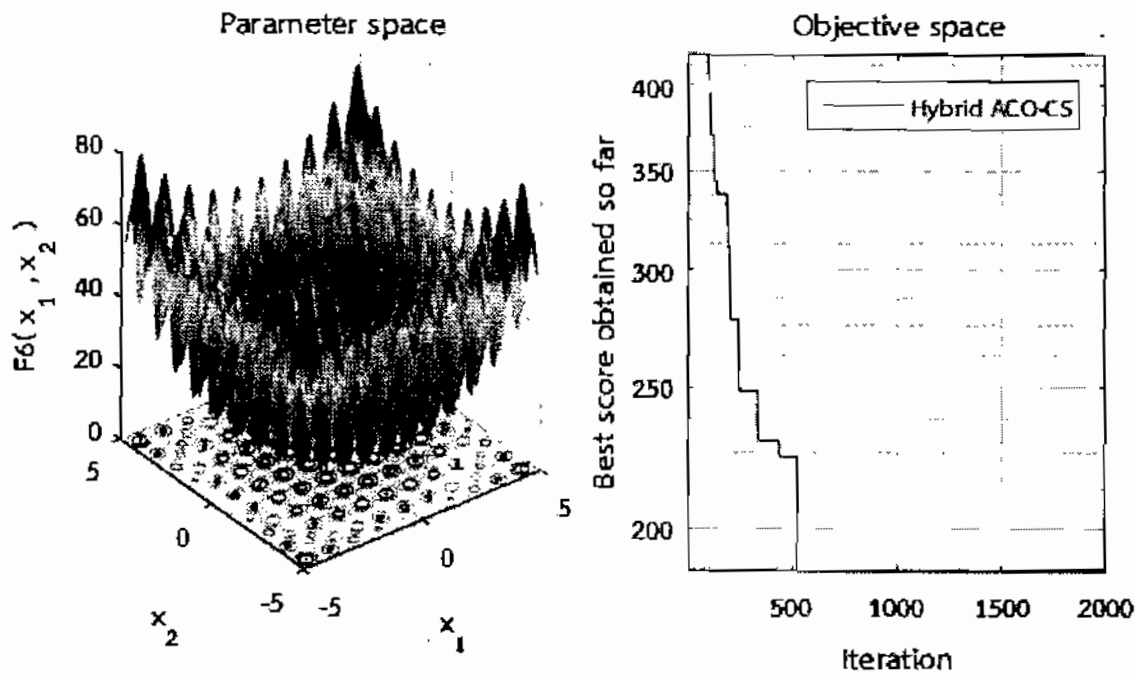


ภาพประกอบ 21 ผลการทดสอบอัลกอริทึมกับฟังก์ชัน Ackley

#### 4.1.6 ฟังก์ชัน Rastrigin

$$f_6(X) = 10n + \sum_{i=1}^n (X_i^2 - 10\cos(2\pi X_i)) \quad (4.6)$$

เมื่อ  $X_i$  มีค่าอยู่ในช่วง  $[-5.12, 5.12]$  และ  $n$  คือ ขนาดของมิติของปัญหา ฟังก์ชันนี้ มีค่าฟังก์ชันต่ำสุดเท่ากับ 0 กราฟและผลการค้นหาแสดงดังภาพประกอบ 21



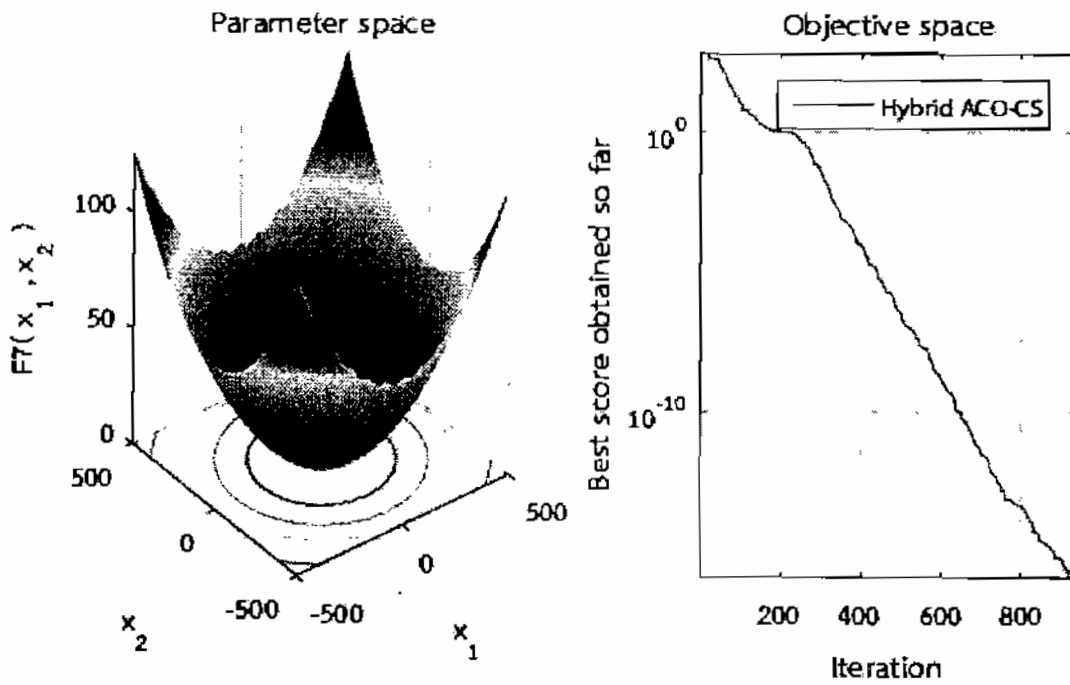
ภาพประกอบ 22 ผลการทดสอบอัลกอริทึมกับฟังก์ชัน Rastrigin

#### 4.1.7 ฟังก์ชัน Griewank

$$f_7(X) = \sum_{i=1}^n \frac{x_i^2}{4000} - \prod_{i=1}^n \cos\left(\frac{x_i}{\sqrt{i}}\right) + 1 \quad (4.7)$$

เมื่อ  $X_i$  มีค่าอยู่ในช่วง [-600,600] และ  $n$  คือ ขนาดของมิติของปัญหา ฟังก์ชันนี้ มีค่าฟังก์ชันต่ำสุดเท่ากับ 0 กราฟและผลการค้นหาแสดงดังภาพประกอบ 22



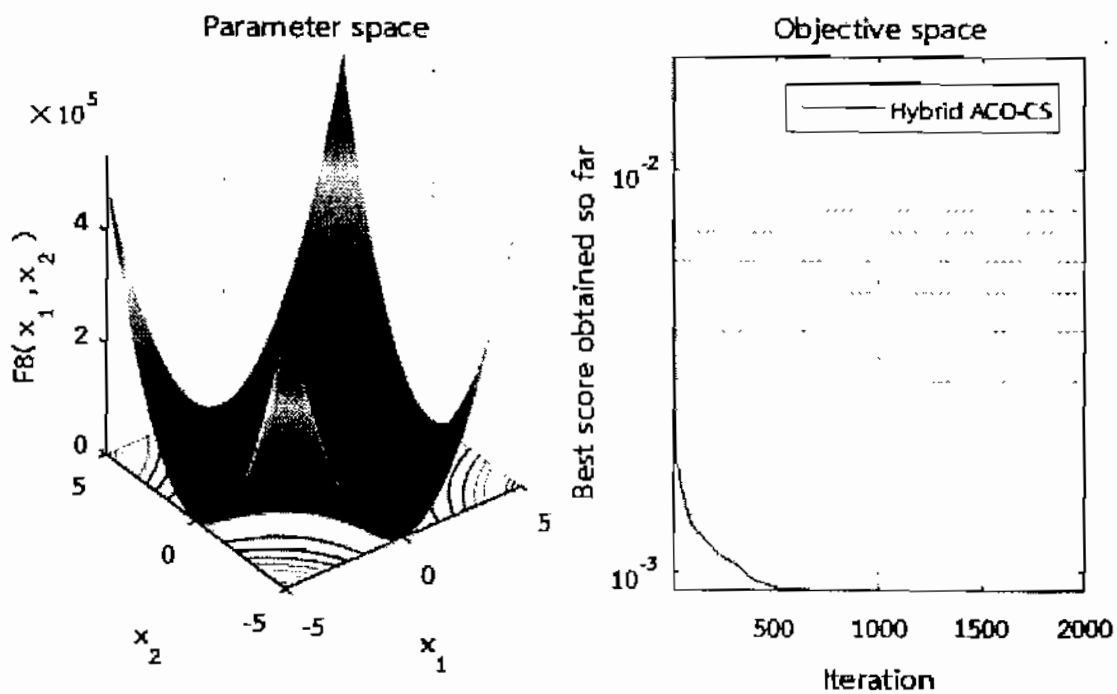


ภาพประกอบ 23 ผลการทดสอบอัลกอริทึมกับฟังก์ชัน Griewank

#### 4.1.8 ฟังก์ชัน Stochastic ของ Kowalik

$$f_8(X) = \sum_{i=1}^{11} \left[ a_i - \frac{x_1(b_i^2 + b_i x_2)}{b_i^2 + b_i x_3 + x_4} \right]^2 \quad (4.8)$$

เมื่อ  $X_i$  มีค่าอยู่ในช่วง  $[-5, 5]$  และ  $a$  คือ ขนาดของมิติของปัญหา ฟังก์ชันนี้มีค่าฟังก์ชันต่ำสุดเท่ากับ 0.00030 กราฟและผลการค้นหาแสดงดังภาพประกอบ 23



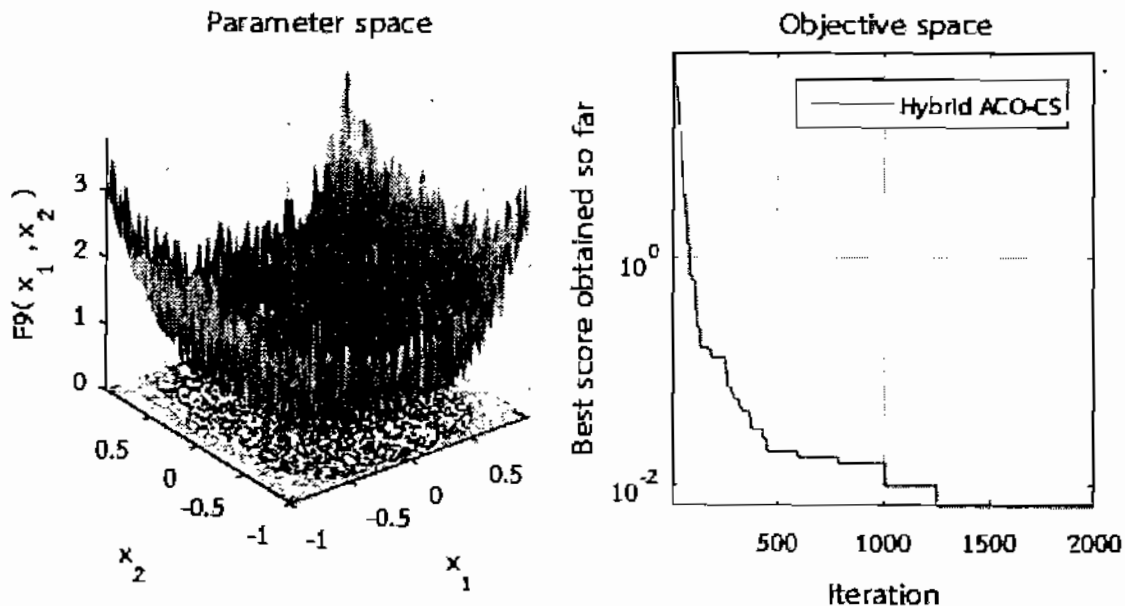
ภาพประกอบ 24 ผลการทดสอบอัลกอริทึมกับฟังก์ชัน Stochastic ของ Kowalik

#### 4.1.9 ฟังก์ชัน Quartic

$$f_9(X) = \sum_{i=1}^n ix_i^4 + \text{random}[0,1] \quad (4.9)$$

เมื่อ  $X_i$  มีค่าอยู่ในช่วง  $[-1.28, 1.28]$  และ  $n$  คือ ขนาดของมิติของปัญหา ฟังก์ชันนี้ มีค่าฟังก์ชันต่ำสุดเท่ากับ 0 กราฟและผลการค้นหาแสดงดังภาพประกอบ 24





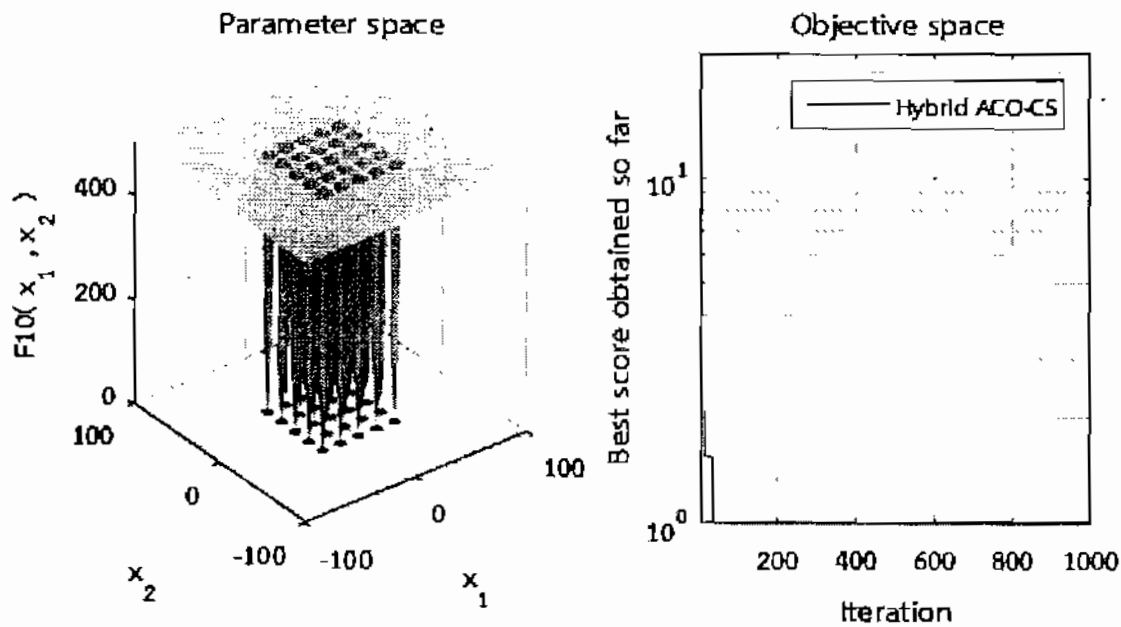
ภาพประกอบ 25 ผลการทดสอบอัลกอริทึมกับฟังก์ชัน Quartic

#### 4.1.10 ฟังก์ชัน Shekel's Foxholes

$$f_{10}(X) = \left( \frac{1}{500} + \sum_{j=1}^{25} \frac{1}{j + \sum_{i=1}^2 (x_i - a_{ij})^6} \right) \quad (4.10)$$

เมื่อ  $X_i$  มีค่าอยู่ในช่วง [-65, 65] และ  $j$  คือ ขนาดของมิติของปัญหา ฟังก์ชันนี้มีค่าฟังก์ชันต่ำสุดเท่ากับ 1 กราฟและการค้นหาแสดงดังภาพประกอบ 25





ภาพประกอบ 26 ผลการทดสอบอัลกอริทึมกับฟังก์ชัน Shekel's Foxholes

การทดสอบประสิทธิภาพครั้งนี้ได้นำผลลัพธ์ไปเปรียบเทียบกับงานวิจัยที่ปรับปรุงอัลกอริทึมนกดูเหล่าจากวิธีการตั้งเดิม [55] โดยใช้การตั้งค่าพารามิเตอร์เดียวกันกับงานวิจัยดังกล่าวได้แก่ รังนกดูเหล่า 25 หน่วย,  $\alpha=0.01$ ,  $\beta=1.5$ ,  $p\alpha=0.25$  และตั้งค่าพารามิเตอร์สำหรับอัลกอริทึมนั้นๆ จำนวน 25 ตัว,  $\alpha=1$ ,  $\beta=0.8$ ,  $p=0.01$  [16] และจำนวนรอบการค้นหาสูงสุด 2000 รอบ ทดสอบทั้งสิ้น 10 ครั้ง ผลปรากฏดังตารางที่ 5

ตาราง 5 ผลการเปรียบเทียบประสิทธิภาพระหว่าง Hybrid ACO-CS กับ ACS [55]

ฟังก์ชัน	อัลกอริทึม	ผลลัพธ์ที่สุด	$\bar{X}$	S.D.	เวลาเฉลี่ย (วินาที)
$f_1$	Hybrid ACO-CS*	2.4813e-011	2.8745e-011	1.9256e-012	13.60
	ACS	3.0916e-011	4.4757e-010	3.9038e-010	4.88
$f_2$	Hybrid ACO-CS*	6.8166e-005	7.0205e-005	1.9256e-012	11.93
	ACS	7.3860e-005	3.2220e-004	1.6471e-004	5.23
$f_3$	Hybrid ACO-CS*	0	0	0	5.47
	ACS	0	0	0	6.10
$f_4$	Hybrid ACO-CS	72.3650	84.2487	15.0463	35.95
	ACS	19.1351	23.0209	1.5189	5.91



ตาราง 5 (ต่อ)

ฟังก์ชัน	อัลกอริทึม	ผลลัพธ์ดีที่สุด	$\bar{X}$	S.D.	เวลาเฉลี่ย (วินาที)
$f_5$	Hybrid ACO-CS*	1.8131e-005	1.9123e-005	6.3675e-007	12.24
	ACS	2.0147e-005	2.1e-003	1.08e-002	5.40
$f_6$	Hybrid ACO-CS	150.4536	196.5353	25.9053	35.80
	ACS	53.8043	96.0495	18.7348	5.49
$f_7$	Hybrid ACO-CS*	0	0.0007	0.0023	12.09
	ACS	1.3959e-009	5.8510e-005	2.3119e-004	6.01
$f_8$	Hybrid ACO-CS	7.6653e-004	9.1676e-004	1.0395e-004	18.58
	ACS	3.0749e-004	3.0749e-004	3.2713e-018	5.25
$f_9$	Hybrid ACO-CS*	0.0079	0.0098	0.0022	12.28
	ACS	0.0093	0.0184	0.0050	6.14
$f_{10}$	Hybrid ACO-CS*	0.9980	0.9980	0	1.30
	ACS	0.9980	0.9980	0	16.99

จากตาราง 5 พบว่า อัลกอริทึม Hybrid ACO-CS ที่นำเสนอสามารถแก้ปัญหาการหาค่าที่เหมาะสมเชิงตัวเลขได้ทั้ง 10 ฟังก์ชัน และพบว่าผลลัพธ์ที่มีประสิทธิภาพดีกว่าอัลกอริทึม ACS ได้แก่ ฟังก์ชัน De Jong ( $f_1$ ), ฟังก์ชัน Schwefel (Unimodal) ( $f_2$ ), ฟังก์ชัน Ackley ( $f_5$ ), ฟังก์ชัน Griewank ( $f_7$ ) และฟังก์ชัน Quartic ( $f_9$ ) แต่เป็นรองในด้านของเวลาเฉลี่ยของการค้นหาซึ่งไม่มากนัก นอกจากนั้น ยังพบว่า มีผลลัพธ์ที่เท่ากันคือ ฟังก์ชัน Step ( $f_3$ ) และฟังก์ชัน Shekel's Foxholes ( $f_{10}$ ) แต่ใช้เวลาเฉลี่ยในการค้นหาที่ตีกว่า

#### 4.2 ผลการวิเคราะห์ค่าพารามิเตอร์ที่เหมาะสมของอัลกอริทึม

การวิเคราะห์หาค่าพารามิเตอร์ที่เหมาะสมในแต่ละอัลกอริทึมที่นำเสนอ เพื่อหาค่าพารามิเตอร์ที่ส่งผลให้มีผลลัพธ์ที่ดีที่สุดสำหรับการทดสอบประสิทธิภาพอัลกอริทึมกับระบบอนุกรมตามฟังก์ชันวัดถูกประสงค์ โดยดำเนินการทดสอบกับระบบอนุกรมที่มี 15 ระบบอย่าง 60 ตัวแปร เนื่องจากความตันทุน เท่ากับ \$1000 และกำหนดค่าพารามิเตอร์คงที่ ได้แก่ จำนวนมต 10 ตัว ค่าอัตราการระเหยของฟิโรเมน ( $\rho$ ) เท่ากับ 0.01 ทดสอบซ้ำ 10 ครั้ง และจำนวนรอบค้นหาสูงสุด 2,000 รอบ ต่อ 1 ครั้ง ผลการวิเคราะห์นำเสนอตามลำดับดังนี้



#### 4.2.1 ผลการวิเคราะห์ค่าพารามิเตอร์ที่เหมาะสมสำหรับอัลกอริทึม ACO2SWAP

การปรับค่าของค่าพารามิเตอร์ที่เป็นค่าคงที่ของอัลกอริทึม ACO2SWAP มี 2 ค่า คือ  $\alpha$  และ  $\beta$  ปรากฏผลดังตาราง 6

ตาราง 6 ผลการวิเคราะห์ค่าพารามิเตอร์ที่เหมาะสมสำหรับอัลกอริทึม ACO2SWAP

$\alpha \backslash \beta$	0.5	0.8	1	2	3	4	5
0.5	0.857054*	0.857054*	0.857054*	0.856435	0.854649	0.854687	0.854489
0.8	0.857054*	0.856435	0.857054*	0.855493	0.854866	0.855043	0.852305
1	0.855121	0.856367	0.856865	0.855896	0.855043	0.851583	0.85368
2	0.853111	0.853023	0.854348	0.85375	0.853692	0.849539	0.850715
3	0.854375	0.854023	0.852905	0.850162	0.846774	0.848873	0.849628
4	0.849215	0.849441	0.852813	0.849588	0.847642	0.847973	0.847261
5	0.853184	0.852961	0.855229	0.85255	0.846987	0.843456	0.845072

จากตาราง 6 พบว่า ผลการวิเคราะห์ค่าพารามิเตอร์ที่เหมาะสมสำหรับอัลกอริทึม ACO2SWAP ที่ส่งผลให้มีผลลัพธ์ที่ดีที่สุด มี 5 อันดับสูงสุด คือ

1. ค่า  $\alpha = 0.5$  และ  $\beta = 0.5$
2. ค่า  $\alpha = 0.5$  และ  $\beta = 0.8$
3. ค่า  $\alpha = 0.5$  และ  $\beta = 1$
4. ค่า  $\alpha = 0.8$  และ  $\beta = 0.5$
5. ค่า  $\alpha = 0.8$  และ  $\beta = 1$

ดังนั้นเพื่อคัดเลือกให้เหลือเพียง 1 อันดับ เพื่อนำไปใช้ทดสอบประสิทธิภาพกับระบบอนุกรมขนาดใหญ่ขึ้น จึงได้พิจารณาจากเวลาเฉลี่ยที่ใช้ในการประมวลผล ดังแสดงใน ตาราง 7

ตาราง 7 เวลาเฉลี่ยที่ใช้ในการประมวลผลอัลกอริทึม ACO2SWAP ของค่าพารามิเตอร์  $\alpha$  และ  $\beta$

ค่าพารามิเตอร์	ค่าความนำเชื้อถือ	เวลาเฉลี่ย (วินาที)
1. ค่า $\alpha = 0.5$ และ $\beta = 0.5$	0.857054	18.77
2. ค่า $\alpha = 0.5$ และ $\beta = 0.8$	0.857054	16.60
3. ค่า $\alpha = 0.5$ และ $\beta = 1$	0.857054	31.72
4. ค่า $\alpha = 0.8$ และ $\beta = 0.5$	0.857054	18.06
5. ค่า $\alpha = 0.8$ และ $\beta = 1$	0.857054	13.63*



จากตาราง 7 พบรว่า ผลการวิเคราะห์เวลาเฉลี่ยค่าพารามิเตอร์ที่เหมาะสมสำหรับอัลกอริทึม ACO2SWAP ที่ส่งผลให้มีผลลัพธ์ค่าความน่าเชื่อถือที่ดีที่สุด คือ ค่า  $\alpha = 0.8$  และ  $\beta = 1$

ดังนั้น ผู้วิจัยจึงนำค่าพารามิเตอร์ที่ได้นี้ไปทดสอบประสิทธิภาพอัลกอริทึม ACO2SWAP กับระบบอนุรักษ์ขนาดใหญ่

#### 4.2.2 ผลการวิเคราะห์ค่าพารามิเตอร์ที่เหมาะสมสำหรับอัลกอริทึม ACO-Lévy flight และ Hybrid ACO-CS

การปรับค่าของค่าพารามิเตอร์ที่เป็นค่าคงที่ของอัลกอริทึม ACO-Lévy flight และ Hybrid ACO-CS นำเสนอตามลำดับดังนี้

##### 4.2.2.1 การปรับค่าพารามิเตอร์ที่เกี่ยวข้องกับอัลกอริทึมผุ่งมด ชั้นมี 2 ค่า คือ $\alpha$ และ $\beta$ ผลการวิเคราะห์ข้อมูลปรากฏดังนี้

ตาราง 8 ผลการวิเคราะห์ค่าพารามิเตอร์ที่เกี่ยวข้องกับอัลกอริทึมผุ่งมด

$\alpha \backslash \beta$	0.5	0.8	1	2	3	4	5
0.5	0.85447*	0.854002	0.851493	0.796272	0.715903	0.467242	0.363555
0.8	0.856135*	0.852553	0.85446*	0.85197	0.659895	0.472154	0.351566
1	0.855235*	0.855054*	0.854282*	0.821167	0.740338	0.544813	0.411796
2	0.856084	0.853468	0.855295*	0.796615	0.650309	0.486521	0.374901
3	0.848407	0.854888*	0.845758	0.802872	0.649237	0.500313	0.404505
4	0.853516	0.841122	0.854133	0.815914	0.629404	0.496115	0.373155
5	0.855543*	0.844983	0.829814	0.79124	0.641809	0.46382	0.40101

จากตาราง 8 พบรว่า ผลการวิเคราะห์ค่าพารามิเตอร์ที่เกี่ยวข้องกับอัลกอริทึมผุ่งมด 10 ลำดับแรกที่ให้ผลลัพธ์สูงสุดคือ

ลำดับที่ 1  $\alpha = 0.8$  และ  $\beta = 0.5$

ลำดับที่ 2  $\alpha = 2$  และ  $\beta = 0.5$

ลำดับที่ 3  $\alpha = 5$  และ  $\beta = 0.5$

ลำดับที่ 4  $\alpha = 2$  และ  $\beta = 1$

ลำดับที่ 5  $\alpha = 1$  และ  $\beta = 0.5$

ลำดับที่ 6  $\alpha = 1$  และ  $\beta = 0.8$



ลำดับที่ 7  $\alpha = 3$  และ  $\beta = 0.8$

ลำดับที่ 8  $\alpha = 0.5$  และ  $\beta = 0.5$

ลำดับที่ 9  $\alpha = 0.8$  และ  $\beta = 1$

ลำดับที่ 10  $\alpha = 4$  และ  $\beta = 1$

4.2.2.2 การปรับค่าพารามิเตอร์ที่เกี่ยวข้องกับอัลกอริทึมกดเหว่า คือ ค่าความน่าจะเป็นในการค้นพบ ( $p_a$ ) โดยการนำค่าพารามิเตอร์ที่เกี่ยวข้องกับอัลกอริทึมผุ่งมด ที่ให้ผลลัพธ์ดีที่สุด 10 ลำดับแรกมาร่วมวิเคราะห์ ซึ่งผลการวิเคราะห์ข้อมูลปรากฏดังนี้

ตาราง 9 ผลการวิเคราะห์ค่าพารามิเตอร์ที่เกี่ยวข้องกับอัลกอริทึมนกดเหว่า

$\alpha, \beta$ อัลกอริทึม กดเหว่า	ค่า $\alpha, \beta$ อัลกอริทึมผุ่งมด									
	0.5, 0.5	0.8, 0.5	0.8, 1	1, 0.5	1, 0.8	1, 1	2, 0.5	2, 1	3, 0.8	5, 0.5
0.01	0.8464	0.8504	0.8437	0.8527	0.8519	0.8478	0.8447	0.8267	0.8039	0.8215
0.05	0.8497	0.8478	0.8464	0.8511	0.8500	0.8470	0.8445	0.8469	0.8307	0.8244
0.10	0.8463	0.8538	0.8516	0.8545	0.8500	0.8502	0.8500	0.8494	0.8427	0.8348
0.15	0.8471	0.8538	0.8535	0.8538	0.8518	0.8550	0.8512	0.8414	0.8360	0.8441
0.20	0.8547	0.8515	0.8529	0.8552	0.8529	0.8538	0.8457	0.8503	0.8458	0.8511
0.25	0.8552	0.8527	0.8505	0.8567	0.8555	0.8537	0.8550	0.8549	0.8545	0.8512
0.30	0.8545	0.8550	0.8543	0.8548	0.8548	0.8535	0.8532	0.8507	0.8491	0.8524
0.35	0.8538	0.8560	0.8551	0.8552	0.8549	0.8544	0.8494	0.8544	0.8446	0.8522
0.40	0.8557	0.8548	0.8521	0.8560	0.8553	0.8532	0.8520	0.8520	0.8523	0.8567
0.45	0.8562	0.8564	0.8544	0.8564	0.8556	0.8560	0.8556	0.8535	0.8534	0.8561
0.50	0.8568	0.8546	0.8559	0.8553	0.8560	0.8556	0.8559	0.8434	0.8567	0.8369
0.55	0.8562	0.8564	0.8548	0.8566	0.8566	0.8551	0.8566	0.8561	0.8567	0.8570*
0.60	0.8568	0.8569*	0.8565	0.8566	0.8565	0.8532	0.8570*	0.8561	0.8545	0.8522
0.65	0.8568	0.8566	0.8570*	0.8569*	0.8567	0.8568	0.8568	0.8568	0.8561	0.8568
0.70	0.8568	0.8568	0.8567	0.8567	0.8569*	0.8566	0.8569	0.8570*	0.8569	0.8440
0.75	0.8568	0.8566	0.8560	0.8569*	0.8568	0.8569*	0.8567	0.8564	0.8569*	0.8569
0.80	0.8562	0.8560	0.8567	0.8566	0.8568	0.8565	0.8566	0.8544	0.8567	0.8566
0.85	0.8560	0.8566	0.8554	0.8566	0.8559	0.8561	0.8563	0.8563	0.8555	0.8563
0.90	0.8544	0.8539	0.8550	0.8547	0.8550	0.8533	0.8539	0.8532	0.8528	0.8538
0.95	0.8412	0.8492	0.8347	0.8503	0.8473	0.8415	0.8249	0.8401	0.8261	0.8262
1	0.8364	0.8466	0.8296	0.8527	0.8457	0.8311	0.8042	0.7654	0.7215	0.7002



จากตาราง 9 พบว่า ผลการวิเคราะห์ค่าพารามิเตอร์ที่เกี่ยวข้องกับอัลกอริทึมผุ่งมด 10 ลำดับแรกที่ให้ผลลัพธ์สูงสุดคือ

ลำดับที่ 1  $\alpha = 2, \beta = 1$  และ  $pa = 0.7$

ลำดับที่ 2  $\alpha = 5, \beta = 0.5$  และ  $pa = 0.55$

ลำดับที่ 3  $\alpha = 0.8, \beta = 1$  และ  $pa = 0.65$

ลำดับที่ 4  $\alpha = 2, \beta = 0.5$  และ  $pa = 0.6$

ลำดับที่ 5  $\alpha = 1, \beta = 0.5$  และ  $pa = 0.65$

ลำดับที่ 6  $\alpha = 1, \beta = 0.8$  และ  $pa = 0.7$

ลำดับที่ 7  $\alpha = 3, \beta = 0.8$  และ  $pa = 0.75$

ลำดับที่ 8  $\alpha = 0.8, \beta = 0.5$  และ  $pa = 0.6$

ลำดับที่ 9  $\alpha = 1, \beta = 0.5$  และ  $pa = 0.75$

ลำดับที่ 10  $\alpha = 1, \beta = 1$  และ  $pa = 0.75$

#### 4.2.2.3 การปรับค่าพารามิเตอร์ที่เกี่ยวข้องกับเลวีไฟล์ คือ ค่าคงที่ $\alpha$ และ $\beta$

โดยการนำค่าพารามิเตอร์ที่เกี่ยวข้องกับอัลกอริทึมผุ่งมด  $\alpha, \beta$  มาร่วมวิเคราะห์กับค่าความน่าจะเป็นในการค้นพบ ( $pa$ ) ของอัลกอริทึมนกดูเหว่าที่ให้ผลลัพธ์ดีที่สุด 10 ลำดับแรกซึ่งได้จากการทดลองที่ผ่านมา ผลการวิเคราะห์ข้อมูลปรากฏดังนี้

ตาราง 10 ผลการวิเคราะห์ค่าพารามิเตอร์ที่เกี่ยวข้องกับเลวีไฟล์

เลวีไฟล์ $\beta, \alpha$	ค่า $\alpha, \beta$ อัลกอริทึมผุ่งมด, ค่า $pa$ อัลกอริทึมนกดูเหว่า									
	0.8, 0.5, $pa=0.6$	0.8, 1, $pa=0.65$	1, 0.5, $pa=0.65$	1, 0.5, $pa=0.75$	1, 0.8, $pa=0.7$	1, 1, $pa=0.75$	2, 0.5, $pa=0.6$	2, 1, $pa=0.7$	3, 0.8, $pa=0.75$	5, 0.5, $pa=0.55$
0.5, 1	0.85601	0.85410	0.85642	0.85659	0.85183	0.85377	0.85610	0.84253	0.84727	0.85250
1, 1	0.85558	0.85540	0.85661	0.85621	0.85545	0.85463	0.85413	0.84480	0.84073	0.84973
1.5, 1	0.85656	0.85491	0.85592	0.85570	0.85591	0.85445	0.85292	0.84271	0.84574	0.84908
2, 1	0.85675	0.85680	0.85705*	0.85685	0.85696	0.85680	0.85682	0.85615	0.85675	0.85362
2, 0.01	0.85680	0.85680	0.85692	0.85677	0.85677	0.85696	0.85596	0.84404	0.85220	0.85365
2, 0.05	0.85689	0.85680	0.85678	0.85689	0.85668	0.85673	0.85646	0.85675	0.85357	0.85699
2, 0.1	0.85687	0.85682	0.85675	0.85689	0.85682	0.85669	0.85680	0.85671	0.85682	0.85662
2, 0.2	0.85689	0.85666	0.85689	0.85666	0.85587	0.85680	0.85680	0.85254	0.85591	0.85689
2, 0.3	0.85680	0.85663	0.85673	0.85682	0.85666	0.85654	0.85672	0.85667	0.85592	0.85255



ตาราง 13 สรุปผลการทดสอบประสิทธิภาพอัลกอริทึม ACO-Lévy flight กรณีศึกษาที่ 1

จำนวนมดและ รังนกตัวหน่าว่า	เวลาเฉลี่ย (วินาที)	ค่าความน่าเชื่อถือ			
		ต่ำสุด	สูงสุด	เฉลี่ย	S.D.
10	88.24	0.839301	0.855338	0.848277	0.005518
20	167.66	0.844914	0.854652	0.849814	0.002847
30	231.10	0.847373	0.857054	0.852928	0.003319
40	320.54	0.853707	0.857054	0.855716	0.001046
50*	401.90	0.855252	0.857054	0.856161	0.000519

จากการ 13 พบว่า จากการทดสอบอัลกอริทึม ACO-Lévy flight สำหรับกรณีศึกษาที่ 1 จำนวน 10 ครั้ง โดยการตั้งค่าจำนวนมดและรังนก 10, 20, และ 50 สามารถประมาณคันหาคำตอบ หากค่าความน่าเชื่อถือที่เหมาะสมได้ค่าสูงสุด คือ 0.857054 ซึ่งเมื่อพิจารณาแล้วพบว่า การตั้งค่าจำนวนมดและรังนก เท่ากับ 50 ส่งผลให้มีค่าความน่าเชื่อถือที่เหมาะสมโดยเฉลี่ยสูงสุด คือ 0.856161 ส่วนเบี่ยงเบนมาตรฐาน (S.D.) เท่ากับ 0.000519 แต่เมื่อพิจารณาในด้านเวลาใช้เวลาเฉลี่ยในการค้นหาข้อมูลสูงที่สุด คือ 401.90 วินาที

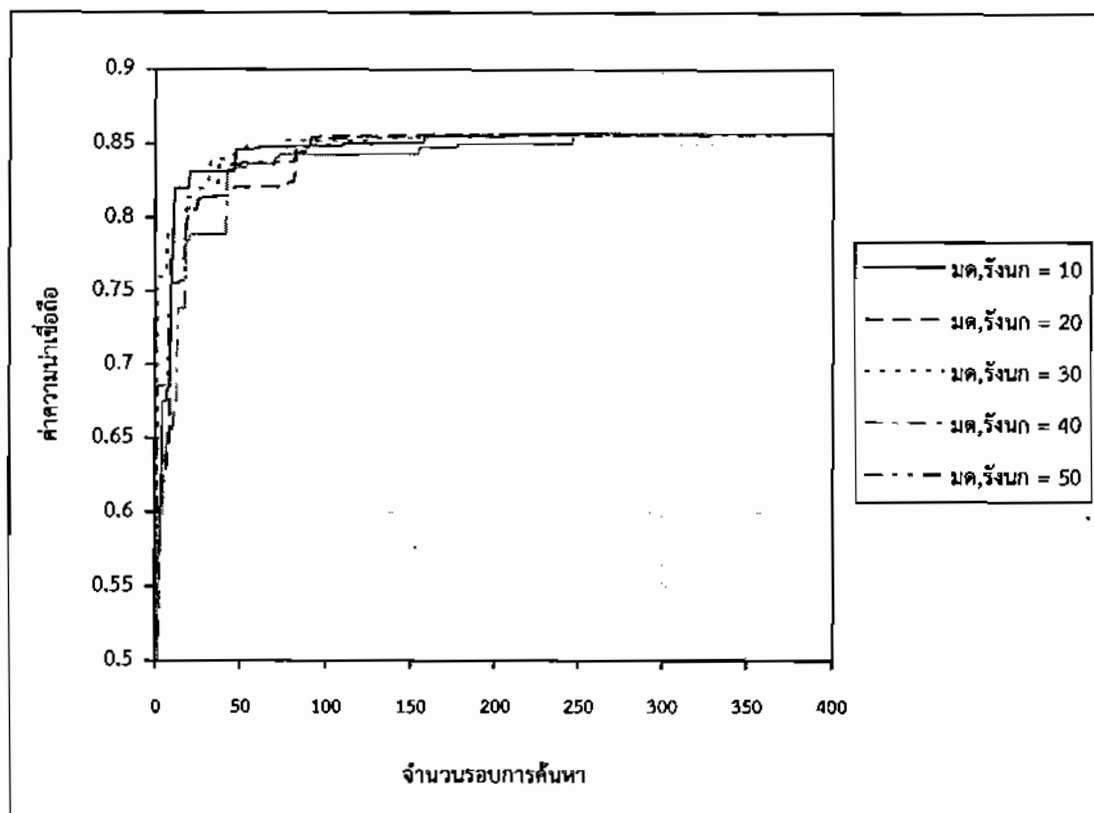
ตาราง 14 เปรียบเทียบผลการคัดเลือกเทคโนโลยีและราคากันทุนรวมของอัลกอริทึม ACO-Lévy flight กรณีศึกษาที่ 1

จำนวนมดและ รังนกตัวหน่าว่า	เทคโนโลยีที่เลือก	ค่าความ น่าเชื่อถือสูงสุด	ราคากันทุน รวม (\$)
10	4-3-5-2-3-3-2-3-2-2-3-4-3-2	0.855338	980
20	3-3-4-2-3-3-2-4-2-2-2-3-4-3-3	0.854652	990
30	3-4-5-2-3-3-2-3-2-2-3-4-3-2	0.857054	990
40	3-4-5-2-3-3-2-3-2-2-2-3-4-3-2	0.857054	990
50	3-4-5-2-3-3-2-3-2-2-2-3-4-3-2	0.857054	990

จากการ 14 พบว่า การทดสอบประสิทธิภาพของอัลกอริทึม ACO-Lévy flight สำหรับกรณีศึกษาที่ 1 ที่ให้คำตอบค่าความน่าเชื่อถือที่เหมาะสมที่สุด โดยการปรับค่าจำนวนมดและรังนก 30, 40 และ 50 มีผลการคัดเลือกเทคโนโลยีที่ทำให้ระบบอนุกรมทั้งระบบมีค่าความน่าเชื่อถือสูงสุด เป็นเทคโนโลยีเดียวกันทั้งหมด คือ 3-4-5-2-3-3-2-3-2-2-3-4-3-2 และใช้งบประมาณทั้งสิ้น \$990



#### 4.3.1.3 ผลการทดสอบประสิทธิภาพอัลกอริทึม Hybrid ACO-CS



ภาพประกอบ 29 ผลการทดสอบประสิทธิภาพอัลกอริทึม Hybrid ACO-CS กรณีศึกษาที่ 1

จากการประกอบ 29 แผนภูมิแสดงผลการทดสอบประสิทธิภาพอัลกอริทึม Hybrid ACO-CS สำหรับกรณีศึกษาที่ 1 โดยการปรับค่าจำนวน nod และรังนก 10, 20, 30, 40 และ 50 ผลลัพธ์ของการค้นหาคำตอบที่ดีที่สุด พบว่า แนวโน้มการลู่เข้าสู่คำตอบของการหาค่าความน่าเชื่อถือที่เหมาะสมใช้จำนวนรอบในการค้นหาใกล้เคียงกันโดยประมาณ อยู่ในช่วง 200 - 250 รอบ ซึ่งค่าความน่าเชื่อถือและเวลาเฉลี่ยในการค้นหา แสดงในตาราง 15

ตาราง 15 สรุปผลการทดสอบประสิทธิภาพอัลกอริทึม Hybrid ACO-CS กรณีศึกษาที่ 1

จำนวนมดและ รังนกตัว	เวลาเฉลี่ย (วินาที)	ค่าความน่าเชื่อถือ			
		ต่ำสุด	สูงสุด	เฉลี่ย	S.D.
10*	30.19	0.857054	0.857054	0.857054	0
20	34.63	0.857054	0.857054	0.857054	0
30	43.78	0.857054	0.857054	0.857054	0
40	55.09	0.857054	0.857054	0.857054	0
50	78.92	0.857054	0.857054	0.857054	0

จากตาราง 15 พบร้า จากการทดลองอัลกอริทึม Hybrid ACO-CS สำหรับกรณีศึกษา ที่ 1 จำนวน 10 ครั้ง สามารถประมวลผลค้นหาคำตอบหาค่าความน่าเชื่อถือที่เหมาะสมได้ค่าสูงสุด เท่ากับ ห้องหมด ซึ่งมีค่าเฉลี่ยเท่ากับ 0.857054 ส่วนเบี่ยงเบนมาตรฐาน (S.D.) เท่ากับ 0.00 และพบร้า การตั้งค่าจำนวนมดและรังนก เท่ากับ 10 ใช้เวลาเฉลี่ยในการค้นหาข้อมูลเร็วที่สุด เท่ากับ 30.19 วินาที

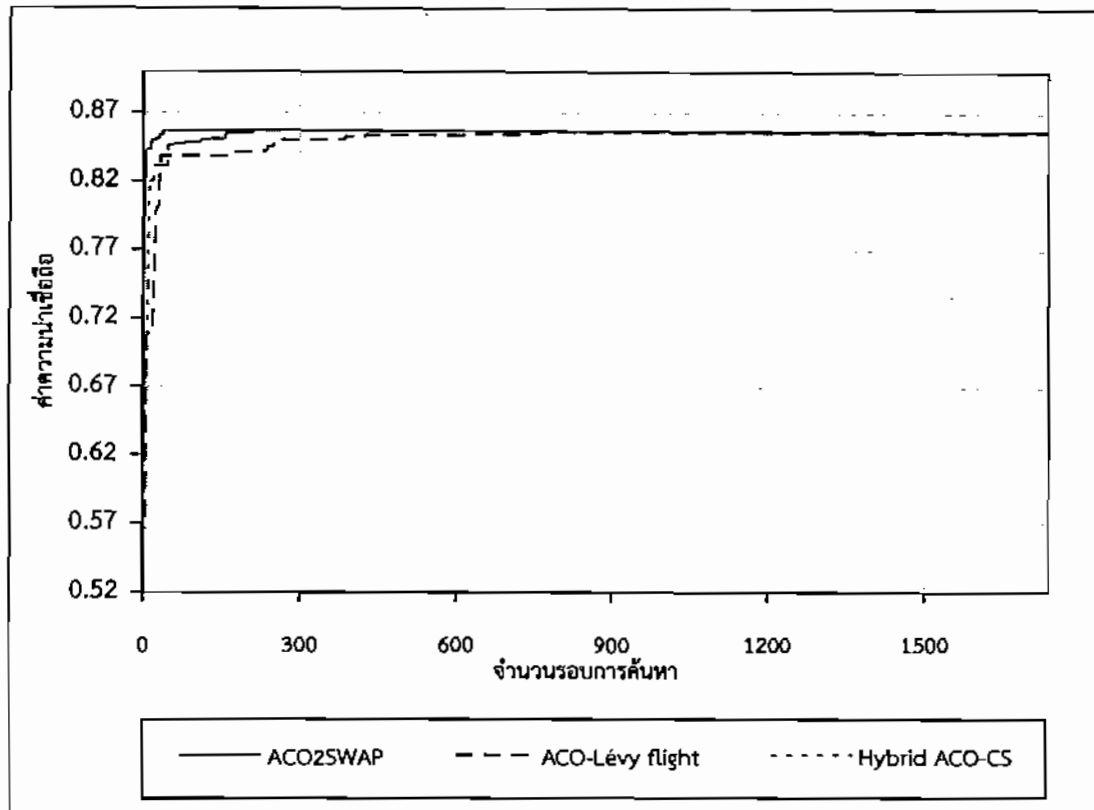
ตาราง 16 เปรียบเทียบผลการคัดเลือกเทคโนโลยีและราคากันทุนรวมของอัลกอริทึม Hybrid ACO-CS กรณีศึกษาที่ 1

จำนวนมดและ รังนกตัว	เทคโนโลยีที่เลือก	ค่าความ น่าเชื่อถือสูงสุด	ราคากันทุน รวม (\$)
10	3-4-5-2-3-3-2-3-2-2-2-3-4-3-2	0.857054	990
20	3-4-5-2-3-3-2-3-2-2-2-3-4-3-2	0.857054	990
30	3-4-5-2-3-3-2-3-2-2-2-3-4-3-2	0.857054	990
40	3-4-5-2-3-3-2-3-2-2-2-3-4-3-2	0.857054	990
50	3-4-5-2-3-3-2-3-2-2-2-3-4-3-2	0.857054	990

จากตาราง 16 พบร้า การทดสอบประสิทธิภาพของอัลกอริทึม Hybrid ACO-CS สำหรับกรณีศึกษาที่ 1 ที่ให้คำตอบค่าความน่าเชื่อถือที่เหมาะสมที่สุด โดยการปรับค่าจำนวนมดและรังนก 10, 20, 30, 40 และ 50 มีผลการคัดเลือก เทคโนโลยีที่ทำให้ระบบอนุกรมหั้งระบบมีค่าความน่าเชื่อถือ สูงสุด เป็นเทคโนโลยีเดียวกันห้องหมด คือ 3-4-5-2-3-3-2-3-2-2-3-4-3-2 และใช้งบประมาณหั้งสิบ \$990



#### 4.3.1.4 เปรียบเทียบผลการทดสอบระหว่างอัลกอริทึม ACO2SWAP, ACO-Lévy flight และ Hybrid ACO-CS สำหรับกรณีศึกษาที่ 1



ภาพประกอบ 30 ผลการเปรียบเทียบระหว่างอัลกอริทึมทั้ง 3 วิธี สำหรับกรณีศึกษาที่ 1

จากภาพประกอบ 30 เป็นการนำเสนอผลการเปรียบเทียบการค้นหาคำตอบที่ดีที่สุดของ อัลกอริทึม ACO2SWAP, ACO-Lévy flight และ Hybrid ACO-CS สำหรับกรณีศึกษาที่ 1 ซึ่งมี แนวโน้มการถูเข้าสู่คำตอบของอัลกอริทึม ACO2SWAP และ Hybrid ACO-CS ใช้จำนวนรอบในการ ค้นหาคำตอบ โดยประมาณคือ 50-200 รอบ สำหรับ ACO-Lévy flight ใช้จำนวนรอบในการค้นหา คำตอบ โดยประมาณ 600 รอบ ซึ่งค่าความน่าเชื่อถือและเวลาเฉลี่ยในการค้นหา แสดงในตาราง 17

ตาราง 17 ผลการเปรียบเทียบประสิทธิภาพของอัลกอริทึมทั้ง 3 วิธี สำหรับกรณีศึกษาที่ 1

อัลกอริทึม	เวลาเฉลี่ย (s)	ค่าความน่าเชื่อถือ			
		ต่ำสุด	สูงสุด	เฉลี่ย	S.D.
ACO2SWAP*	23.34	0.857054	0.857054	0.857054	0
ACO-Lévy flight	401.90	0.855252	0.857054	0.856161	0.000519
Hybrid ACO-CS*	30.19	0.857054	0.857054	0.857054	0

จากการ 17 โดยภาพรวมผลลัพธ์การค้นหาคำตอบที่ดีที่สุดสำหรับกรณีศึกษาที่ 1 ของแต่ละอัลกอริทึม พบว่า อัลกอริทึม ACO2SWAP และ Hybrid ACO-CS สามารถหาค่าความน่าเชื่อถือที่เหมาะสมที่สุด ดีกว่า ACO-Lévy flight และใช้เวลาเฉลี่ยในการค้นพบคำตอบใกล้เคียงกัน เมื่อพิจารณาจากค่าเฉลี่ยและส่วนเบี่ยงเบนมาตรฐานแสดงให้เห็นว่าอัลกอริทึม ACO2SWAP และ Hybrid ACO-CS มีความแม่นยำสูง สำหรับการประมวลผลระบบอนุกรมที่มี 15 ระบบย่อย 60 ตัวแปร

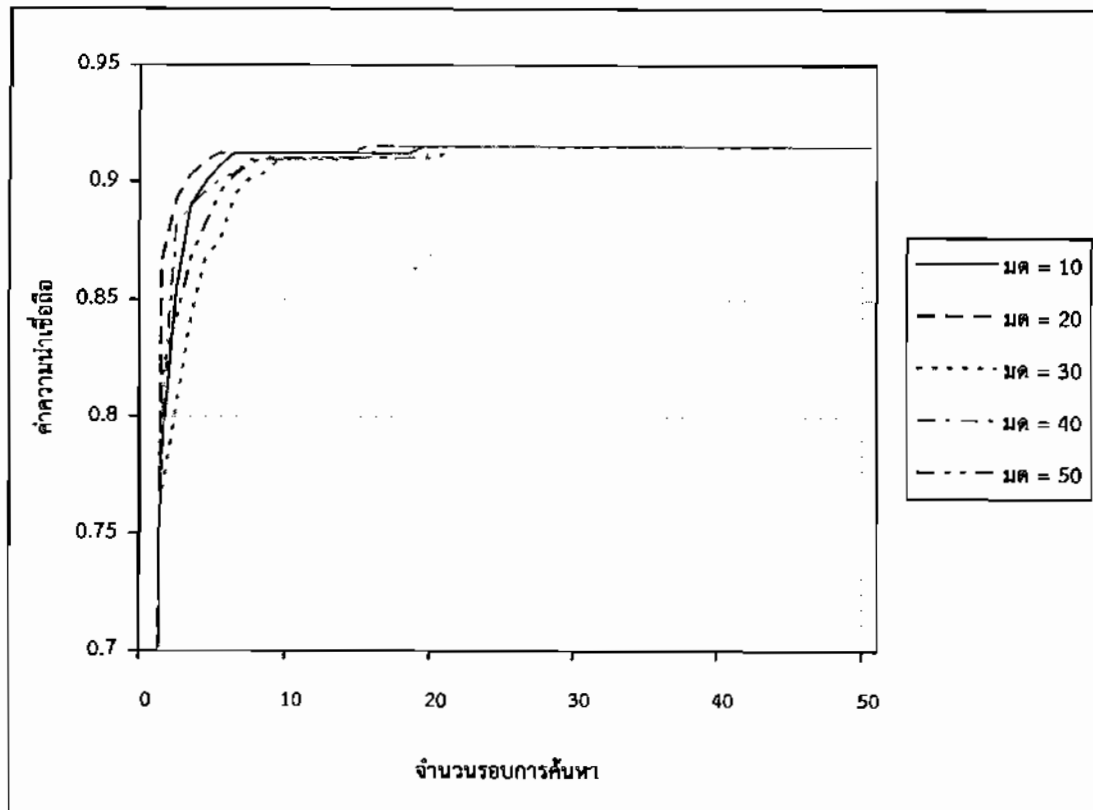
#### 4.3.2 กรณีศึกษาที่ 2

ระบบอนุกรมที่มี 15 ระบบย่อย 80 ตัวแปร กำหนดเงื่อนไขราคาร่วมต้นทุน เท่ากับ

\$900

##### 4.3.2.1 ผลการทดสอบประสิทธิภาพอัลกอริทึม ACO2SWAP





ภาพประกอบ 31 ผลการทดสอบประสิทธิภาพอัลกอริทึม ACO2SWAP กรณีศึกษาที่ 2

จากการประกอบ 31 แผนภูมิแสดงผลการทดสอบประสิทธิภาพอัลกอริทึม ACO2SWAP สำหรับกรณีศึกษาที่ 2 โดยการปรับค่าจำนวนมด 10, 20, 30, 40 และ 50 ผลลัพธ์ของการค้นหาคำตอบที่ดีที่สุด พบว่า แนวโน้มการสู่เข้าสู่คำตอบของการหาค่าความน่าเชื่อถือที่เหมาะสม ใช้จำนวนรอบในการค้นหาใกล้เคียงกันโดยประมาณคือ 30 รอบ ซึ่งค่าความน่าเชื่อถือและเวลาเฉลี่ยในการค้นหาแสดงในตาราง 18

ตาราง 18 สรุปผลการทดสอบประสิทธิภาพอัลกอริทึม ACO2SWAP กรณีศึกษาที่ 2

จำนวนมด	เวลาเฉลี่ย (วินาที)	ค่าความน่าเชื่อถือ			
		ต่ำสุด	สูงสุด	เฉลี่ย	S.D.
10	6.32	0.915042	0.915042	0.915042	0
20	59.73	0.912294	0.915042	0.91476	0.000869
30	7.37	0.915042	0.915042	0.915042	0
40	7.53	0.915042	0.915042	0.915042	0
50*	5.53	0.915042	0.915042	0.915042	0



จากตาราง 18 พบว่า จากการทดลองอัลกอริทึม ACO2SWAP สำหรับกรณีศึกษาที่ 2 จำนวน 10 ครั้ง สามารถประมวลผลค้นหาคำตอบหาค่าความน่าเชื่อถือที่เหมาะสมได้ค่าสูงสุด คือ 0.915042 จากการตั้งค่าจำนวนมด 10, 30, 40 และ 50 ซึ่งมีค่าเฉลี่ยเท่ากับ 0.915042 ส่วนเบี่ยงเบนมาตรฐาน (S.D.) เท่ากับ 0.00 และพบว่า การตั้งค่าจำนวนมด 50 ตัว ใช้เวลาเฉลี่ยในการค้นหาข้อมูลเร็วที่สุด เท่ากับ 5.53 วินาที

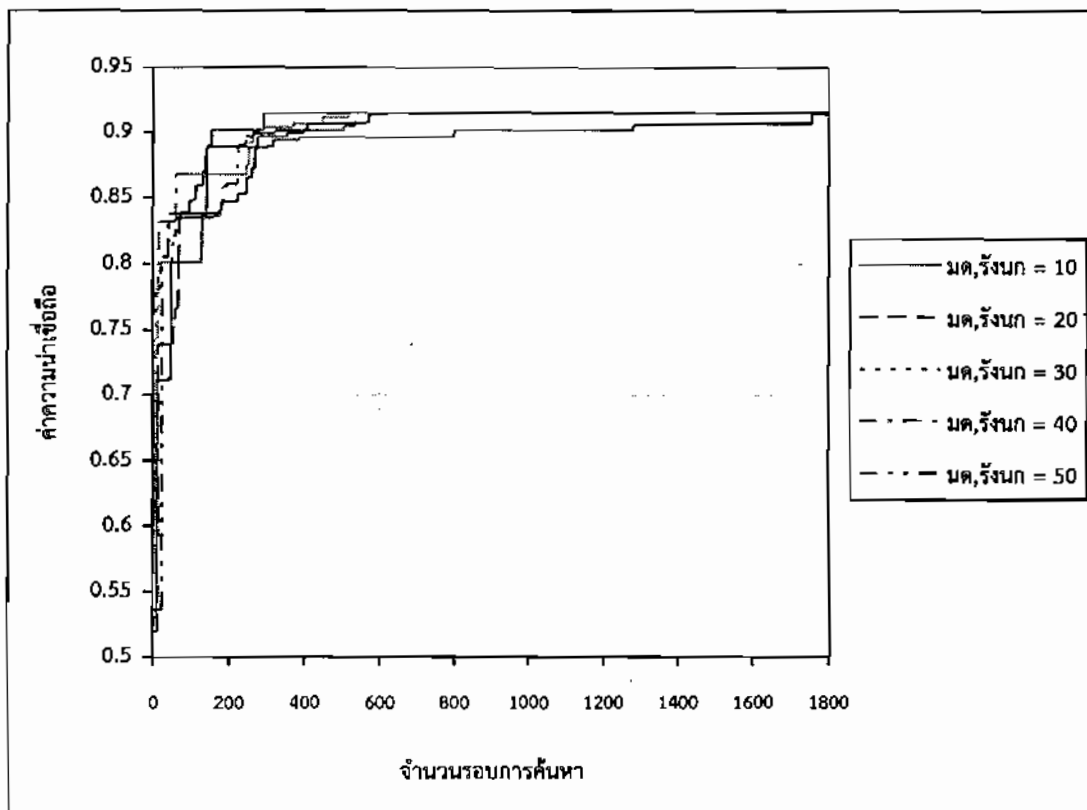
**ตาราง 19 เปรียบเทียบผลการคัดเลือกเทคโนโลยีและราคาน้ำหนุนรวมของอัลกอริทึม ACO2SWAP กรณีศึกษาที่ 2**

จำนวนมด	เทคโนโลยีที่เลือก	ค่าความน่าเชื่อถือสูงสุด	ราคาน้ำหนุนรวม (\$)
10	2-3-3-4-2-3-3-2-4-1-2-4-4-3-1	0.915042	895
20	2-3-3-4-2-3-3-2-4-1-2-4-4-3-1	0.915042	895
30	2-3-3-4-2-3-3-2-4-1-2-4-4-3-1	0.915042	895
40	3-3-3-4-2-3-2-2-4-1-2-4-4-3-1	0.915042	895
50	3-3-3-4-2-3-3-2-4-1-2-4-3-3-1	0.915042	895

จากตาราง 19 พบว่า การทดสอบประสิทธิภาพของอัลกอริทึม ACO2SWAP สำหรับกรณีศึกษาที่ 2 ที่ให้คำตอบค่าความน่าเชื่อถือที่เหมาะสมที่สุด โดยการปรับค่าจำนวนมด 10, 20, 30, 40 และ 50 มีผลการคัดเลือกเทคโนโลยีที่ทำให้ระบบอนุกรมทั้งระบบมีค่าความน่าเชื่อถือสูงสุด ที่แตกต่างกัน 3 ค่า แต่มีราคาน้ำหนุนรวม \$895 ต่ำกว่างบประมาณที่ตั้งไว้ \$900 pragmatically การตั้งค่าจำนวนมดเท่ากับ 30, 40 และ 50 คือ 2-3-3-4-2-3-3-2-4-1-2-4-4-3-1, 3-3-3-4-2-3-2-2-4-1-2-4-4-3-1 และ 3-3-3-4-2-3-3-2-4-1-2-4-3-3-1 ตามลำดับ

#### 4.3.2.2 ผลการทดสอบประสิทธิภาพอัลกอริทึม ACO-Lévy flight





ภาพประกอบ 32 ผลการทดสอบประสิทธิภาพอัลกอริทึม ACO-Lévy flight กรณีศึกษาที่ 2

จากภาพประกอบ 32 แผนภูมิแสดงผลการทดสอบประสิทธิภาพอัลกอริทึม ACO-Lévy flight สำหรับกรณีศึกษาที่ 2 โดยการปรับค่าจำนวนมดและรังนก 10, 20, 30, 40 และ 50 ผลลัพธ์ของ การค้นหาคำตอบที่ดีที่สุด พบว่า แนวโน้มการสู่เข้าสู่คำตอบของการหาค่าความน่าเชื่อถือที่เหมาะสม ให้จำนวนรอบในการค้นหาต่ำสุดโดยประมาณจำนวน 600 รอบ และสูงสุดโดยประมาณ 1,700 รอบ และพบว่าการตั้งค่าจำนวนมดและรังนก เท่ากับ 10 ไม่สามารถค้นหาคำตอบที่เหมาะสมที่สุดได้غا ยใน 2,000 รอบ ซึ่งค่าความน่าเชื่อถือและเวลาเฉลี่ยในการค้นหา แสดงในตาราง 20



ตาราง 20 สรุปผลการทดสอบประสิทธิภาพอัลกอริทึม ACO-Lévy flight กรณีศึกษาที่ 2

จำนวนมดและรังนกตุ่นหัว	เวลาเฉลี่ย (วินาที)	ค่าความน่าเชื่อถือ			
		ต่ำสุด	สูงสุด	เฉลี่ย	S.D.
10	89.42	0.886055	0.914126	0.902871	0.008284
20	140.13	0.899148	0.915042	0.910658	0.006093
30	174.84	0.901946	0.915042	0.911679	0.005397
40*	248.77	0.901969	0.915042	0.911792	0.004697
50	327.05	0.903167	0.915042	0.911638	0.004479

จากตาราง 20 พบว่า จากการทดสอบประสิทธิภาพอัลกอริทึม ACO-Lévy flight สำหรับกรณีศึกษาที่ 2 จำนวน 10 ครั้ง โดยการตั้งค่าจำนวนมดและรังนก 20, 30, 40 และ 50 สามารถประมาณผลคันหา คำตอบหาค่าความน่าเชื่อถือที่เหมาะสมได้ค่าสูงสุด คือ 0.915042 ซึ่งเมื่อพิจารณาแล้วพบว่า การตั้งค่าจำนวนมดและรังนก เท่ากับ 40 ส่งผลให้มีค่าความน่าเชื่อถือที่เหมาะสมโดยเฉลี่ยสูงสุด คือ 0.911792 ส่วนเบี่ยงเบนมาตรฐาน (S.D.) เท่ากับ 0.004697 ใช้เวลาเฉลี่ยในการค้นหาข้อมูล คือ 248.77 วินาที

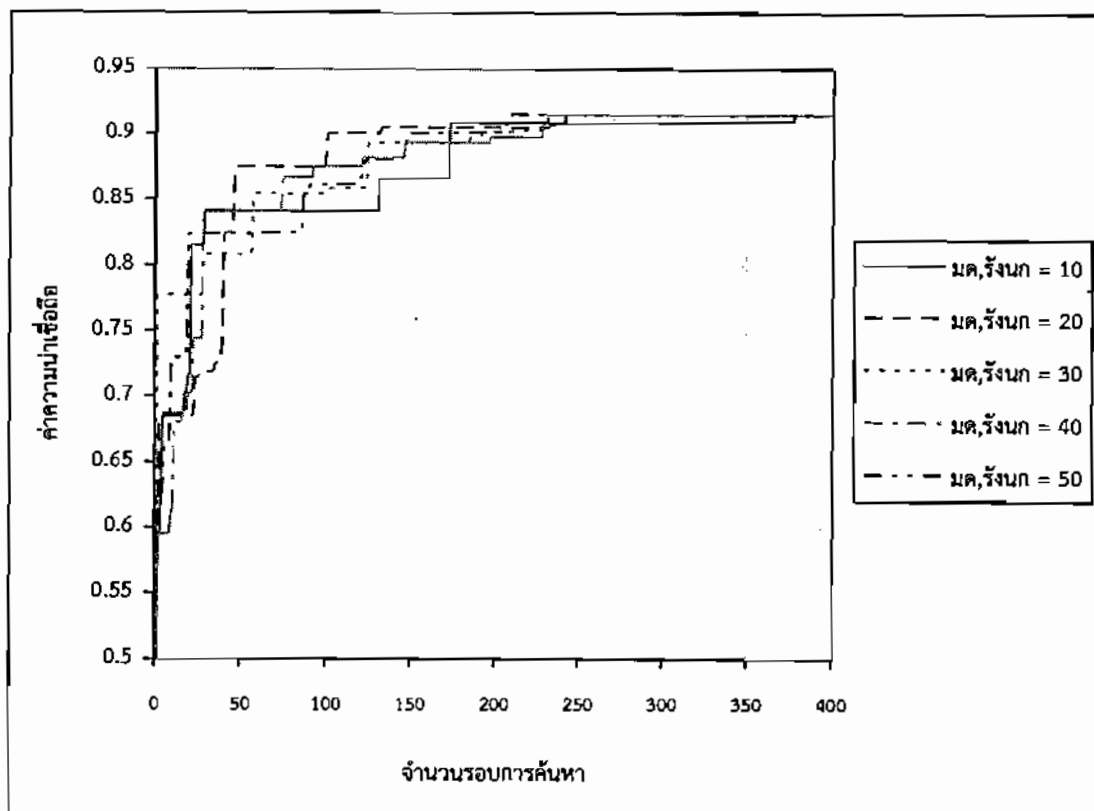
ตาราง 21 เปรียบเทียบผลการคัดเลือกเทคโนโลยีและราคាកันทุนรวมของอัลกอริทึม ACO-Lévy flight กรณีศึกษาที่ 2

จำนวนมดและรังนกตุ่นหัว	เทคโนโลยีที่เลือก	ค่าความน่าเชื่อถือสูงสุด	ราคากันทุนรวม (\$)
10	2-3-4-4-2-3-2-2-4-1-2-4-4-3-1	0.914126	895
20	3-3-3-4-2-3-2-2-4-1-2-4-4-3-1	0.915042	895
30	2-3-3-4-2-3-3-2-4-1-2-4-4-3-1	0.915042	895
40	2-3-3-4-3-3-2-2-4-1-2-4-4-3-1	0.915042	900
50	3-3-3-4-2-3-3-2-4-1-2-4-3-3-1	0.915042	895

จากตาราง 21 พบว่า การทดสอบประสิทธิภาพของอัลกอริทึม ACO-Lévy flight สำหรับกรณีศึกษาที่ 2 ที่ให้คำตอบค่าความน่าเชื่อถือที่เหมาะสมที่สุด โดยการปรับค่าจำนวนมดและรังนก 10, 20, 30, 40 และ 50 มีผลการคัดเลือกเทคโนโลยีที่ทำให้ระบบอนุกรมทั้งระบบมีค่าความน่าเชื่อถือสูงสุด ที่แตกต่างกัน 3 ค่า แต่มีราคากันทุนรวม \$895 ต่อกว่างบประมาณที่ตั้งไว้ \$900 pragky ใน การตั้งค่าจำนวนมดและรังนก เท่ากับ 20, 30 และ 50



#### 4.3.2.3 ผลการทดสอบประสิทธิภาพอัลกอริทึม Hybrid ACO-CS



ภาพประกอบ 33 ผลการทดสอบประสิทธิภาพอัลกอริทึม Hybrid ACO-CS กรณีศึกษาที่ 2

จากการประกอบ 33 แผนภูมิแสดงผลการทดสอบประสิทธิภาพอัลกอริทึม Hybrid ACO-CS สำหรับกรณีศึกษาที่ 2 โดยการปรับค่าจำนวนมดและรังนก 10,20,30,40 และ 50 ผลลัพธ์ของการค้นหาคำตอบที่ดีที่สุด พบว่า แนวโน้มการสูงเข้าสู่คำตอบของการหาค่าความน่าเชื่อถือที่เหมาะสม ใช้จำนวนรอบในการค้นหาใกล้เคียงกันโดยประมาณ อยู่ในช่วง 250 - 350 รอบ ซึ่งค่าความน่าเชื่อถือและเวลาเฉลี่ยในการค้นหา แสดงในตาราง 22

ตาราง 22 สรุปผลการทดสอบประสิทธิภาพอัลกอริทึม Hybrid ACO-CS กรณีศึกษาที่ 2

จำนวนมตและ รังนกคุณว่า	เวลาเฉลี่ย (วินาที)	ค่าความน่าเชื่อถือ			
		ต่ำสุด	สูงสุด	เฉลี่ย	S.D.
10	41.12	0.912294	0.915042	0.914767	0.000869
20*	48.68	0.915042	0.915042	0.915042	0
30	86.36	0.915042	0.915042	0.915042	0
40	119.54	0.915042	0.915042	0.915042	0
50	116.55	0.915042	0.915042	0.915042	0

จากตาราง 22 พบว่า จากการทดลองอัลกอริทึม Hybrid ACO-CS สำหรับกรณีศึกษาที่ 2 จำนวน 10 ครั้ง โดยการตั้งค่าจำนวนมตและรังนก 20, 30, 40 และ 50 สามารถประมาณผลคันหา ค่าตอบหาค่าความน่าเชื่อถือที่เหมาะสมได้ค่าสูงสุด มีค่าเฉลี่ย เท่ากับ 0.915042 ส่วนเบี่ยงเบน มาตรฐาน (S.D.) เท่ากับ 0 ซึ่งเมื่อพิจารณาแล้วพบว่า การตั้งค่าจำนวนมตและรังนก เท่ากับ 20 ใช้เวลา เฉลี่ยในการค้นหาข้อมูลเร็วที่สุด คือ 48.68 วินาที

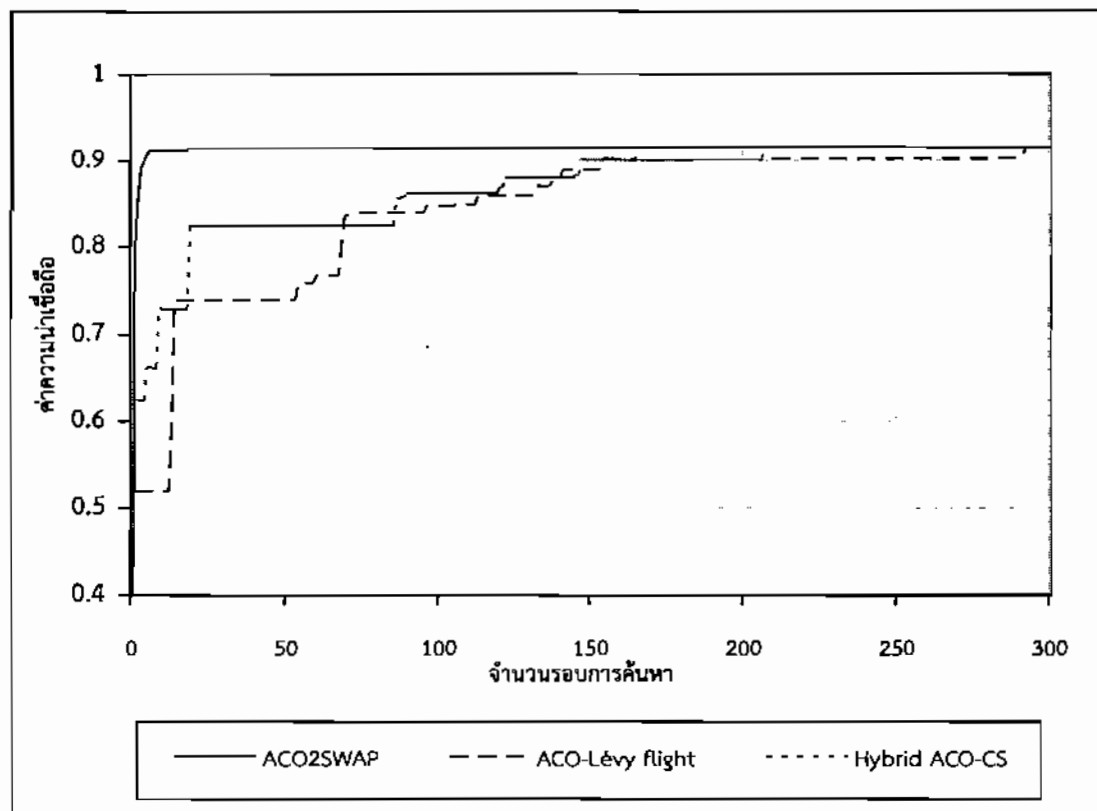
ตาราง 23 เปรียบเทียบผลการคัดเลือกเทคโนโลยีและราคาต้นทุนรวมของอัลกอริทึม Hybrid ACO-CS กรณีศึกษาที่ 2

จำนวนมตและ รังนกคุณว่า	เทคโนโลยีที่เลือก	ค่าความ น่าเชื่อถือสูงสุด	ราคาต้นทุน รวม (\$)
10	3-3-3-4-2-3-3-2-4-1-2-4-3-3-1	0.915042	895
20	2-3-3-4-2-3-3-2-4-1-2-4-4-3-1	0.915042	895
30	3-3-3-4-2-3-3-2-4-1-2-4-3-3-1	0.915042	895
40	2-3-3-4-2-3-3-2-4-1-2-4-4-3-1	0.915042	895
50	3-3-3-4-2-3-2-2-4-1-2-4-4-3-1	0.915042	895

จากตาราง 23 พบว่า การทดสอบประสิทธิภาพของอัลกอริทึม Hybrid ACO-CS สำหรับ กรณีศึกษาที่ 2 ที่ให้ค่าตอบค่าความน่าเชื่อถือที่เหมาะสมที่สุด โดยการปรับค่าจำนวนมตและรังนก 10, 20, 30, 40 และ 50 มีผลการคัดเลือกเทคโนโลยีที่ทำให้ระบบอนุกรมหั้งระบบมีค่าความน่าเชื่อถือสูงสุด ที่แตกต่างกัน 3 ค่า แต่มีราคาต้นทุนรวม \$895 ต่ำกว่างบประมาณที่ตั้งไว้ \$900 pragky ใน การตั้งค่า จำนวนมตและรังนก ชุดแรก คือ 10, 30 ชุดที่ 2 คือ 20, 40 และสุดท้าย คือ 50 ตามลำดับ



#### 4.3.2.4 เปรียบเทียบผลการทดสอบระหว่างอัลกอริทึม ACO2SWAP, ACO-Lévy flight และ Hybrid ACO-CS กรณีศึกษาที่ 2



ภาพประกอบ 34 ผลการเปรียบเทียบระหว่างอัลกอริทึมทั้ง 3 วิธี สำหรับกรณีศึกษาที่ 2

จากภาพประกอบ 34 เป็นการนำเสนอผลการเปรียบเทียบการค้นหาคำตอบที่ดีที่สุดของ อัลกอริทึม ACO2SWAP, ACO-Lévy flight และ Hybrid ACO-CS สำหรับกรณีศึกษาที่ 2 ซึ่งมี แนวโน้มการเข้าสู่คำตอบของอัลกอริทึม ACO2SWAP ใช้จำนวนรอบในการค้นหาคำตอบ น้อยที่สุด โดยประมาณคือ 30 รอบ รองลงมาคือ อัลกอริทึม Hybrid ACO-CS ใช้จำนวนรอบในการค้นหาคำตอบ โดยประมาณคือ 200 รอบ และลำดับสุดท้าย คือ อัลกอริทึม ACO-Lévy flight ใช้จำนวนรอบในการค้นหาคำตอบ โดยประมาณ 280 รอบ ซึ่งค่าความน่าเชื่อถือและเวลาเฉลี่ยในการค้นหา แสดงในตาราง 24

ตาราง 24 ผลการเปรียบเทียบประสิทธิภาพของอัลกอริทึมทั้ง 3 วิธี สำหรับกรณีศึกษาที่ 2

อัลกอริทึม	เวลาเฉลี่ย (s)	ค่าความน่าเชื่อถือ			
		ต่ำสุด	สูงสุด	เฉลี่ย	S.D.
ACO2SWAP*	5.53	0.915042	0.915042	0.915042	0
ACO-Lévy flight	248.77	0.901969	0.915042	0.911792	0.004697
Hybrid ACO-CS*	48.68	0.915042	0.915042	0.915042	0

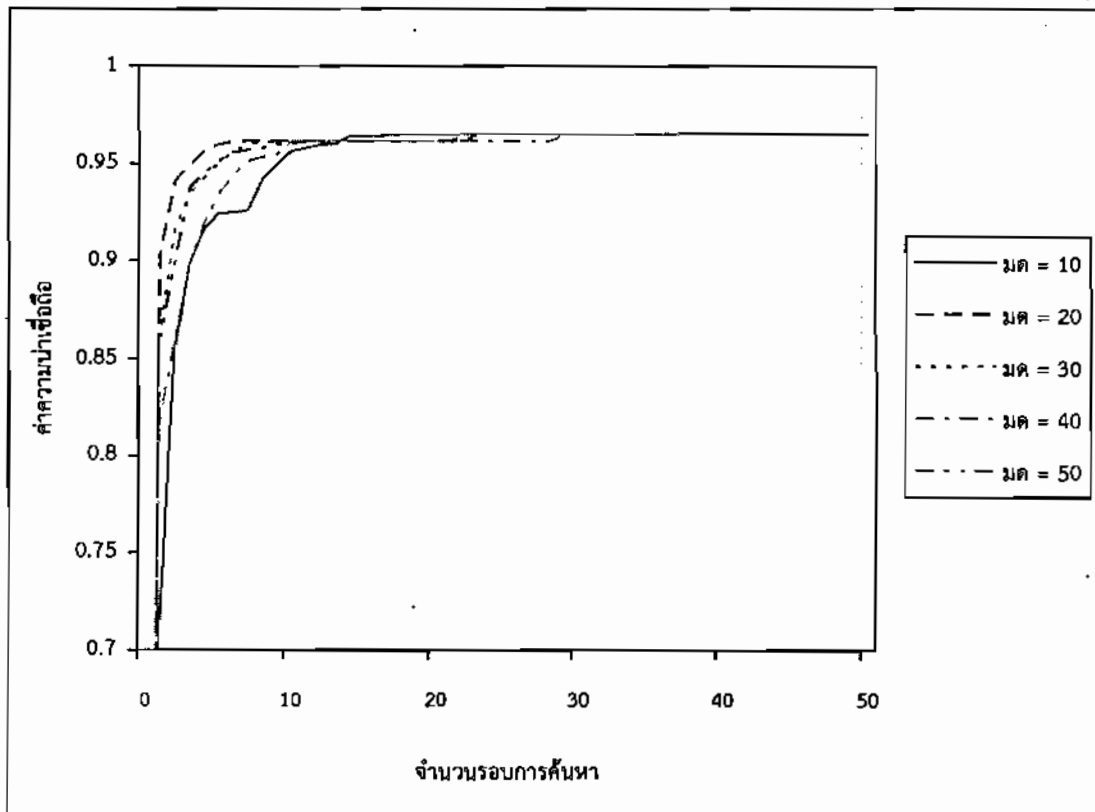
จากการ 24 โดยภาพรวมผลลัพธ์การค้นหาคำตอบที่ดีที่สุดสำหรับกรณีศึกษาที่ 2 ของแต่ละอัลกอริทึม พบว่า อัลกอริทึม ACO2SWAP และ Hybrid ACO-CS สามารถหาค่าความน่าเชื่อถือที่เหมาะสมที่สุด ตีกว่าอัลกอริทึม ACO-Lévy flight แต่และอัลกอริทึม ACO2SWAP ใช้เวลาเฉลี่ยในการค้นพบคำตอบที่ดีกว่า Hybrid ACO-CS ซึ่งเมื่อพิจารณาจากค่าเฉลี่ยและส่วนเบี่ยงเบนมาตรฐานแสดงให้เห็นว่าอัลกอริทึม ACO2SWAP และ Hybrid ACO-CS มีความแม่นยำสูงสำหรับการประมวลผลระบบอนุกรมที่มี 15 ระบบย่อย 80 ตัวแปร

#### 4.3.3 กรณีศึกษาที่ 3

ระบบอนุกรมที่มี 15 ระบบย่อย 100 ตัวแปร กำหนดเงื่อนไขราคาร่วมต้นทุน เท่ากับ \$1000

##### 4.3.3.1 ผลการทดสอบประสิทธิภาพอัลกอริทึม ACO2SWAP





ภาพประกอบ 35 ผลการทดสอบประสิทธิภาพอัลกอริทึม ACO2SWAP กรณีศึกษาที่ 3

จากภาพประกอบ 35 แผนภูมิแสดงผลการทดสอบประสิทธิภาพอัลกอริทึม ACO2SWAP สำหรับกรณีศึกษาที่ 3 โดยการปรับค่าจำนวนมต 10, 20, 30, 40 และ 50 ผลลัพธ์ของการค้นหาคำตอบที่ดีที่สุด พบว่า แนวโน้มการสู่เข้าสู่คำตอบของการหาค่าความน่าเชื่อถือที่เหมาะสม ใช้จำนวนรอบในการค้นหาใกล้เคียงกันโดยประมาณคือ 30 รอบ ซึ่งค่าความน่าเชื่อถือและเวลาเฉลี่ยในการค้นหาแสดงในตารางที่ 25

ตาราง 25 สรุปผลการทดสอบประสิทธิภาพอัลกอริทึม ACO2SWAP กรณีศึกษาที่ 3

จำนวนมต	เวลาเฉลี่ย (วินาที)	ค่าความน่าเชื่อถือ			
		ต่ำสุด	สูงสุด	เฉลี่ย	S.D.
10	8.03	0.965134	0.965134	0.965134	0
20	9.64	0.965134	0.965134	0.965134	0
30*	6.80	0.965134	0.965134	0.965134	0
40	8.07	0.965134	0.965134	0.965134	0
50	7.24	0.965134	0.965134	0.965134	0



จากตาราง 25 พบว่า จากการทดลองอัลกอริทึม ACO2SWAP สำหรับกรณีศึกษาที่ 3 จำนวน 10 ครั้ง การตั้งค่าจำนวนมด 10, 20, 30, 40 และ 50 สามารถประมาณผลคันหนาคำตอบหาค่าความน่าเชื่อถือที่เหมาะสมได้ค่าสูงสุดเท่ากันทั้งหมด คือ 0.965134 และมีค่าส่วนเบี่ยงเบนมาตรฐาน (S.D.) เท่ากับ 0.00 เท่ากันทั้งหมดเช่นกัน โดยภาพรวมใช้เวลาเฉลี่ยในการค้นหาข้อมูลอยู่ระหว่าง 6-10 วินาที

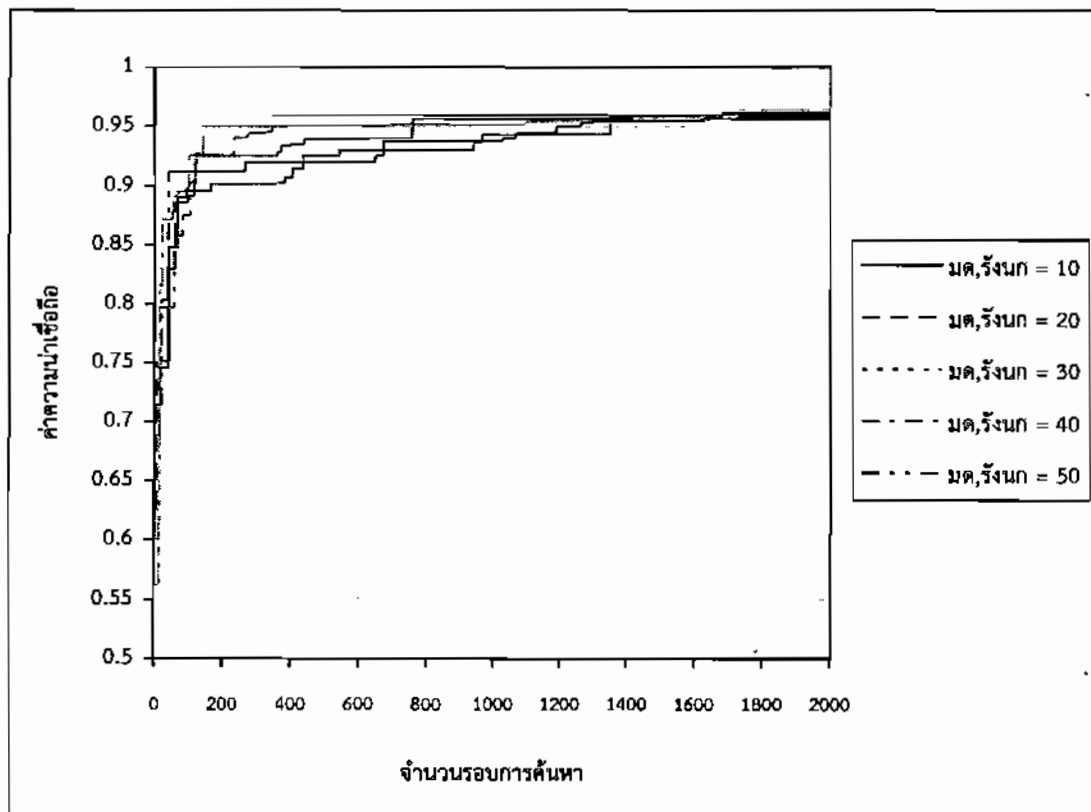
ตาราง 26 เปรียบเทียบผลการคัดเลือกเทคโนโลยีและราคาต้นทุนรวมของอัลกอริทึม ACO2SWAP กรณีศึกษาที่ 3

จำนวนมด	เทคโนโลยีที่เลือก	ค่าความน่าเชื่อถือสูงสุด	ราคาต้นทุนรวม (\$)
10	3-3-4-4-3-3-2-2-3-2-2-4-4-4-2	0.965134	995
20	3-3-4-4-3-3-2-2-3-2-2-4-4-4-2	0.965134	995
30	3-3-4-4-3-3-2-2-3-2-2-4-4-4-2	0.965134	995
40	3-3-4-4-3-3-2-2-3-2-2-4-4-4-2	0.965134	995
50	3-3-4-4-3-3-2-2-3-2-2-4-4-4-2	0.965134	995

จากตาราง 26 พบว่า การทดสอบประสิทธิภาพของอัลกอริทึม ACO2SWAP สำหรับกรณีศึกษาที่ 3 ที่ให้คำตอบค่าความน่าเชื่อถือที่เหมาะสมที่สุด โดยการปรับค่าจำนวนมด 10, 20, 30, 40 และ 50 มีผลการคัดเลือกเทคโนโลยีที่ทำให้ระบบอนุกรมทั้งระบบมีค่าความน่าเชื่อถือสูงสุด เป็นชุดเดียวกันทั้งหมด มีราคาต้นทุนรวม \$995 ต่ำกว่างบประมาณที่ตั้งไว้ \$1000 เทคโนโลยีที่เลือก คือ 3-3-4-4-3-3-2-2-3-2-2-4-4-4-2

#### 4.3.3.2 ผลการทดสอบประสิทธิภาพอัลกอริทึม ACO-Lévy flight





ภาพประกอบ 36 ผลการทดสอบประสิทธิภาพอัลกอริทึม ACO-Lévy flight กรณีศึกษาที่ 3

จากภาพประกอบ 36 แผนภูมิแสดงผลการทดสอบประสิทธิภาพอัลกอริทึม ACO-Lévy flight สำหรับกรณีศึกษาที่ 3 โดยการปรับค่าจำนวนมดและรังนก 10, 20, 30, 40 และ 50 ผลลัพธ์ของ การคันหาคำตอบที่ดีที่สุด พบว่า ไม่สามารถคันหาคำตอบที่เหมาะสมที่สุดได้ภายใน 2,000 รอบ เมื่อ เทียบกับอัลกอริทึม ACO2SWAP ซึ่งค่าความน่าเชื่อถือและเวลาเฉลี่ยในการคันหา แสดงในตารางที่ 27

ตาราง 27 สรุปผลการทดสอบประสิทธิภาพอัลกอริทึม ACO-Lévy flight กรณีศึกษาที่ 3

จำนวนมดและ รังนกตัวหน่าว (วินาที)	เวลาเฉลี่ย (วินาที)	ค่าความน่าเชื่อถือ			
		ต่ำสุด	สูงสุด	เฉลี่ย	S.D.
10	89.97	0.935545	0.958067	0.946887	0.007194
20	170.05	0.937275	0.960667	0.951029	0.007252
30	250.06	0.943860	0.963202	0.953443	0.005847
40*	329.33	0.948178	0.964070	0.956515	0.004523
50	409.60	0.948105	0.964070	0.955490	0.004838

จากตาราง 27 พบว่า จากการทดลองอัลกอริทึม ACO-Lévy flight สำหรับกรณีศึกษาที่ 3 จำนวน 10 ครั้ง โดยการตั้งค่าจำนวนมดและรังนก เท่ากับ 40 สามารถประมาณผลค่าน้ำค่าตอบค่าความน่าเชื่อถือที่เหมาะสมได้เฉลี่ยสูงสุด คือ 0.956515 ส่วนเบี่ยงเบนมาตรฐาน (S.D.) เท่ากับ 0.004523 ใช้เวลาเฉลี่ยในการค้นหาข้อมูล คือ 329.33 วินาที

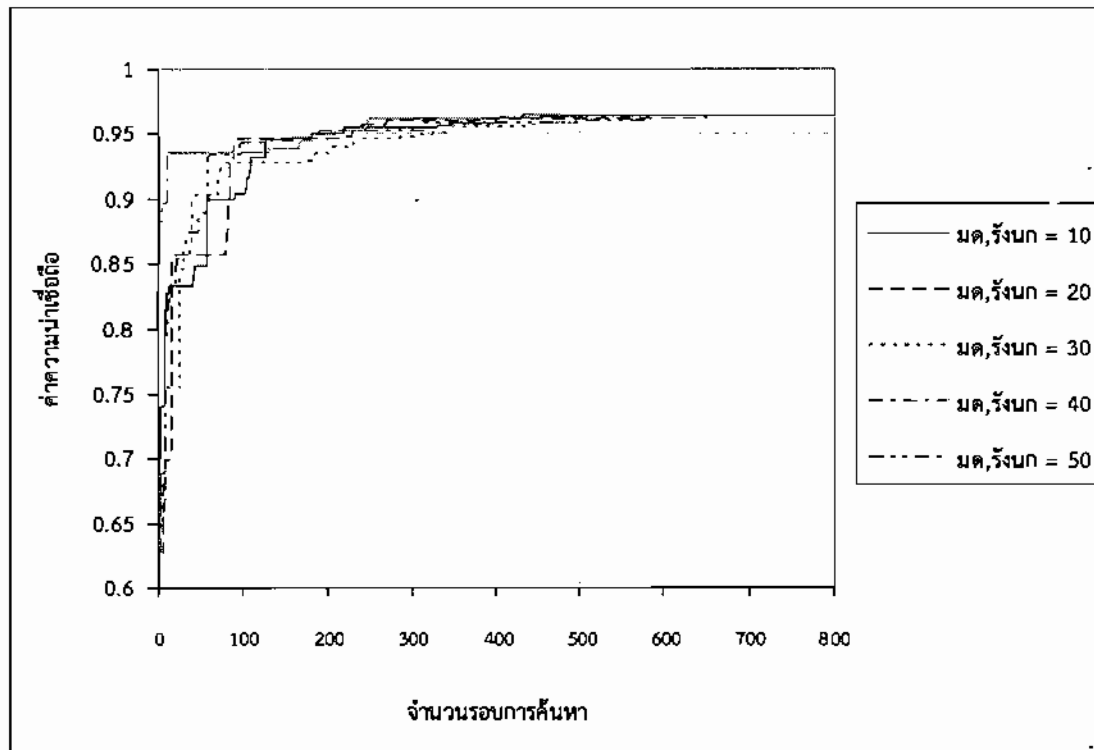
ตาราง 28 เปรียบเทียบผลการคัดเลือกเทคโนโลยีและราคาต้นทุนรวมของอัลกอริทึม ACO-Lévy flight กรณีศึกษาที่ 3

จำนวนมดและรังนกตุ่น	เทคโนโลยีที่เลือก	ค่าความน่าเชื่อถือสูงสุด	ราคาต้นทุนรวม (₹)
10	3-3-4-4-4-3-2-2-3-2-3-4-4-4-1	0.958067	1000
20	3-3-3-5-3-3-3-2-4-1-2-4-4-4-2	0.960667	1000
30	3-3-4-4-3-3-3-2-3-1-2-4-4-4-2	0.963202	990
40*	3-3-4-5-3-3-3-2-3-2-2-4-4-4-1	0.964070	995
50	3-3-4-5-3-3-3-2-3-1-2-4-4-4-2	0.964070	1000

จากตาราง 28 พบว่า การทดสอบประสิทธิภาพของอัลกอริทึม ACO-Lévy flight สำหรับกรณีศึกษาที่ 3 ซึ่งจากการปรับค่าจำนวนมดและรังนก เท่ากับ 40 ทำให้ได้ค่าตอบค่าความน่าเชื่อถือที่เหมาะสมที่สุด เท่ากับ 0.964070 มีผลการคัดเลือกเทคโนโลยีที่ทำให้ระบบอนุกรมทั้งระบบมีค่าความน่าเชื่อถือสูงสุด คือ 3-3-4-5-3-3-3-2-3-2-2-4-4-4-1 มีราคาต้นทุนรวม \$995 ต่ำกว่างบประมาณที่ตั้งไว้ \$1000 และเมื่อเทียบกับค่าจำนวนมดและรังนก เท่ากับ 50

#### 4.3.3.3 ผลการทดสอบประสิทธิภาพอัลกอริทึม Hybrid ACO-CS





ภาพประกอบ 37 ผลการทดสอบประสิทธิภาพอัลกอริทึม Hybrid ACO-CS กรณีศึกษาที่ 3

จากการประกอบ 37 แผนภูมิแสดงผลการทดสอบประสิทธิภาพอัลกอริทึม Hybrid ACO-CS สำหรับกรณีศึกษาที่ 3 โดยการปรับค่าจำนวนมดและรั้งนก 10,20,30,40 และ 50 ผลลัพธ์ของการค้นหาคำตอบที่ดีที่สุด พบว่า แนวโน้มการลู่เข้าสู่คำตอบของการหาค่าความน่าเชื่อถือที่เหมาะสมที่สุดคือ การตั้งค่าจำนวนมดและรั้งนก เท่ากับ 40 โดยใช้จำนวนรอบในการค้นหาโดยประมาณ 450 รอบ และการตั้งค่าจำนวนมดและรั้งนก เท่ากับ 10, 20, 30 และ 50 ใช้จำนวนรอบในการค้นหาใกล้เคียงกันโดยประมาณ คือ 800 รอบ ซึ่งค่าความน่าเชื่อถือและเวลาเฉลี่ยในการค้นหา แสดงในตารางที่ 29

ตาราง 29 สรุปผลการทดสอบประสิทธิภาพอัลกอริทึม Hybrid ACO-CS กรณีศึกษาที่ 3

จำนวนมดและ รั้งนกต่อช่วง	เวลาเฉลี่ย (วินาที)	ค่าความน่าเชื่อถือ			
		ต่ำสุด	สูงสุด	เฉลี่ย	S.D.
10	87.44	0.964070	0.965134	0.964815	0.000514
20	180.77	0.964070	0.965134	0.964834	0.000484
30*	183.66	0.965134	0.965134	0.965134	0
40	286.40	0.964070	0.965134	0.965028	0.000337
50	315.25	0.965134	0.965134	0.965134	0



ค่าความน่าเชื่อถือที่เหมาะสมได้ค่าสูงที่สุด เท่ากับ 0.965134 โดยมีค่าเฉลี่ย เท่ากับ 0.965134 ส่วนเบี่ยงเบนมาตรฐาน (S.D.) เท่ากับ 0 เมื่อพิจารณาในด้านเวลา พบว่า การตั้งค่าจำนวนมดและรังนก เท่ากับ 30 ใช้เวลาเฉลี่ยในการค้นหาข้อมูล 180.77 วินาที น้อยกว่า พบว่า การตั้งค่าจำนวนมดและรังนก เท่ากับ 50

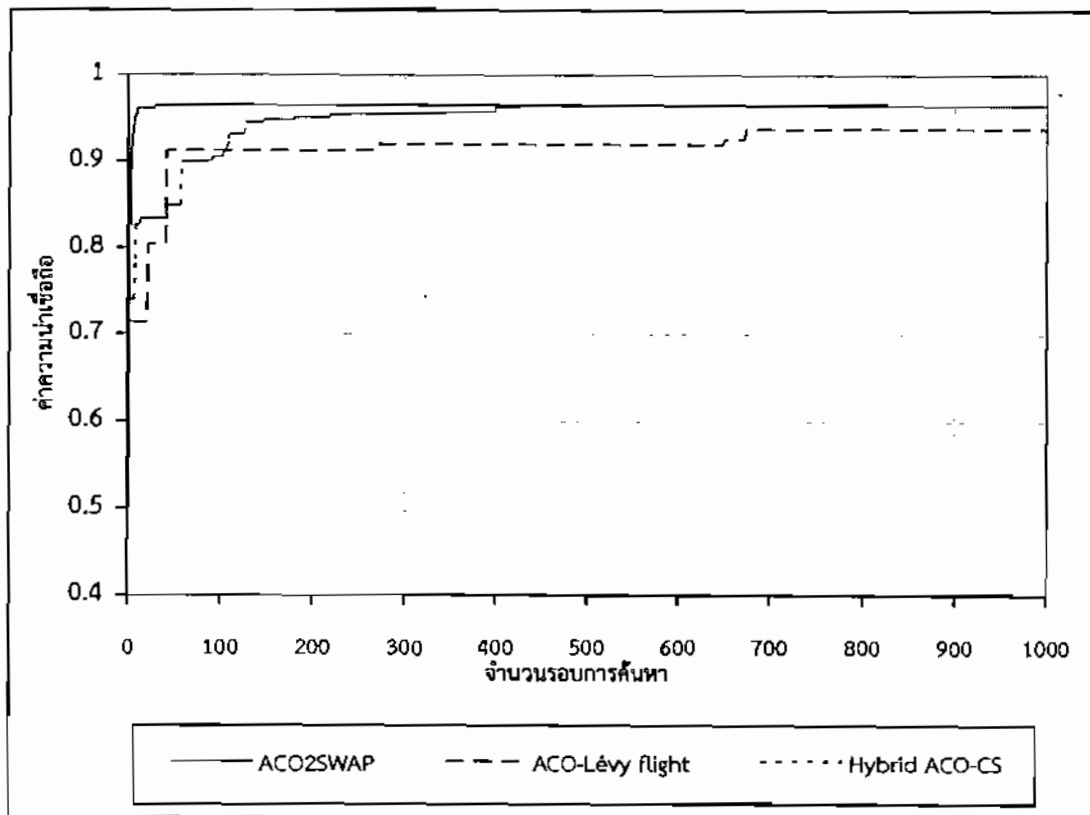
ตาราง 30 เปรียบเทียบผลการคัดเลือกเทคโนโลยีและราคาต้นทุนรวมของอัลกอริทึม Hybrid ACO-CS กรณีศึกษาที่ 3

จำนวนมดและรังนกคุณภาพ	เทคโนโลยีที่เลือก	ค่าความน่าเชื่อถือสูงสุด	ราคาต้นทุนรวม (\$)
10	3-3-4-4-3-3-2-2-3-2-2-4-4-4-2	0.965134	995
20	3-3-4-4-3-3-2-2-3-2-2-4-4-4-2	0.965134	995
30	3-3-4-4-3-3-2-2-3-2-2-4-4-4-2	0.965134	995
40	3-3-4-4-3-3-2-2-3-2-2-4-4-4-2	0.965134	995
50	3-3-4-4-3-3-2-2-3-2-2-4-4-4-2	0.965134	995

จากตาราง 30 พบว่า การทดสอบประสิทธิภาพของอัลกอริทึม Hybrid ACO-CS สำหรับ กรณีศึกษาที่ 3 ที่ให้คำตอบค่าความน่าเชื่อถือที่เหมาะสมที่สุด โดยการปรับค่าจำนวนมดและรังนก 10, 20, 30, 40 และ 50 มีผลการคัดเลือกเทคโนโลยีที่ทำให้ระบบอนุกรมหั้งระบบมีค่าความน่าเชื่อถือสูงสุด เป็นชุดเดียวกันทั้ง 5 ชุด แต่มีราคาต้นทุนรวม \$995 ค่ากว่างบประมาณที่ตั้งไว้ \$1000

#### 4.3.3.4 เปรียบเทียบผลการทดสอบระหว่างอัลกอริทึม ACO2SWAP, ACO-Lévy flight และ Hybrid ACO-CS กรณีศึกษาที่ 3





ภาพประกอบ 38 ผลการเปรียบเทียบระหว่างอัลกอริทึมทั้ง 3 วิธี สำหรับกรณีศึกษาที่ 3

จากการประกอบ 38 เป็นการนำเสนอผลการเปรียบเทียบการค้นหาคำตอบที่ดีที่สุดของอัลกอริทึม ACO2SWAP, ACO-Lévy flight และ Hybrid ACO-CS สำหรับกรณีศึกษาที่ 3 ซึ่งมีแนวโน้มการสู่เข้าสู่คำตอบของอัลกอริทึม ACO2SWAP ใช้จำนวนรอบในการค้นหาคำตอบ น้อยที่สุด โดยประมาณคือ 30 รอบ รองลงมาคือ อัลกอริทึม Hybrid ACO-CS ใช้จำนวนรอบในการค้นหาคำตอบ โดยประมาณคือ 450 รอบ และอัลกอริทึม ACO-Lévy flight พบร่วมกันไม่สามารถค้นหาคำตอบที่เหมาะสมที่สุดได้ภายใน 2,000 รอบ ซึ่งค่าความน่าเชื่อถือและเวลาเฉลี่ยในการค้นหา แสดงในตาราง 31

ตาราง 31 ผลการเปรียบเทียบประสิทธิภาพของอัลกอริทึมทั้ง 3 วิธี สำหรับกรณีศึกษาที่ 3

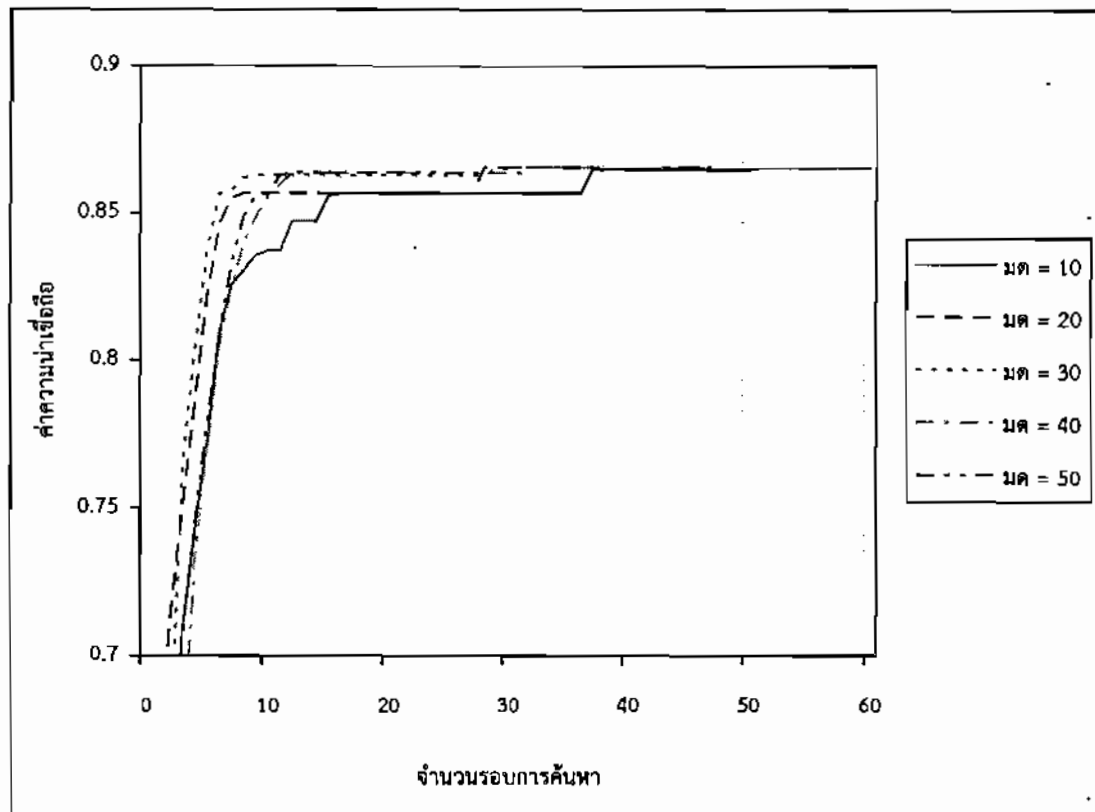
อัลกอริทึม	เวลาเฉลี่ย (s)	ค่าความน่าเชื่อถือ			
		ต่ำสุด	สูงสุด	เฉลี่ย	S.D.
ACO2SWAP*	6.80	0.965134	0.965134	0.965134	0
ACO-Lévy flight	329.33	0.948178	0.964070	0.956515	0.004523
Hybrid ACO-CS	183.66	0.965134	0.965134	0.965134	0

จากตาราง 31 โดยภาพรวมผลลัพธ์การค้นหาคำตอบที่ดีที่สุดสำหรับกรณีศึกษาที่ 3 ของแต่ละอัลกอริทึม พบร่วม อัลกอริทึม ACO2SWAP และ Hybrid ACO-CS สามารถหาค่าความน่าเชื่อถือที่เหมาะสมที่สุด ดีกว่าอัลกอริทึม ACO-Lévy flight แต่และอัลกอริทึม ACO2SWAP ใช้เวลาเฉลี่ยในการค้นพบคำตอบที่ดีกว่า Hybrid ACO-CS ซึ่งเมื่อพิจารณาจากค่าเฉลี่ยและส่วนเบี่ยงเบนมาตรฐานแสดงให้เห็นว่าอัลกอริทึม ACO2SWAP และ Hybrid ACO-CS มีความแม่นยำสูงสำหรับการประมวลผลระบบอนุกรมที่มี 15 ระบบย่อย 100 ตัวแปร

#### 4.3.4 กรณีศึกษาที่ 4

ระบบอนุกรมที่มี 25 ระบบย่อย 166 ตัวแปร กำหนดเงื่อนไขราคาร่วมต้นทุน เท่ากับ \$1400

##### 4.3.4.1 ผลการทดสอบประสิทธิภาพอัลกอริทึม ACO2SWAP



ภาพประกอบ 39 ผลการทดสอบประสิทธิภาพอัลกอริทึม ACO2SWAP กรณีศึกษาที่ 4

Mahasarakham University

จากภาพประกอบ 39 แผนภูมิแสดงผลการทดสอบประสิทธิภาพอัลกอริทึม ACO2SWAP

คำตอบที่ดีที่สุด พบว่า แนวโน้มการถูเข้าสู่ค่าตอบของกราฟหาค่าความน่าเชื่อถือที่เหมาะสมที่สุด ใช้จำนวนรอบในการค้นหาใกล้เคียงกันโดยประมาณ ระหว่าง 30 - 60 รอบ ซึ่งค่าความน่าเชื่อถือ และเวลาเฉลี่ยในการค้นหา แสดงในตาราง 32

ตาราง 32 สรุปผลการทดสอบประสิทธิภาพอัลกอริทึม ACO2SWAP กรณีศึกษาที่ 4

จำนวนมด	เวลาเฉลี่ย (วินาที)	ค่าความน่าเชื่อถือ			
		ต่ำสุด	สูงสุด	เฉลี่ย	S.D.
10	46.05	0.865439	0.865439	0.865439	0
20	57.30	0.865439	0.865439	0.865439	0
30	49.25	0.865439	0.865439	0.865439	0
40*	39.72	0.865439	0.865439	0.865439	0
50	194.04	0.864660	0.865439	0.865361	0.000246

จากตาราง 32 พบว่า จากการทดลองอัลกอริทึม ACO2SWAP สำหรับกรณีศึกษาที่ 4 จำนวน 10 ครั้ง การตั้งค่าจำนวนมด 10, 20, 30 และ 40 สามารถประมวลผลค้นหาคำตอบหาค่าความน่าเชื่อถือที่เหมาะสมได้ค่าสูงสุดเท่ากัน คือ 0.865439 และมีค่าส่วนเบี่ยงเบนมาตรฐาน (S.D.) เท่ากับ 0.00 เมื่อพิจารณาโดยภาพรวม พบว่า การตั้งค่าจำนวนมด เท่ากับ 40 ใช้เวลาเฉลี่ยในการค้นหาข้อมูลเร็วที่สุดคือ 39.72 วินาที

ตาราง 33 เปรียบเทียบผลการคัดเลือกเทคโนโลยีและราคาน้ำหน่วงของอัลกอริทึม ACO2SWAP กรณีศึกษาที่ 4

จำนวน มด	เทคโนโลยีที่เลือก	ค่าความ น่าเชื่อถือ <sup>*</sup> สูงสุด	ราคาน้ำหน่วง (\$)
10	2-3-3-4-2-3-2-2-3-4-4-1-2-3-3-5-2-3-2-2-3-1	0.865439	1400
20	2-3-3-5-2-3-2-2-3-2-3-4-3-1-3-3-3-4-2-3-2-2-3-1	0.865439	1400
30	2-3-3-4-2-3-2-2-3-1-2-3-4-4-1-3-3-3-5-2-3-2-2-3-1	0.865439	1395
40*	2-3-3-4-2-3-2-2-3-1-2-3-4-4-1-3-3-3-5-2-3-2-2-3-1	0.865439	1395
50	2-3-3-4-2-3-2-2-3-2-2-3-4-3-1-3-3-3-5-2-3-2-2-3-1	0.865439	1400



ตาราง 10 (ต่อ)

เลเว่ ไฟล์ $\beta \alpha$	ค่า $\alpha \beta$ อัลกอริทึมผุ่งมด, ค่า $p\alpha$ อัลกอริทึมนกดุเหว่า									
	0.8, 0.5, $p\alpha=0.6$	0.8, 1, $p\alpha=0.65$	1, 0.5, $p\alpha=0.65$	1, 0.5, $p\alpha=0.75$	1, 0.8, $p\alpha=0.7$	1, 1, $p\alpha=0.75$	2, 0.5, $p\alpha=0.6$	2, 1, $p\alpha=0.7$	3, 0.8, $p\alpha=0.75$	5, 0.5, $p\alpha=0.55$
2, 0.4	0.85584	0.85611	0.85651	0.85662	0.85659	0.85644	0.85241	0.85647	0.85601	0.85217
2, 0.5	0.85665	0.85560	0.85685	0.85644	0.85586	0.85402	0.85659	0.85511	0.85586	0.85206
2, 0.6	0.85588	0.85433	0.85682	0.85667	0.85507	0.85524	0.85653	0.84749	0.85091	0.85613
2, 0.7	0.85598	0.85574	0.85584	0.85516	0.85610	0.85351	0.85236	0.85306	0.85057	0.85512
2, 0.8	0.85571	0.85501	0.85639	0.85621	0.85556	0.85327	0.85466	0.83741	0.85223	0.84532
2, 0.9	0.85639	0.85526	0.85573	0.85564	0.85565	0.85296	0.85670	0.84932	0.84657	0.85458

จากตาราง 10 พบว่า ผลการวิเคราะห์ค่าพารามิเตอร์ที่เกี่ยวข้องกับอัลกอริทึมผุ่งมด คือ  $\alpha = 1$ ,  $\beta = 0.5$  อัลกอริทึมนกดุเหว่า คือ  $p\alpha = 0.65$  และเลเว่ไฟล์ คือ  $\beta = 2$   $\alpha = 1$ , ที่ให้ผลลัพธ์ดีที่สุด

โดยสรุปจากการทดลองข้างต้น ค่าพารามิเตอร์ที่จะนำไปใช้ในการทดสอบประสิทธิภาพ อัลกอริทึมกับระบบอนุกรม มีดังนี้

1. อัลกอริทึม ACO2SWAP ตั้งค่าพารามิเตอร์คือ ค่า  $\alpha = 0.8$  และ  $\beta = 1$
2. อัลกอริทึม ACO-Lévy flight และ Hybrid ACO-CS ตั้งค่าพารามิเตอร์ดังนี้
  - 2.1 อัลกอริทึมผุ่งมด คือ  $\alpha = 1$ ,  $\beta = 0.5$
  - 2.2 อัลกอริทึมนกดุเหว่า คือ  $p\alpha = 0.65$
  - 2.3 เลเว่ไฟล์ คือ  $\beta = 2$   $\alpha = 1$

#### 4.3 ผลการทดสอบประสิทธิภาพอัลกอริทึมกับระบบอนุกรม

การทดสอบประสิทธิภาพอัลกอริทึมกับระบบอนุกรมโดยใช้ข้อมูลตัวอย่างจากงานวิจัย ที่ผ่านมา [16-17] รวม 5 ชุดตัวอย่าง ดังแสดงในภาคผนวก และใช้การตั้งค่าพารามิเตอร์จากผลการทดลองในหัวข้อที่ผ่านมา โดยการทดสอบครั้งนี้จะมีการปรับค่าเฉลี่ยจำนวนมดและจำนวนรังนก คือ 10, 20, 30, 40, 50 และกำหนดเงื่อนไขการหยุด คือ จำนวนรอบการค้นหาสูงสุด เท่ากับ 2000 รอบ หรือเมื่ออัลกอริทึมพบค่าตอบที่เหมาะสมที่สุด ซึ่งการทดสอบอัลกอริทึม ACO2SWAP, ACO-Lévy flight และ Hybrid ACO-CS จะแบ่งเป็น 5 กรณีศึกษา ดังแสดงในตารางที่ 4 สรุปได้ดังนี้

1. กรณีศึกษาที่ 1 ระบบอนุกรมที่มี 15 ระบบอยู่ 60 ตัวแปร
2. กรณีศึกษาที่ 2 ระบบอนุกรมที่มี 15 ระบบอยู่ 80 ตัวแปร

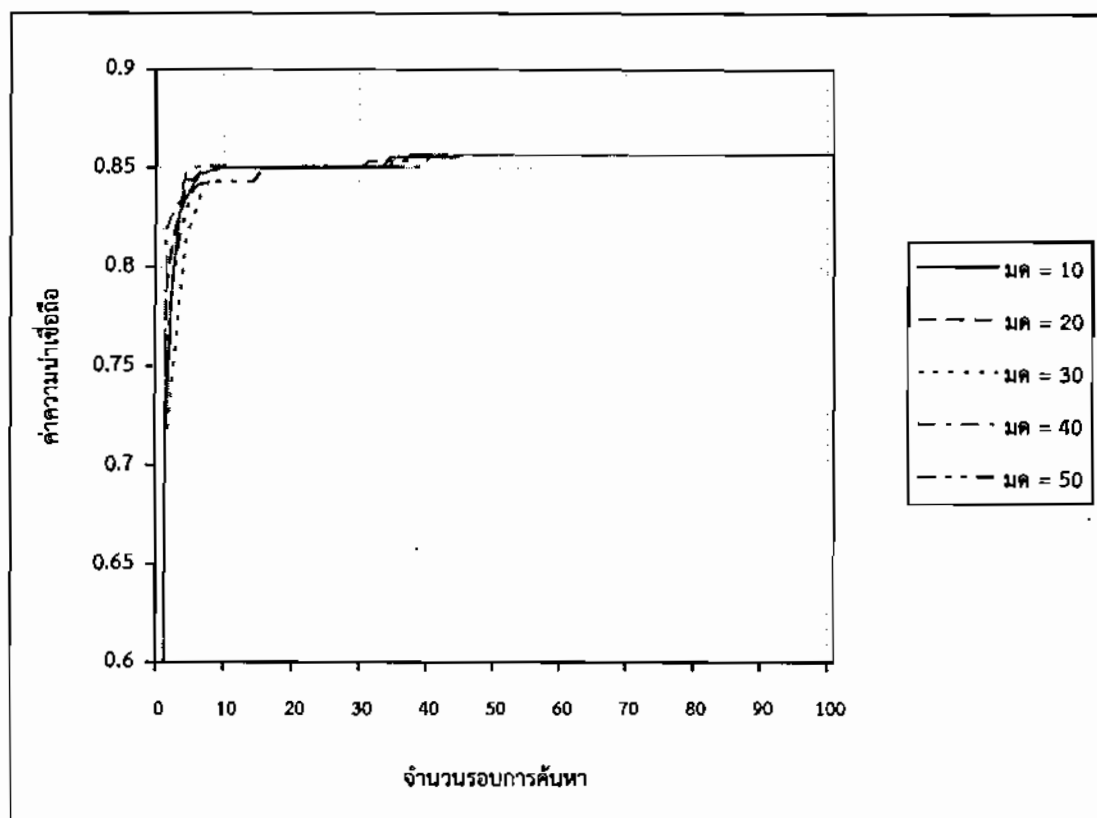


3. กรณีศึกษาที่ 3 ระบบอนุกรมที่มี 15 ระบบย่อย 100 ตัวแปร
  4. กรณีศึกษาที่ 4 ระบบอนุกรมที่มี 25 ระบบย่อย 166 ตัวแปร
  5. กรณีศึกษาที่ 5 ระบบอนุกรมที่มี 40 ระบบย่อย 266 ตัวแปร
- สามารถนำเสนอผลการทดสอบตามลำดับดังนี้

#### 4.3.1 กรณีศึกษาที่ 1

ระบบอนุกรมที่มี 15 ระบบย่อย 60 ตัวแปร กำหนดเงื่อนไขราคาร่วมต้นทุน เท่ากับ \$1000

##### 4.3.1.1 ผลการทดสอบประสิทธิภาพอัลกอริทึม ACO2SWAP



ภาพประกอบ 27 ผลการทดสอบประสิทธิภาพอัลกอริทึม ACO2SWAP กรณีศึกษาที่ 1

จากภาพประกอบ 27 แผนภูมิแสดงผลการทดสอบประสิทธิภาพอัลกอริทึม ACO2SWAP สำหรับกรณีศึกษาที่ 1 โดยการปรับค่าจำนวนมค 10,20,30,40 และ 50 ผลลัพธ์ของการค้นหาคำตอบที่ดีที่สุด พบว่า แนวโน้มการสูงเข้าสู่ค่าตอบของ การหาค่าความน่าเชื่อถือที่เหมาะสม ใช้จำนวนรอบในการค้นหาใกล้เคียงกันโดยประมาณคือ 50 รอบ ซึ่งค่าความน่าเชื่อถือและเวลาเฉลี่ยในการค้นหาแสดงในตาราง 11



ตาราง 11 สรุปผลการทดสอบประสิทธิภาพอัลกอริทึม ACO2SWAP กรณีศึกษาที่ 1

จำนวนมด	เวลาเฉลี่ย (วินาที)	ค่าความน่าเชื่อถือ			
		ต่ำสุด	สูงสุด	เฉลี่ย	S.D.
10*	23.34	0.857054	0.857054	0.857054	0
20	34.39	0.857054	0.857054	0.857054	0
30	43.22	0.857054	0.857054	0.857054	0
40	129.80	0.850098	0.857054	0.856264	0.002187
50	58.92	0.857054	0.857054	0.857054	0

จากตาราง 11 พบว่า จากการทดลองอัลกอริทึม ACO2SWAP สำหรับกรณีศึกษาที่ 1 จำนวน 10 ครั้ง สามารถประมาณผลคันหาคำตอบหากำหนดค่าความน่าเชื่อถือที่เหมาะสมได้ค่าสูงสุด คือ 0.857054 โดยการตั้งค่าจำนวนมด 10, 20, 30 และ 50 มีค่าเฉลี่ยเท่ากับ 0.857054 ส่วนเบี่ยงเบนมาตรฐาน (S.D.) เท่ากับ 0.00 และพบว่า การตั้งค่าจำนวนมด 10 ดัว ใช้เวลาเฉลี่ยในการค้นหาข้อมูลเร็วที่สุด เท่ากับ 23.34 วินาที

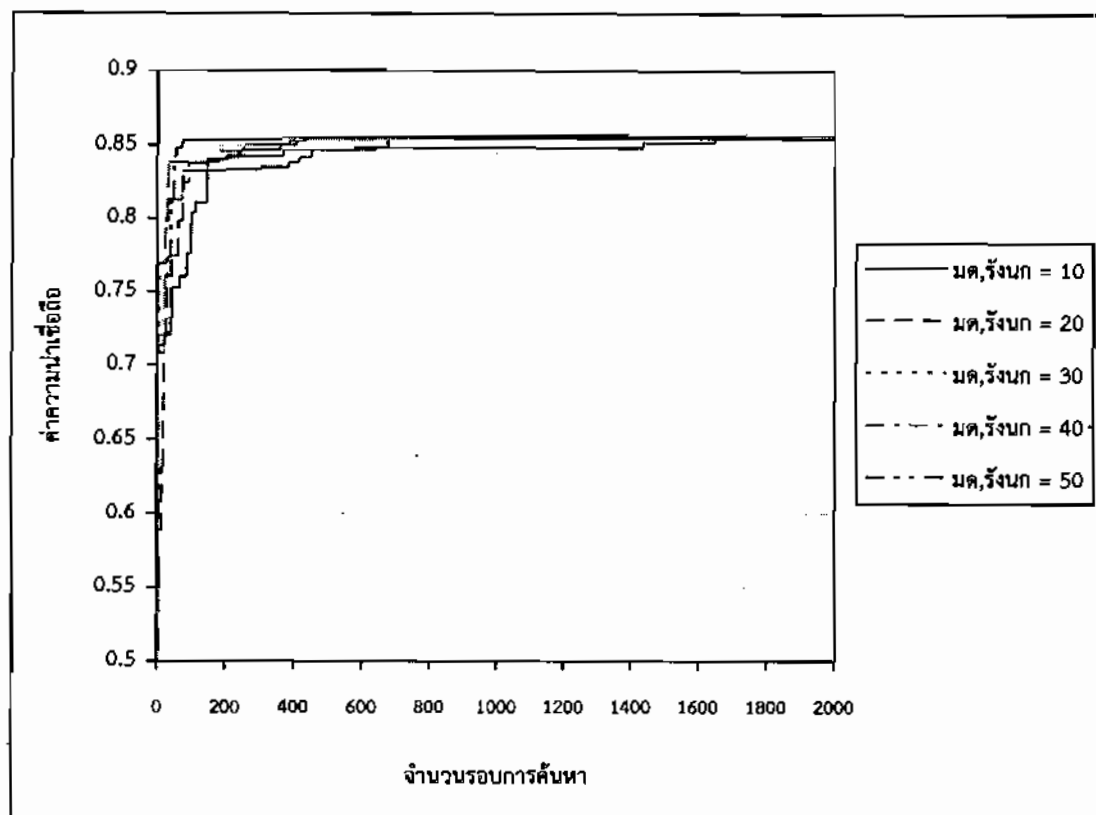
ตาราง 12 เปรียบเทียบผลการคัดเลือกเทคโนโลยีและราคาต้นทุนรวมของอัลกอริทึม ACO2SWAP กรณีศึกษาที่ 1

จำนวนมด	เทคโนโลยีที่เลือก	ค่าความน่าเชื่อถือสูงสุด	ราคาต้นทุนรวม (\$)
10	3-4-5-2-3-3-2-3-2-2-2-3-4-3-2	0.857054	990
20	3-4-5-2-3-3-2-3-2-2-2-3-4-3-2	0.857054	990
30	3-4-5-2-3-3-2-3-2-2-2-3-4-3-2	0.857054	990
40	3-4-5-2-3-3-2-3-2-2-2-3-4-3-2	0.857054	990
50	3-4-5-2-3-3-2-3-2-2-2-3-4-3-2	0.857054	990

จากตาราง 12 พบว่า การทดสอบประสิทธิภาพของอัลกอริทึม ACO2SWAP สำหรับกรณีศึกษาที่ 1 ที่ให้คำตอบค่าความน่าเชื่อถือที่เหมาะสมที่สุด โดยการปรับค่าจำนวนมด 10, 20, 30, 40 และ 50 มีผลการคัดเลือก เทคโนโลยีที่ทำให้ระบบอนุกรมหั้งระบบมีค่าความน่าเชื่อถือสูงสุด เป็นเทคโนโลยีเดียวกันทั้งหมด คือ 3-4-5-2-3-3-2-3-2-2-2-3-4-3-2 และใช้งบประมาณหั้งสั้น \$990



#### 4.3.1.2 ผลการทดสอบประสิทธิภาพอัลกอริทึม ACO-Lévy flight

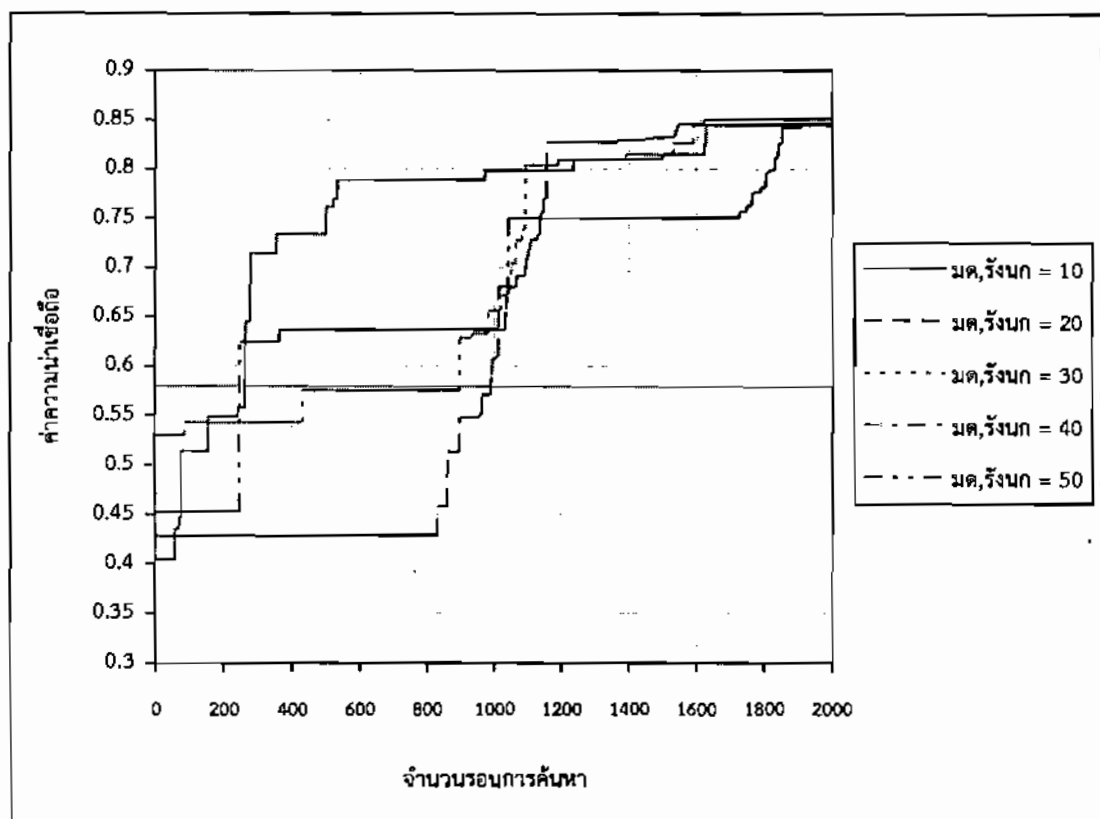


ภาพประกอบ 28 ผลการทดสอบประสิทธิภาพอัลกอริทึม ACO-Lévy flight กรณีศึกษาที่ 1

จากภาพประกอบ 28 แผนภูมิแสดงผลการทดสอบประสิทธิภาพอัลกอริทึม ACO-Lévy flight สำหรับกรณีศึกษาที่ 1 โดยการปรับค่าจำนวนมดและรังนก 10,20,30,40 และ 50 ผลลัพธ์ของการค้นหาคำตอบที่ดีที่สุด พบว่า แนวโน้มการลู่เข้าสู่คำตอบของการหาค่าความน่าเชื่อถือที่เหมาะสมใช้จำนวนรอบในการค้นหาต่ำสุดโดยประมาณจำนวน 1,000 รอบ และสูงสุดโดยประมาณ 1,800 รอบ ซึ่งค่าความน่าเชื่อถือและเวลาเฉลี่ยในการค้นหา แสดงในตาราง 13

จากตาราง 33 พบว่า การทดสอบประสิทธิภาพของอัลกอริทึม ACO2SWAP สำหรับกรณีศึกษาที่ 4 ที่ให้คำตอบค่าความน่าเชื่อถือที่เหมาะสมที่สุด โดยการปรับค่าจำนวนเมด 30 และ 40 มีผลการคัดเลือกเทคโนโลยีที่ทำให้ระบบอนุกรรทั้งระบบมีค่าความน่าเชื่อถือสูงสุดเป็นชุดเดียวกันทั้งหมด มีราคาต้นทุนรวม \$1395 ต่ำกว่างบประมาณที่ตั้งไว้ \$1400 เทคโนโลยีที่เลือก คือ 2-3-3-4-2-3-2-2-3-1-2-3-4-4-1-3-3-5-2-3-2-2-3-1

#### 4.3.4.2 ผลการทดสอบประสิทธิภาพอัลกอริทึม ACO-Lévy flight



ภาพประกอบ 40 ผลการทดสอบประสิทธิภาพอัลกอริทึม ACO-Lévy flight กรณีศึกษาที่ 4

จากการทดสอบ 40 แผนภูมิแสดงผลการทดสอบประสิทธิภาพอัลกอริทึม ACO-Lévy flight สำหรับกรณีศึกษาที่ 4 โดยการปรับค่าจำนวนเมดและรังนก 10, 20, 30, 40 และ 50 ผลลัพธ์ของ การค้นหาคำตอบที่ดีที่สุด พบว่า ไม่สามารถค้นหาคำตอบที่เหมาะสมที่สุดได้ภายใน 2,000 รอบ เมื่อเทียบกับอัลกอริทึม ACO2SWAP ซึ่งค่าความน่าเชื่อถือและเวลาเฉลี่ยในการค้นหา แสดงในตาราง 34



ตาราง 34 สรุปผลการทดสอบประสิทธิภาพอัลกอริทึม ACO-Lévy flight กรณีศึกษาที่ 4

จำนวนมดและรังนกคุณว่า	เวลาเฉลี่ย (วินาที)	ค่าความนำเข้าเฉลี่ย			
		ต่ำสุด	สูงสุด	เฉลี่ย	S.D.
10	105.19	0.457247	0.844611	0.66549	0.147837
20	199.13	0.498226	0.846008	0.648748	0.129655
30*	292.96	0.546349	0.851192	0.707444	0.116789
40	386.71	0.663338	0.862714	0.66338	0.138439
50	482.12	0.516299	0.847068	0.618078	0.091077

จากตาราง 34 พบว่า จากการทดสอบอัลกอริทึม ACO-Lévy flight สำหรับกรณีศึกษาที่ 4 จำนวน 10 ครั้ง โดยการตั้งค่าจำนวนมดและรังนก เท่ากับ 30 สามารถประมาณผลคันหาคำตอบค่าความนำเข้าเฉลี่ยที่เหมาะสมได้เฉลี่ยสูงสุด คือ 0.707444 ส่วนเบี่ยงเบนมาตรฐาน (S.D.) เท่ากับ 0.116789 ใช้เวลาเฉลี่ยในการค้นหาข้อมูล คือ 292.96 วินาที

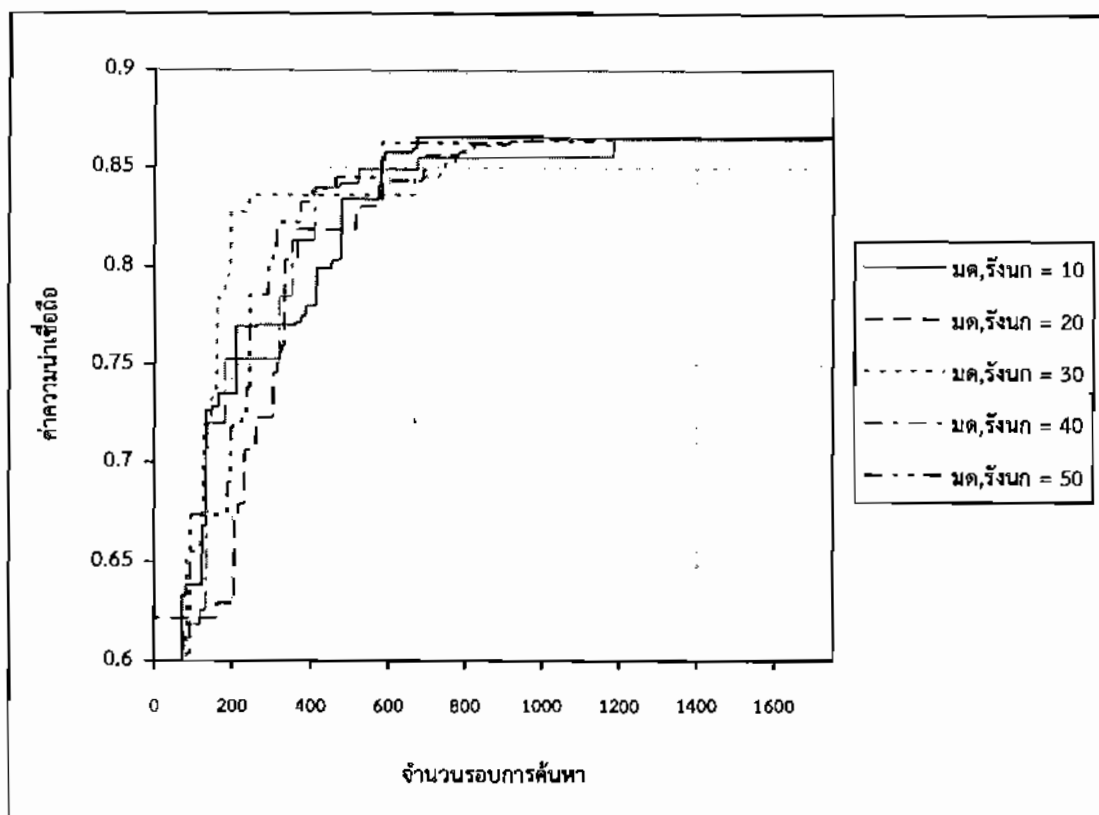
ตาราง 35 เปรียบเทียบผลการคัดเลือกเทคโนโลยีและราคาต้นทุนรวมของอัลกอริทึม ACO-Lévy flight กรณีศึกษาที่ 4

จำนวนมดและรังนกคุณว่า	เทคโนโลยีที่เลือก	ค่าความนำเข้าเฉลี่ย	ราคาต้นทุนรวม (\$)
10	3-2-3-3-2-3-2-2-3-2-3-4-3-1-2-3-4-4-2-3-3-2-3-1	0.844611	1390
20	4-2-3-5-3-3-3-2-3-1-2-3-3-1-3-2-4-4-2-3-2-2-3-1	0.846008	1400
30	2-3-5-5-2-3-2-2-3-1-3-3-3-1-2-3-3-4-2-3-2-2-3-1	0.851192	1395
40*	3-2-3-4-2-3-2-2-3-1-2-4-4-3-1-3-3-4-4-2-3-2-2-3-1	0.862714	1400
50	2-3-3-4-2-3-3-2-3-1-3-4-3-3-1-2-2-3-4-3-3-2-2-3-1	0.847068	1385

จากตาราง 35 พบว่า การทดสอบประสิทธิภาพของอัลกอริทึม ACO-Lévy flight สำหรับกรณีศึกษาที่ 4 ซึ่งจากการปรับค่าจำนวนมดและรังนก เท่ากับ 40 ทำให้ได้คำตอบค่าความนำเข้าเฉลี่ยที่เหมาะสมที่สุด เท่ากับ 0.862714 มีผลการคัดเลือกเทคโนโลยีที่ทำให้ระบบอนุกรมทั้งระบบมีค่าความนำเข้าเฉลี่ยสูงสุด คือ 3-2-3-4-2-3-2-2-3-1-2-4-4-3-1-3-3-4-4-2-3-2-2-3-1 มีราคาต้นทุนรวม \$1400 เท่ากับงบประมาณที่ตั้งไว้



#### 4.3.4.3 ผลการทดสอบประสิทธิภาพอัลกอริทึม Hybrid ACO-CS



ภาพประกอบ 41 ผลการทดสอบประสิทธิภาพอัลกอริทึม Hybrid ACO-CS กรณีศึกษาที่ 4

จากภาพประกอบ 41 แผนภูมิแสดงผลการทดสอบประสิทธิภาพอัลกอริทึม Hybrid ACO-CS สำหรับกรณีศึกษาที่ 4 โดยการปรับค่าจำนวนมดและรังนก 10, 20, 30, 40 และ 50 ผลลัพธ์ของการค้นหาคำตอบที่ดีที่สุด พบว่า แนวโน้มการลู่เข้าสู่คำตอบของการหาค่าความน่าเชื่อถือที่เหมาะสมที่สุด คือ การตั้งค่าจำนวนมดและรังนก เท่ากับ 10 โดยใช้จำนวนรอบในการค้นหาโดยประมาณ 650 รอบ และการตั้งค่าจำนวนมดและรังนก เท่ากับ 20, 30, 40 และ 50 ใช้จำนวนรอบในการค้นหาใกล้เคียงกัน โดยประมาณ คือ 1200 รอบ ซึ่งค่าความน่าเชื่อถือและเวลาเฉลี่ยในการค้นหา แสดงในตาราง 36

ตาราง 36 สรุปผลการทดสอบประสิทธิภาพอัลกอริทึม Hybrid ACO-CS กรณีศึกษาที่ 4

จำนวนมดและรังนกตัว	เวลาเฉลี่ย (วินาที)	ค่าความน่าเชื่อถือ			
		ต่ำสุด	สูงสุด	เฉลี่ย	S.D.
10	113.74	0.856569	0.865439	0.863505	0.002866
20	265.79	0.856569	0.865439	0.862365	0.003407
30	359.05	0.86466	0.865439	0.865049	0.000411
40	520.24	0.862714	0.865439	0.864495	0.001007
50*	540.44	0.863578	0.865439	0.865175	0.000612

จากการ 36 พบว่า จากการทดลองอัลกอริทึม Hybrid ACO-CS สำหรับกรณีศึกษาที่ 4 จำนวน 10 ครั้ง โดยการตั้งค่าจำนวนมดและรังนก เท่ากับ 50 สามารถประมวลผลค้นหาคำตอบค่าความน่าเชื่อถือที่เหมาะสมได้ค่าสูงสุด เท่ากับ 0.865439 โดยมีค่าเฉลี่ย เท่ากับ 0.865175 ส่วนเบี่ยงเบนมาตรฐาน (S.D.) เท่ากับ 0.000612 ใช้เวลาเฉลี่ยในการค้นหาข้อมูล คือ 540.44 วินาที

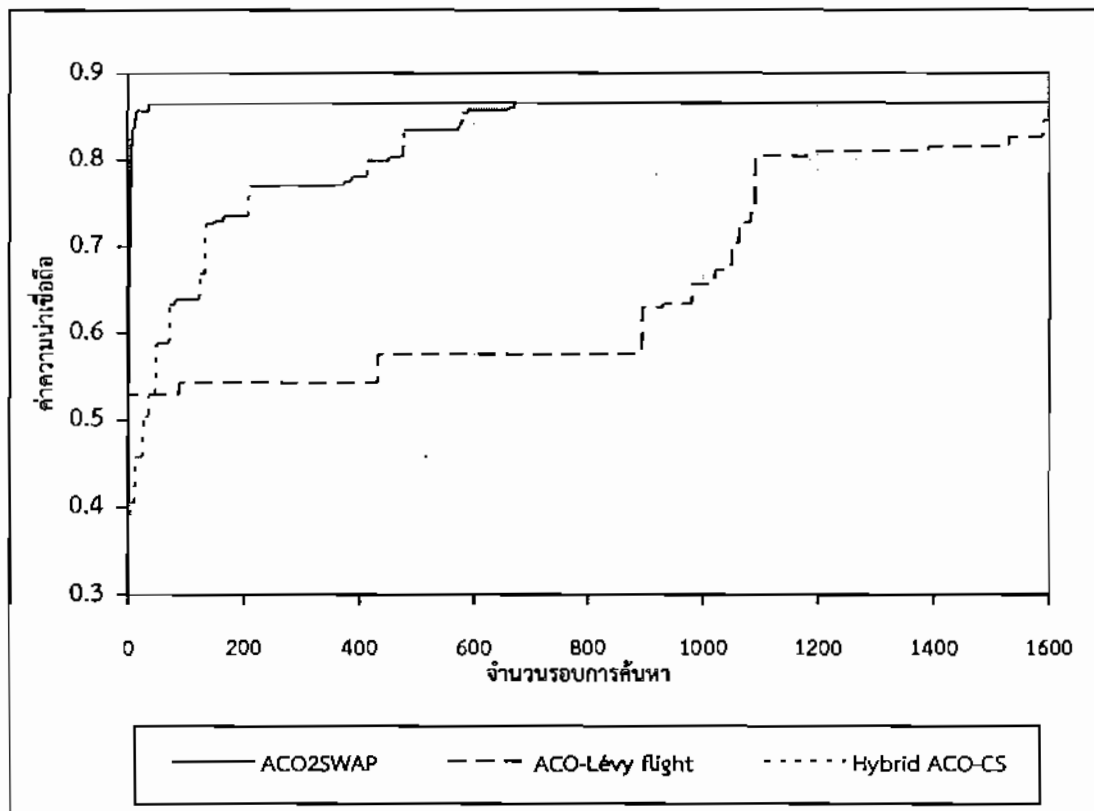
ตาราง 37 เปรียบเทียบผลการคัดเลือกเทคโนโลยีและราคាកันทุนรวมของอัลกอริทึม Hybrid ACO-CS กรณีศึกษาที่ 4

จำนวนมดและรังนกตัว	เทคโนโลยีที่เลือก	ค่าความน่าเชื่อถือสูงสุด	ราคากันทุนรวม (\$)
10	3-3-3-5-2-3-2-2-3-2-2-3-4-3-1-2-3-3-4-2-3-2-2-3-1	0.865439	1400
20	2-3-3-5-2-3-2-2-3-1-2-3-4-4-1-2-3-3-4-2-3-2-2-3-2	0.865439	1400
30	3-3-3-5-2-3-2-2-3-1-2-3-4-3-1-2-3-3-4-2-3-2-2-3-2	0.865439	1400
40	3-3-3-5-2-3-2-2-3-2-2-3-3-3-1-3-3-3-4-2-3-2-2-3-1	0.865439	1400
50	3-3-3-5-2-3-2-2-3-1-2-3-3-3-1-3-3-3-4-3-3-2-2-3-1	0.865439	1400

จากการ 37 พบว่า การทดสอบประสิทธิภาพของอัลกอริทึม Hybrid ACO-CS สำหรับกรณีศึกษาที่ 4 ที่ให้คำตอบค่าความน่าเชื่อถือที่เหมาะสมที่สุด โดยการปรับค่าจำนวนมดและรังนก 10, 20, 30, 40 และ 50 มีผลการคัดเลือกเทคโนโลยีที่ทำให้ระบบอนุกรมทั้งระบบมีค่าความน่าเชื่อถือสูงสุดที่แตกต่างกัน ทั้ง 5 ชุด แต่มีราคากันทุนรวม \$1400 เท่ากับงบประมาณที่ตั้งไว้ \$1400 แสดงให้เห็นว่าสามารถคัดเลือกเทคโนโลยีได้หลายทางเลือกแต่ยังคงให้ค่าความน่าเชื่อถือสูงสุดที่เท่ากัน



#### 4.3.4.4 เปรียบเทียบผลการทดสอบระหว่างอัลกอริทึม ACO2SWAP, ACO-Lévy flight และ Hybrid ACO-CS สำหรับกรณีศึกษาที่ 4



ภาพประกอบ 42 ผลการเปรียบเทียบระหว่างอัลกอริทึมทั้ง 3 วิธี สำหรับกรณีศึกษาที่ 4

จากภาพประกอบ 42 เป็นการนำเสนอผลการเปรียบเทียบการค้นหาคำตอบที่ดีที่สุดของ อัลกอริทึม ACO2SWAP, ACO-Lévy flight และ Hybrid ACO-CS สำหรับกรณีศึกษาที่ 4 ซึ่งมี แนวโน้มการลู่เข้าสู่คำตอบของอัลกอริทึม ACO2SWAP ใช้จำนวนรอบในการค้นหาคำตอบน้อยที่สุด โดยประมาณคือ 50 รอบ รองลงมาคือ อัลกอริทึม Hybrid ACO-CS ใช้จำนวนรอบในการค้นหาคำตอบ โดยประมาณคือ 650 รอบ และลำดับสุดท้าย คือ อัลกอริทึม ACO-Lévy flight ใช้จำนวนรอบในการค้นหาคำตอบ โดยประมาณ 1600 รอบ ซึ่งค่าความน่าเชื่อถือและเวลาเฉลี่ยในการค้นหา แสดงในตาราง 38

ตาราง 38 ผลการเปรียบเทียบประสิทธิภาพของอัลกอริทึมทั้ง 3 วิธี สำหรับกรณีศึกษาที่ 4

อัลกอริทึม	เวลาเฉลี่ย (s)	ค่าความน่าเชื่อถือ			
		ต่ำสุด	สูงสุด	เฉลี่ย	S.D.
ACO2SWAP*	39.72	0.865439	0.865439	0.865439	0
ACO-Lévy flight	292.96	0.546349	0.851192	0.707444	0.116789
Hybrid ACO-CS	540.44	0.863578	0.865439	0.865175	0.000612

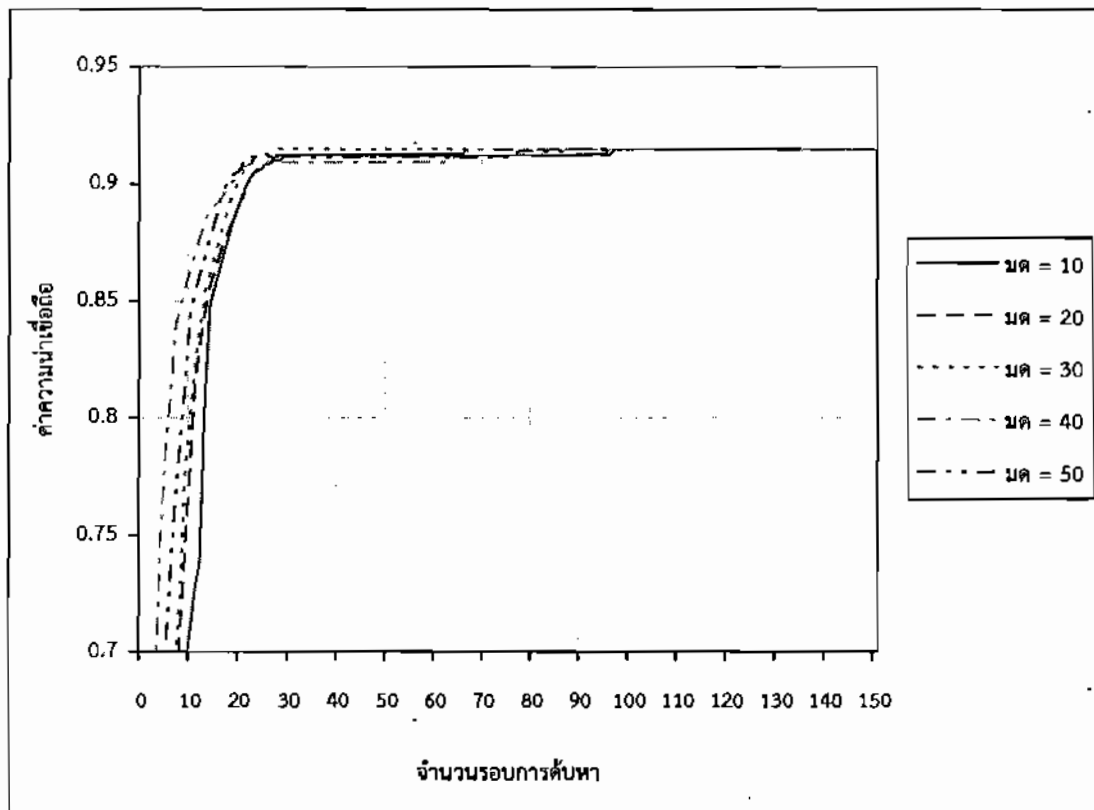
จากตาราง 38 โดยภาพรวมผลลัพธ์การค้นหาคำตอบที่ดีที่สุดสำหรับกรณีศึกษาที่ 4 ของแต่ละอัลกอริทึม พบว่า อัลกอริทึม ACO2SWAP และ Hybrid ACO-CS สามารถหาค่าความน่าเชื่อถือที่เหมาะสมที่สุด ดีกว่าอัลกอริทึม ACO-Lévy flight แต่และอัลกอริทึม ACO2SWAP ใช้เวลาเฉลี่ยในการค้นพบคำตอบที่ดีกว่า Hybrid ACO-CS ซึ่งเมื่อพิจารณาจากค่าเฉลี่ยและส่วนเบี่ยงเบนมาตรฐานแลดงให้เห็นว่าอัลกอริทึม ACO2SWAP มีความแม่นยำสูงสุด รองลงมา คือ อัลกอริทึม Hybrid ACO-CS และอัลกอริทึม ACO-Lévy flight ตามลำดับ สำหรับการประมวลผลระบบอนุกรมที่มี 25 ระบบย่อย 166 ตัวแปร

#### 4.3.5 กรณีศึกษาที่ 5

ระบบอนุกรมที่มี 40 ระบบย่อย 266 ตัวแปร กำหนดเงื่อนไขความตันทุน เท่ากับ \$2700

##### 4.3.5.1 ผลการทดสอบประสิทธิภาพอัลกอริทึม ACO2SWAP





ภาพประกอบ 43 ผลการทดสอบประสิทธิภาพอัลกอริทึม ACO2SWAP กรณีศึกษาที่ 5

จากภาพประกอบ 43 แผนภูมิแสดงผลการทดสอบประสิทธิภาพอัลกอริทึม ACO2SWAP สำหรับกรณีศึกษาที่ 5 โดยการปรับค่าจำนวน  $m$  10, 20, 30, 40 และ 50 ผลลัพธ์ของการค้นหา คำตอบที่ดีที่สุด พบว่า แนวโน้มการลู่เข้าสู่คำตอบของการหาค่าความน่าเชื่อถือที่เหมาะสมที่สุด ใช้จำนวนรอบในการค้นหาใกล้เคียงกันโดยประมาณ 100 รอบ ซึ่งค่าความน่าเชื่อถือและเวลาเฉลี่ยในการค้นหา แสดงในตาราง 39

ตาราง 39 สรุปผลการทดสอบประสิทธิภาพอัลกอริทึม ACO2SWAP กรณีศึกษาที่ 5

จำนวน $m$	เวลาเฉลี่ย (วินาที)	ค่าความน่าเชื่อถือ			
		ต่ำสุด	สูงสุด	เฉลี่ย	S.D.
10	529.16	0.914895	0.914895	0.914895	0
20	415.82	0.914895	0.914895	0.914895	0
30*	280.92	0.914895	0.914895	0.914895	0
40	399.15	0.914895	0.914895	0.914895	0
50	679.14	0.910819	0.914895	0.914487	0.001289



จากการ 39 พบว่า การทดสอบอัลกอริทึม ACO2SWAP สำหรับกรณีศึกษาที่ 5 จำนวน 10 ครั้ง การตั้งค่าจำนวนมด 10, 20, 30 และ 40 สามารถประมวลผลค้นหาคำตอบหาค่าความน่าเชื่อถือที่เหมาะสมได้ค่าสูงสุดเท่ากัน คือ 0.914895 และมีค่าส่วนเบี่ยงเบนมาตรฐาน (S.D.) เท่ากับ 0.00 เมื่อพิจารณาโดยภาพรวม พบว่า การตั้งค่าจำนวนมด เท่ากับ 30 ใช้เวลาเฉลี่ยในการค้นหาข้อมูลเร็วที่สุดคือ 280.92 วินาที

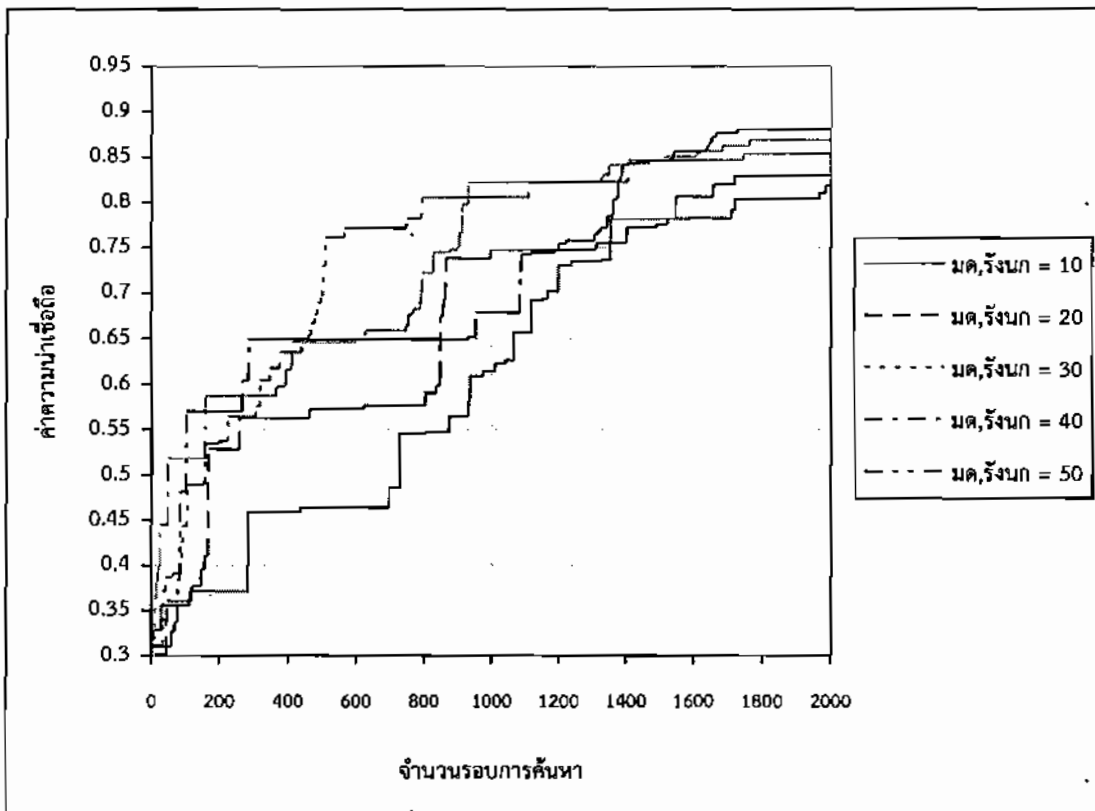
ตาราง 40 เปรียบเทียบผลการคัดเลือกเทคโนโลยีและราคาต้นทุนรวมของอัลกอริทึม ACO2SWAP กรณีศึกษาที่ 5

จำนวน มด	เทคโนโลยีที่เลือก	ค่าความ น่าเชื่อถือ <sup>*</sup> สูงสุด	ราคาต้นทุน รวม (\$)
10	3-3-4-4-3-3-3-2-3-2-2-4-4-4-2-3-3-4-4-3-3-3-2-3-2- 3-3-4-4-3-4-3-3-3-2-2-4-4-4-2	0.914895	2695
20	3-3-4-4-3-3-3-2-3-2-2-4-4-4-4-2-3-3-4-4-3-3-3-2-3-2- 3-3-4-4-3-4-3-3-3-2-2-4-4-4-2	0.914895	2695
30	3-3-4-4-3-3-3-2-3-2-2-4-4-4-4-2-3-3-4-4-3-3-3-2-3-2- 3-3-4-4-3-4-3-3-3-2-2-4-4-4-2	0.914895	2695
40	3-3-4-4-3-3-3-2-3-2-2-4-4-4-4-2-3-3-4-4-3-3-3-2-3-2- 3-3-4-4-3-4-3-3-3-2-2-4-4-4-2	0.914895	2695
50	3-3-4-4-3-3-3-2-3-2-2-4-4-4-4-2-3-3-4-4-3-3-3-2-3-2- 3-3-4-4-3-4-3-3-3-2-2-4-4-4-2	0.914895	2695

จากการ 40 พบว่า การทดสอบประสิทธิภาพของอัลกอริทึม ACO2SWAP สำหรับกรณีศึกษาที่ 5 ที่ให้คำตอบค่าความน่าเชื่อถือที่เหมาะสมที่สุด โดยการปรับค่าจำนวนมด 10, 20, 30, 40 และ 50 มีผลการคัดเลือกเทคโนโลยีที่ทำให้ระบบอนุกรมหั้งระบบมีค่าความน่าเชื่อถือสูงสุดเป็นชุดเดียวกันทั้งหมด มีราคาต้นทุนรวม \$2695 ต่ำกว่างบประมาณที่ตั้งไว้ \$2700 เทคโนโลยีที่เลือก คือ 3-3-4-4-3-3-3-2-3-2-4-4-4-2-3-3-4-4-3-3-3-2-3-3-4-4-3-4-3-3-2-2-4-4-4-2

#### 4.3.5.2 ผลการทดสอบประสิทธิภาพอัลกอริทึม ACO-Lévy flight





ภาพประกอบ 44 ผลการทดสอบประสิทธิภาพอัลกอริทึม ACO-Lévy flight กรณีศึกษาที่ 5

จากภาพประกอบ 44 แผนภูมิแสดงผลการทดสอบประสิทธิภาพอัลกอริทึม ACO-Lévy flight สำหรับกรณีศึกษาที่ 5 โดยการปรับค่าจำนวนมดและรั้งก 10, 20, 30, 40 และ 50 ผลลัพธ์ของ การค้นหาคำตอบที่ดีที่สุด พบว่า ไม่สามารถค้นหาคำตอบที่เหมาะสมที่สุดได้ภายใน 2,000 รอบ เมื่อ เทียบกับอัลกอริทึม ACO2SWAP ซึ่งค่าความน่าเชื่อถือและเวลาเฉลี่ยในการค้นหา แสดงในตาราง 41

ตาราง 41 สรุปผลการทดสอบประสิทธิภาพอัลกอริทึม ACO-Lévy flight กรณีศึกษาที่ 5

จำนวนมดและ รั้งกตุ่นหัว	เวลาเฉลี่ย (วินาที)	ค่าความน่าเชื่อถือ			
		ต่ำสุด	สูงสุด	เฉลี่ย	S.D.
10	162.61	0.520571	0.817993	0.700549	0.103337
20	314.81	0.643255	0.828607	0.762263	0.056979
30	466.61	0.751944	0.853868	0.790978	0.029717
40	617.22	0.717897	0.868660	0.810328	0.037266
50*	769.51	0.766308	0.880625	0.844521	0.035569



จากตาราง 41 พบว่า จากการทดสอบอัลกอริทึม ACO-Lévy flight สำหรับกรณีศึกษาที่ 5 จำนวน 10 ครั้ง โดยการตั้งค่าจำนวนมดและรังนก เท่ากับ 50 สามารถประมาณผลคันหาคำตอบค่าความน่าเชื่อถือที่เหมาะสมได้เฉลี่ยสูงสุด คือ 0.844521 ส่วนเบี่ยงเบนมาตรฐาน (S.D.) เท่ากับ 0.035569 ใช้เวลาเฉลี่ยในการค้นหาข้อมูล คือ 769.51 วินาที

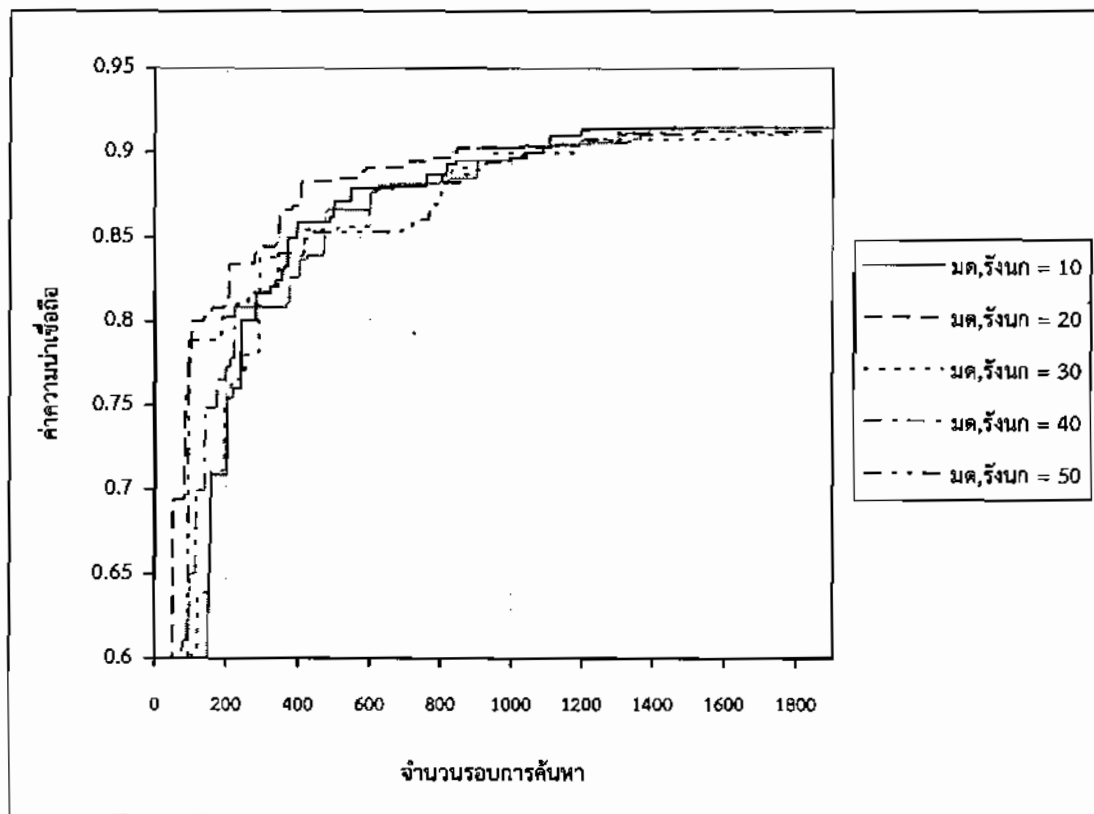
ตาราง 42 เปรียบเทียบผลการคัดเลือกเทคโนโลยีและราคาต้นทุนรวมของอัลกอริทึม ACO-Lévy flight กรณีศึกษาที่ 5

จำนวนมด และรังนก ตุ่นหัวว่า	เทคโนโลยีที่เลือก	ค่าความ น่าเชื่อถือ <sup>*</sup> สูงสุด	ราคา ต้นทุน รวม (\$)
10	2-2-4-5-2-3-4-2-5-1-2-3-3-4-3-4-3-5-4-2-4-4-2-3-1- 3-3-4-3-4-3-5-3-3-2-4-3-4-3-1	0.817993	2665
20	3-3-4-4-2-3-3-2-5-1-2-3-5-4-1-2-4-4-3-3-4-2-2-3-1- 2-4-5-4-3-3-3-3-2-2-4-8-3-1	0.828607	2655
30	3-3-3-5-2-4-4-2-4-1-2-5-4-3-2-2-3-4-4-2-4-4-3-4-1- 3-3-4-5-5-3-3-3-3-2-1-4-4-3-1	0.853868	2690
40	3-3-4-4-3-4-4-2-3-1-2-4-4-3-2-3-3-3-4-3-3-3-2-4-1- 3-4-5-3-3-3-4-3-4-2-2-4-4-4-1	0.868660	2690
50	4-3-5-5-3-3-3-2-3-1-3-4-4-3-2-3-3-3-5-3-3-3-2-3-1- 3-3-5-4-3-4-4-3-3-2-3-3-5-3-2	0.880625	2700

จากตาราง 42 พบว่า การทดสอบประสิทธิภาพของอัลกอริทึม ACO-Lévy flight สำหรับกรณีศึกษาที่ 5 ซึ่งจากการปรับค่าจำนวนมดและรังนก เท่ากับ 50 ทำให้ได้คำตอบค่าความน่าเชื่อถือที่เหมาะสมที่สุด เท่ากับ 0.880625 มีผลการคัดเลือกเทคโนโลยีที่ทำให้ระบบอนุกรมทั้งระบบมีค่าความน่าเชื่อถือสูงสุด คือ 4-3-5-5-3-3-3-2-3-1-3-4-4-3-2-3-3-3-5-3-3-3-2-3-1-3-3-5-4-3-4-4-3-3-2-3-3-5-3-2 มีราคาต้นทุนรวม \$2700 เท่ากับงบประมาณที่ตั้งไว้

#### 4.3.5.3 ผลการทดสอบประสิทธิภาพอัลกอริทึม Hybrid ACO-CS





ภาพประกอบ 45 ผลการทดสอบประสิทธิภาพอัลกอริทึม Hybrid ACO-CS กรณีศึกษาที่ 5

จากการประกอบ 45 แผนภูมิแสดงผลการทดสอบประสิทธิภาพอัลกอริทึม Hybrid ACO-CS สำหรับกรณีศึกษาที่ 5 พบว่า ผลลัพธ์ของการค้นหาคำตอบที่ดีที่สุดมีแนวโน้มการลู่เข้าสู่คำตอบจากการตั้งค่าจำนวนมดและรังนก เท่ากับ 40 และ 50 โดยใช้จำนวนรอบในการค้นหาโดยประมาณ 1500 รอบ และการตั้งค่าจำนวนมดและรังนก 10, 20 และ 30 ใช้จำนวนรอบในการค้นหาโดยประมาณ คือ 1800 รอบ ซึ่งค่าความน่าเชื่อถือและเวลาเฉลี่ยในการค้นหา แสดงในตาราง 43

ตาราง 43 สรุปผลการทดสอบประสิทธิภาพอัลกอริทึม Hybrid ACO-CS กรณีศึกษาที่ 5

จำนวนมดและ รังนกต่อหน่วย	เวลาเฉลี่ย (วินาที)	ค่าความน่าเชื่อถือ			
		ต่ำสุด	สูงสุด	เฉลี่ย	S.D.
10	160.62	0.899130	0.914895	0.906920	0.004714
20*	298.16	0.902209	0.914895	0.912812	0.003883
30	470.28	0.909015	0.914872	0.911444	0.001801
40	621.80	0.909085	0.914872	0.912224	0.00198
50	734.29	0.905873	0.914895	0.912430	0.002807



จากตาราง 43 พบว่า จากการทดลองอัลกอริทึม Hybrid ACO-CS สำหรับกรณีศึกษาที่ 5 จำนวน 10 ครั้ง โดยการตั้งค่าจำนวนมดและรังนก เท่ากับ 20 สามารถประมาณผลคันหาคำตอบค่าความน่าเชื่อถือที่เหมาะสมได้ค่าสูงสุด เท่ากับ 0.914895 โดยมีค่าเฉลี่ย เท่ากับ 0.912812 ส่วนเบี่ยงเบนมาตรฐาน (S.D.) เท่ากับ 0.003883 ใช้เวลาเฉลี่ยในการค้นหาข้อมูล คือ 298.16 วินาที

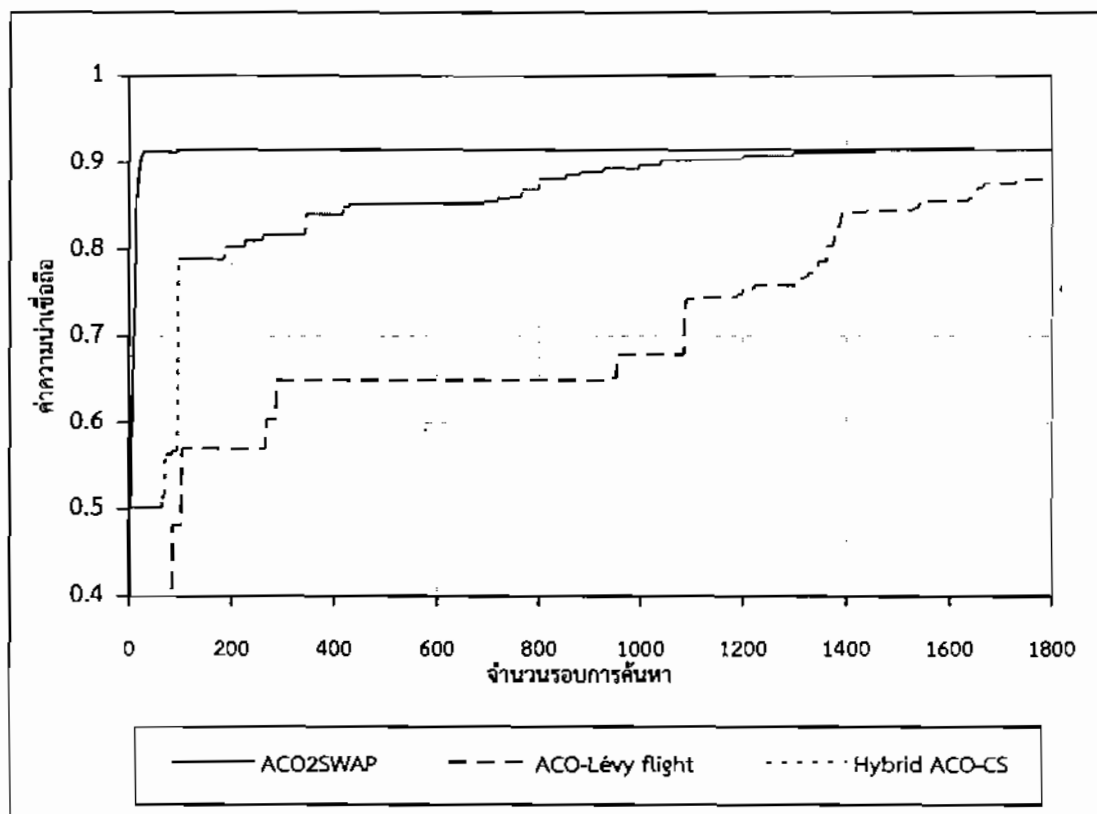
ตาราง 44 เปรียบเทียบผลการคัดเลือกเทคโนโลยีและราคาต้นทุนรวมของอัลกอริทึม Hybrid ACO-CS กรณีศึกษาที่ 5

จำนวน มดและรัง นกตุเหว่า	เทคโนโลยีที่เลือก	ค่าความ น่าเชื่อถือ <sup>*</sup> สูงสุด	ราคา ต้นทุน รวม (\$)
10	3-3-4-4-3-3-2-3-2-2-4-4-4-2-3-3-4-4-3-3-3-2-3-2- 3-3-4-4-3-4-3-3-3-2-2-4-4-4-2	0.914895	2695
20	3-3-4-4-3-3-3-2-3-2-2-4-4-4-2-3-3-4-4-3-3-3-2-3-2- 3-3-4-4-3-4-3-3-3-2-2-4-4-4-2	0.914895	2695
30	3-3-4-4-3-3-3-2-4-2-2-4-4-4-2-3-3-4-4-3-3-3-2-3-2- 3-3-4-4-3-4-3-3-4-2-2-3-4-4-2	0.914872	2700
40	3-3-4-4-3-3-3-2-4-2-2-4-4-4-2-3-3-4-4-3-3-3-2-3-2- 3-3-4-4-4-4-3-3-3-2-2-3-4-4-2	0.914872	2700
50	3-3-4-4-3-3-3-2-3-2-2-4-4-4-2-3-3-4-4-3-3-3-2-3-2- 3-3-4-4-3-4-3-3-3-2-2-4-4-4-2	0.914895	2695

จากตาราง 44 พบว่า การทดสอบประสิทธิภาพของอัลกอริทึม Hybrid ACO-CS สำหรับกรณีศึกษาที่ 5 ที่ให้คำตอบค่าความน่าเชื่อถือที่เหมาะสมที่สุด คือ การปรับค่าจำนวนมดและรังนก 10, 20 และ 50 มีผลการคัดเลือกเทคโนโลยีที่ทำให้ระบบอนุกรมทั้งระบบมีค่าความน่าเชื่อถือสูงสุด มีราคาต้นทุนรวม \$2695 ต่ำกว่างบประมาณที่ตั้งไว้ \$2700

#### 4.3.5.4 เปรียบเทียบผลการทดสอบระหว่างอัลกอริทึม ACO2SWAP, ACO-Lévy flight และ Hybrid ACO-CS กรณีศึกษาที่ 3





ภาพประกอบ 46 ผลการเปรียบเทียบระหว่างอัลกอริทึมทั้ง 3 วิธี สำหรับกรณีศึกษาที่ 5

จากภาพประกอบ 46 เป็นการนำเสนอผลการเปรียบเทียบการค้นหาคำตอบที่ดีที่สุดของอัลกอริทึม ACO2SWAP, ACO-Lévy flight และ Hybrid ACO-CS สำหรับกรณีศึกษาที่ 5 ซึ่งแนวโน้มการลุ้นเข้าสู่คำตอบของอัลกอริทึม ACO2SWAP ใช้จำนวนรอบในการค้นหาคำตอบน้อยที่สุด โดยประมาณคือ 100 รอบ รองลงมาคือ อัลกอริทึม Hybrid ACO-CS ใช้จำนวนรอบในการค้นหาคำตอบโดยประมาณคือ 1500 รอบ และอัลกอริทึม ACO-Lévy flight ใช้จำนวนรอบในการค้นหาคำตอบมากกว่า 1800 รอบ ซึ่งค่าความน่าเชื่อถือและเวลาเฉลี่ยในการค้นหา แสดงในตาราง 45

ตาราง 45 ผลการเปรียบเทียบประสิทธิภาพของอัลกอริทึมทั้ง 3 วิธี สำหรับกรณีศึกษาที่ 5

อัลกอริทึม	เวลาเฉลี่ย (s)	ค่าความน่าเชื่อถือ			
		ต่ำสุด	สูงสุด	เฉลี่ย	S.D.
ACO2SWAP*	280.92	0.914895	0.914895	0.914895	0
ACO-Lévy flight	769.51	0.766308	0.880625	0.844521	0.035569
Hybrid ACO-CS	298.16	0.902209	0.914895	0.912812	0.003883

จากตาราง 45 โดยภาพรวมผลลัพธ์การค้นหาคำตอบที่ดีที่สุดสำหรับกรณีศึกษาที่ 5 ของแต่ละอัลกอริทึม พบว่า อัลกอริทึม ACO2SWAP และ Hybrid ACO-CS สามารถหาค่าความน่าเชื่อถือที่เหมาะสมที่สุด ดีกว่าอัลกอริทึม ACO-Lévy flight แต่แล้วอัลกอริทึม ACO2SWAP ใช้เวลาเฉลี่ยในการค้นพบคำตอบที่ดีกว่า Hybrid ACO-CS ซึ่งเมื่อพิจารณาจากค่าเฉลี่ยและส่วนเบี่ยงเบนมาตรฐานแสดงให้เห็นว่าอัลกอริทึม ACO2SWAP มีความแม่นยำสูงสุด รองลงมา คือ อัลกอริทึม Hybrid ACO-CS และอัลกอริทึม ACO-Lévy flight ตามลำดับ สำหรับการประมวลผลระบบอนุกรมที่มี 40 ระบบอยู่ 166 ตัวแปร



## บทที่ 5

### สรุปผลวิจัย อภิปรายผล และข้อเสนอแนะ

การวิจัยครั้งนี้เป็นการปรับปรุงขั้นตอนวิธีของอัลกอริทึมผุ่งมดที่ร่วมกับอัลกอริทึมการค้นหาแบบบดูเหว่า (Hybrid Ant Colony Optimization Cuckoo Search: Hybrid ACO-CS) เพื่อแก้ปัญหาการหาค่าความน่าเชื่อถือที่เหมาะสมที่สุดสำหรับระบบอนุกรม ซึ่งได้มีการทดสอบประสิทธิภาพดังน้ำเสนอตามลำดับดังนี้

#### 5.1 สรุปผลการวิจัย

5.1.1 การทดสอบประสิทธิภาพของอัลกอริทึมผุ่งมดที่ปรับปรุงใหม่ร่วมกับอัลกอริทึมการค้นหาแบบบดูเหว่า (Hybrid ACOCS) โดยใช้ฟังก์ชันทดสอบการหาค่าที่เหมาะสม (Optimization Test Functions) จำนวน 10 ฟังก์ชัน สามารถแก้ปัญหาอพตีไมเซ่นเชิงตัวเลขได้ทุกฟังก์ชันที่นำเสนอ และมีประสิทธิภาพที่ดีกว่าอัลกอริทึมที่นำเสนอในงานวิจัยที่ผ่านมา ได้แก่ ฟังก์ชัน De Jong ( $f_1$ ), ฟังก์ชัน Schwefel (Unimodal) ( $f_2$ ), ฟังก์ชัน Ackley ( $f_3$ ), ฟังก์ชัน Griewank ( $f_4$ ) และฟังก์ชัน Quartic ( $f_5$ ) รวมถึงมีผลลัพธ์ที่เท่ากัน คือ ฟังก์ชัน Step ( $f_6$ ) และฟังก์ชัน Shekel's Foxholes ( $f_{10}$ )

5.1.2 การทดสอบประสิทธิภาพของอัลกอริทึมผุ่งมดที่ปรับปรุงใหม่ในการแก้ปัญหาการหาค่าความน่าเชื่อถือที่เหมาะสมที่สุดของระบบอนุกรมที่มีข้อจำกัดหลายทางเลือกและงบประมาณประกอบด้วยระบบอนุกรมที่มี 15 ระบบย่อยและมีตัวแปรเชิงตัวเลข 60, 80 และ 100 ตัวแปร อัลกอริทึม Hybrid ACO-CS และ ACO2SWAP ให้ผลลัพธ์การค้นหาที่ดีและแม่นยำมากกว่าเมื่อเทียบกับอัลกอริทึม ACO-Lévy flight และใช้เวลาในการค้นหาคำตอบมากขึ้นสำหรับระบบอนุกรมที่มีข้อมูลเมตาเชิงขนาดใหญ่ คือ 25 ระบบย่อย 166 ตัวแปร และ 40 ระบบย่อย 266 ตัวแปร

#### 5.2 อภิปรายผล

ผลการทดสอบประสิทธิภาพของอัลกอริทึมที่นำเสนอสามารถแก้ปัญหาอพตีไมเซ่นเชิงตัวเลขได้ทุกฟังก์ชันที่นำเสนอและมีประสิทธิภาพดีกว่าอัลกอริทึมที่นำเสนอในงานวิจัยที่ผ่านมา ได้แก่ ฟังก์ชัน De Jong ( $f_1$ ), ฟังก์ชัน Schwefel (Unimodal) ( $f_2$ ), ฟังก์ชัน Ackley ( $f_3$ ), ฟังก์ชัน Griewank ( $f_4$ ) และฟังก์ชัน Quartic ( $f_5$ ) และมีผลลัพธ์ที่เท่ากัน คือ ฟังก์ชัน Step ( $f_6$ ) และฟังก์ชัน Shekel's Foxholes ( $f_{10}$ ) ทั้งนี้อาจเนื่องมาจากการร่วมกันทำงานของ 2 อัลกอริทึมในลักษณะทำงาน



ร่วมกันส่งผลให้ประสิทธิภาพสูงขึ้น แต่เมื่อพิจารณาในด้านเวลาที่ใช้ในการค้นหาคำตอบยังแสดงให้เห็นว่าใช้เวลาเฉลี่ยสูงกว่า และผลจากการประเมินผลประสิทธิภาพของอัลกอริทึมฝูงมดที่ปรับปรุงใหม่ในการแก้ปัญหาค่าความน่าเชื่อถือที่เหมาะสมที่สุดของระบบอนุกรรมที่มีข้อจำกัดหลายทางเลือก และงบประมาณ ต้องอาศัยการปรับแต่งค่าพารามิเตอร์ เพื่อให้ได้ค่าผลลัพธ์ที่ดีขึ้น การปรับหรือตั้งค่าพารามิเตอร์ต่าง ๆ ของอัลกอริทึมจึงเป็นปัจจัยหนึ่งที่ทำให้การทำงานของอัลกอริทึม hac่าที่เหมาะสมที่สุดได้ รวมถึงบางพารามิเตอร์ยังช่วยให้การค้นหานั้นพบคำตอบที่เร็วขึ้นด้วย

### 5.3 ข้อเสนอแนะในการพัฒนาต่อไป

อัลกอริทึมนี้นำเสนอสามารถนำไปประยุกต์ใช้ในงานอื่น ๆ ได้อย่างหลากหลาย ทั้งในระบบสนับสนุนการตัดสินใจ ระบบปัญญาประดิษฐ์ งานประยุกต์ด้านวิศวกรรม ทั้งนี้ต้องพิจารณาเตรียมข้อมูลป้อนเข้า (Input) และข้อมูลอิเวนติคิลให้สอดคล้องกับการทำงานของอัลกอริทึมนี้นำเสนอ



## ເອກສາຣຍ້າງອີງ



## เอกสารอ้างอิง

- [1] U. Diwekar. "Introduction to Applied Optimization". 2<sup>nd</sup> ed, New York : Springer; 2008.
- [2] R. Meziane, Y. Massim, A. Zeblah, A. Ghoraf, R. Rahli. "Reliability optimization using ant colony algorithm under performance and cost constraints". Electric Power Systems Research 2005; 76: 1–8.
- [3] Ning Ruan, Xiaoling Sun. "An exact algorithm for cost minimization in series reliability systems with multiple component choices". Applied Mathematics and Computation 2006; 181: 732–741.
- [4] Won Young Yuna, Young Man Songa, Ho-Gyun Kim. "Multiple multi-level redundancy allocation in series systems". Reliability Engineering and System Safety 2007; 92: 308–313.
- [5] R. Tavakkoli-Moghaddam, J. Safari, F. Sassanic. "Reliability optimization of series-parallel systems with a choice of redundancy strategies using a genetic algorithm". Reliability Engineering and System Safety 2008; 93: 550–556.
- [6] R.K. Gupta, A.K. Bhunia, D. Roy. "A GA based penalty function technique for solving constrained redundancy allocation problem of series system with interval valued reliability of components". Journal of Computational and Applied Mathematics 2009; 232: 275-284.
- [7] Manju Agarwal, Vikas K. Sharma. "Ant colony approach to constrained redundancy optimization in binary systems". Applied Mathematical Modelling 2010; 34: 992–1003.
- [8] Noura Beji, Bassem Jarboui, Mansour Eddaly, Habib Chabchoub. "A Hybrid Particle Swarm Optimization Algorithm for the Redundancy Allocation Problem". Journal of Computational Science 2010; 1: 159–167.
- [9] Vikas K. Sharma, Manju Agarwal, Kanwar Sen. "Reliability evaluation and optimal design in heterogeneous multi-state series-parallel systems". Information Sciences 2011; 181: 362–378.
- [10] Wei-Chang Yeh, Tsung-JungHsieh. "Solving reliability redundancy allocation problems using an artificial bee colony algorithm". Computers & Operations Research 2011; 38: 1465–1473.
- [11] Hatice Tekiner-Mogulkoc, David W. Coit. "System Reliability Optimization Considering Uncertainty: Minimization of the Coefficient of Variation for Series-Parallel Systems". IEEE Transactions on Reliability 2011; 60: 667-674.



- [12] Amirhossain Chambari, Seyed Habib A. Rahmati, Amir Abbas Najafi, Aida karimi. "bi-objective model to optimize reliability and cost of system with a choice of redundancy strategies". *Computers & Industrial Engineering* 2012; 63: 109–119.
- [13] Wei-Chang Yeh. "A new algorithm for generating minimal cut sets in k-out-of-n networks". *Reliability Engineering and System Safety* 2006; 91: 36–43.
- [14] Eduardo Sáenz-de-Cabezón, Henry P. Wynn. "Computational algebraic algorithms for the reliability of generalized k-out-of-n and related systems". *Mathematics and Computers in Simulation* 2011; 82: 68 –78.
- [15] Yong Wang, Lin Li, Shuhong Huang, Qing Chang. "Reliability and covariance estimation of weighted k-out-of-n multi-state systems". *European Journal of Operational Research* 2012; 221: 138 –147.
- [16] N. Nahas, M. Noureldath. "Ant system for reliability optimization of a series system with multiple-choice and budget constraints". *Reliability Engineering and System Safety* 2005; 87: 1–12.
- [17] F. Ahmadizar, H. Soltanpanah. "Reliability optimization of a series system with multiple-choice and budget constraints using an efficient ant colony approach". *Expert Systems with Applications* 2011; 38: 3640–3646.
- [18] C.S. Sung, Y.K. Cho. "Reliability optimization of a series system with multiple-choice and budget constraints". *European Journal of Operational Research* 2000; 127: 159-171.
- [19] M. Noureldath, N. Nahas. "Quantized hopfield networks for reliability optimization". *Reliability Engineering and System Safety* 2003; 81: 191-196.
- [20] Wuthichai Wongthatsanekorn, Nuntana Matheekriengkrai. "Bee Algorithm for Solving Yield Optimization Problem for Hard Disk Drive Component under Budget and Supplier's Rating Constraints and Heuristic Performance Comparison". In: *Intelligent Automation and Systems Engineering of the series Lecture Notes in Electrical Engineering*. New York: Springer; 2011. pp. 203-216.
- [21] M. Dorigo, L.M. Gambardella. ".Ant colonies for the traveling salesman problem". *BioSystems* 1997; 43: 73–81.
- [22] M. Dorigo, L.M. Gambardella. "Ant Colony System: A cooperative learning approach to the traveling salesman problem". *IEEE Transactions on Evolutionary Computation* 1997; 1: 53–66.
- [23] X.-S. Yang, S. Deb. "Engineering Optimisation by Cuckoo Search". *Int. J. Mathematical Modelling and Numerical Optimisation* 2010; 1: 330–343.
- [24] ระพีพันธ์ ปิตาคະໂສ. "วิธีการเมตตาอิริสเพื่อกำไขปัญหาการวางแผนการผลิตและการจัดการโลจิสติกส์". กรุงเทพฯ: สมาคมส่งเสริมเทคโนโลยี (ไทย-ญี่ปุ่น); 2554.
- [25] พงศ์ชัยนัน พหลืองไพบูลย์. "การวิจัยดำเนินงาน". กรุงเทพฯ: ท็อป; 2553.



- [26] C. Blum, A. Roli. "Metaheuristics in combinatorial optimization: overview and conceptual comparison". *ACM Computing Surveys* 2003; 35: 268–308.
- [27] M. Duran Toksari. "Minimizing the multimodal functions with Ant Colony Optimization approach". *Expert Systems with Applications* 2009; 36: 6030-6035.
- [28] S. Pothiya , I. Ngamroo & W. Kongprawechnon, "Ant colony optimisation for economic dispatch problem with non-smooth cost functions". *Electrical Power and Energy Systems* 2010; 32: 478–487.
- [29] M. Dorigo. "Optimization, learning and natural algorithms" [Ph.D. thesis]. Italy: Politecnico di Milano University; 1992.
- [30] C. Blum, M. Dorigo, "The hyper-cube framework for ant colony optimization". *IEEE Transactions on Systems, Man, and Cybernetics—Part B* 2004; 34: 1161–1172.
- [31] O. Baskan, S. Haldenbilen, H. Ceylan, H. Ceylan. "A new solution algorithm for improving performance of ant colony optimization". *Applied Mathematics and Computation* 2009; 211: 75-84
- [32] M. Dorigo, G. Di Caro. "The Ant Colony Optimization meta-heuristic in New Ideas in Optimization". London: McGraw Hill; 1999.
- [33] M. Dorigo, G. Di Caro. 1999b; "Ant Colony Optimization: A New Meta-Heuristic". Proceedings of the 1999 Congress on Evolutionary Computation (CEC 99); 6-9 July 1999; Washington DC, USA. 1999. pp. 1477.
- [34] M. Dorigo, G. Di Caro, L.M. Gambardella. "Ant algorithms for discrete optimization", *Artificial Life* 1999; 5: 137–172.
- [35] M.L. Ibáñez, L. Paquete, T. Stützle. "On the design of ACO for the biobjective quadratic assignment problem". Proceedings of 4th International Workshop (ANTS 2004); 5-8 September 2004; Brussels, Belgium. 2004. pp. 214–225.
- [36] R. Montemanni, L.M. Gambardella, A.E. Rizzoli, A.V. Donati. "Ant colony system for a dynamic vehicle routing problem". *Journal of Combinatorial Optimization* 2005; 10: 327–343.
- [37] C. Blum. "Beam-ACO—Hybridizing ant colony optimization with beam search: An application to open shop scheduling". *Computers & Operations Research* 2005; 32: 1565–1591.
- [38] M. Dorigo, V. Maniezzo, A. Colomi. "Ant System: Optimization by a colony of cooperating agents". *IEEE Transactions on Systems, Man and Cybernetics—Part B* 1996; 26: 29–41.
- [39] M. Dorigo, V. Maniezzo, A. Colomi. "Distributed optimization by ant colonies". Proceedings of ECAL91 - European Conference on Artificial Life; Paris, France. 1991. pp. 134–142.



- [40] L.M. Gambardella, M. Dorigo. "Ant-Q: A reinforcement learning approach to the traveling salesman problem". Proceedings of 12th International Conference on Machine Learning (ML- 95), Lake Tahoe, California, USA. 1995. pp. 252–260.
- [41] L.M. Gambardella, M. Dorigo. 1996; "Solving symmetric and asymmetric TSPs by ant colonies". Proceedings of IEEE International Conference on Evolutionary Computation (ICEC'96); Piscataway, NJ. 1996. pp. 622–627.
- [42] T. Stützle, H.H. Hoos. "MAX-MIN Ant System". Future Generation Computer Systems 2000; 16: 889–914.
- [43] B. Bullnheimer, R.F. Hartl, C. Strauss. "A new rank-based version of the Ant System: A computational study". Central European Journal for Operations Research and Economics 1999; 7: 25–38.
- [44] O. Cordón, I.F. de Viana, F. Herrera, L. Moreno. "A new ACO model integrating evolutionary computation concepts: The best-worst Ant System". Proceedings of ANTS 2000, Université libre de Bruxelles, Belgium, 2000. pp. 22–29.
- [45] V. Maniezzo. "Exact and approximate nondeterministic tree-search procedures for the quadratic assignment problem". INFORMS Journal on Computing 1999; 11: 358–369.
- [46] C. Blum, A. Roli, M. Dorigo. "HC-ACO: The hyper-cube framework for Ant Colony Optimization". Proceedings of MIC'2001 - Metaheuristics International Conference, Porto, Portugal, 2001. pp. 399–403.
- [47] K. Watcharasithiwat, P. Wardkein. "Reliability optimization of topology communication network design using an improved ant colony optimization". Computers & Electrical Engineering 2009; 35: 730–747.
- [48] Lanz von Horsten, 2015, "A Cape Batis male feeds a Klaass Cuckoo chick while the female looks on". [Online]. 2015 [cited 20 May 2015]; Available from: <http://www.gettyimages.com/license/624714145>
- [49] Wikipedia. "Brown-headed cowbird". [Online]. 2015 [cited 20 May 2015]; Available from: [https://en.wikipedia.org/wiki/Brown-headed\\_cowbird](https://en.wikipedia.org/wiki/Brown-headed_cowbird)
- [50] Vittorio Baglione. "Cuckoos and crows teach us how parasites can be good". [Online]. 2014 [cited 20 May 2015]; Available from: <http://www.treehugger.com/natural-sciences/cuckoos-and-crows-teach-us-how-parasites-can-be-good.html>
- [51] Rutuparna Panda, Sanjay Agrawal, Sudipta Bhuyan, "Edge magnitude based multilevel thresholding using Cuckoo search technique". Expert Systems with Applications 2013; 40: 7617-7628.



- [52] Ehsan Valian, Shahram Mohanna, Saeed Tavakoli, "Improved Cuckoo Search Algorithm for Global Optimization". International Journal of Communications and Information Technology 2011; 1: 31-44.
- [53] Xin-She Yang, Suash Deb, "Multiobjective cuckoo search for design optimization". Computers & Operations Research 2013; 40: 1616-1624.
- [54] R.G. Babukarthik, R. Raju, P. Dhavachelvan. "Energy-aware scheduling using Hybrid Algorithm for cloud computing". Proceedings of Computing Communication & Networking Technologies (ICCCNT), 26-28 July 2012, Coimbatore, 2012. pp. 1 – 6.
- [55] M. Naik, M. R. Nath, A. Wunnava, S. Sahany, R. Panda. 2015; "A new adaptive Cuckoo search algorithm". Proceedings of 2015 IEEE 2nd International Conference on Recent Trends in Information Systems (ReTIS), Kolkata, 2015. pp. 1-5.



## ภาคผนวก



**ข้อมูลตัวอย่างที่ใช้ทดสอบประสิทธิภาพของอัลกอริทึม**



## ข้อมูลตัวอย่างที่ใช้ทดสอบประสิทธิภาพของอัลกอริทึม

การทดสอบประสิทธิภาพของอัลกอริทึมที่นำเสนอในครั้งนี้ ใช้ข้อมูลตัวอย่างจากงานวิจัยที่ผ่านมา [16-17] รวม 5 ชุดตัวอย่าง ดังแสดงในภาคผนวก ตารางที่ 37-41

1. ระบบอนุกรมที่มี 15 ระบบย่อยและมีตัวแปรที่ใช้ในการตัดสินใจ 60 ตัวแปร กำหนดราคารวมต้นทุน เท่ากับ \$1000

2. ระบบอนุกรมที่มี 15 ระบบย่อยและมีตัวแปรที่ใช้ในการตัดสินใจ 80 ตัวแปร กำหนดราคารวมต้นทุน \$900

3. ระบบอนุกรมที่มี 15 ระบบย่อยและมีตัวแปรที่ใช้ในการตัดสินใจ 100 ตัวแปร กำหนดราคารวมต้นทุน เท่ากับ \$1000

4. ระบบอนุกรมที่มี 25 ระบบย่อยและมีตัวแปรที่ใช้ในการตัดสินใจ 166 ตัวแปร กำหนดราคารวมต้นทุน เท่ากับ \$1400

5. ระบบอนุกรมที่มี 40 ระบบย่อยและมีตัวแปรที่ใช้ในการตัดสินใจ 266 ตัวแปร กำหนดราคารวมต้นทุน เท่ากับ \$2700

**ตาราง 46 ระบบอนุกรมที่มี 15 ระบบย่อยและมีตัวแปรที่ใช้ในการตัดสินใจ 60 ตัวแปร**

Subsystems	Tech 1	Tech 2	Tech 3	Tech 4	Tech 5	Tech 6	Tech 7	Tech 8
1 Reliability	0.9	0.99	0.999	0.9999	0.99999	0.999999	0.9999999	0.99999999
Cost (\$)	20	40	60	80	100	120	140	180
2 Reliability	0.85	0.9775	0.9966	0.9995	0.9999	0	0	0
Cost (\$)	30	60	90	120	150	0	0	0
3 Reliability	0.8	0.96	0.99	0.998	0.9997	0	0	0
Cost (\$)	20	40	60	80	100	0	0	0
4 Reliability	0.75	0.938	0	0	0	0	0	0
Cost (\$)	30	40	0	0	0	0	0	0
5 Reliability	0.85	0.99	0.999	0	0	0	0	0
Cost (\$)	20	40	65	0	0	0	0	0
6 Reliability	0.9	0.95	0.999	0.9999	0	0	0	0
Cost (\$)	25	30	50	70	0	0	0	0
7 Reliability	0.95	0.99	0	0	0	0	0	0
Cost (\$)	40	60	0	0	0	0	0	0
8 Reliability	0.85	0.995	0.999	0.9999	0.99999	0	0	0
Cost (\$)	10	30	60	80	120	0	0	0



ตาราง 46 (ต่อ)

	Subsystems	Tech 1	Tech 2	Tech 3	Tech 4	Tech 5	Tech 6	Tech 7	Tech 8
9	Reliability	0.9	0.95	0	0	0	0	0	0
	Cost (\$)	30	50	0	0	0	0	0	0
10	Reliability	0.99	0.999	0.9999	0.99999	0.999999	0	0	0
	Cost (\$)	15	40	70	100	130	0	0	0
11	Reliability	0.95	0.999	0.9998	0.99999	0.999998	0.9999999	0	0
	Cost (\$)	20	40	60	80	100	120	0	0
12	Reliability	0.8	0.9	0.99	0	0	0	0	0
	Cost (\$)	40	60	85	0	0	0	0	0
13	Reliability	0.75	0.85	0.99	0.999	0	0	0	0
	Cost (\$)	30	50	80	100	0	0	0	0
14	Reliability	0.8	0.95	0.99	0	0	0	0	0
	Cost (\$)	10	30	40	0	0	0	0	0
15	Reliability	0.99	0.999	0.9999	0.99999	0	0	0	0
	Cost (\$)	50	80	110	140	0	0	0	0



ตาราง 47 ระบบอนุกรรมที่มี 15 ระบบย่อยและมีตัวแปรที่ใช้ในการตัดสินใจ 80 ตัวแปร

Subsystems	Tech 1	Tech 2	Tech 3	Tech 4	Tech 5	Tech 6	Tech 7	Tech 8
1 Reliability	0.9	0.99	0.999	0.9999	0.99999	0.999999	0.9999999	0.99999999
Cost (\$)	20	40	60	80	100	120	140	180
2 Reliability	0.85	0.9775	0.9966	0.9995	0.9999			
Cost (\$)	30	60	90	120	150			
3 Reliability	0.8	0.96	0.99	0.998	0.9997			
Cost (\$)	20	40	60	80	100			
4 Reliability	0.75	0.938	0.97	0.99	0.995			
Cost (\$)	30	40	60	70	80			
5 Reliability	0.85	0.99	0.999	0.9999				
Cost (\$)	20	40	65	80				
6 Reliability	0.9	0.95	0.999	0.9999				
Cost (\$)	25	30	50	70				
7 Reliability	0.95	0.99	0.999	0.9999				
Cost (\$)	40	60	80	100				
8 Reliability	0.85	0.995	0.999	0.9999	0.99999			
Cost (\$)	10	30	60	80	120			
9 Reliability	0.9	0.95	0.98	0.995	0.9999			
Cost (\$)	30	50	70	90	120			
10 Reliability	0.99	0.999	0.9999	0.99999	0.999999			
Cost (\$)	15	40	70	100	130			
11 Reliability	0.95	0.999	0.9998	0.99999	0.999998	0.9999999		
Cost (\$)	20	40	60	80	100	120		
12 Reliability	0.8	0.9	0.99	0.999	0.9999	0.99999	0.999997	0.9999995
Cost (\$)	40	60	85	100	120	140	155	170
13 Reliability	0.75	0.85	0.99	0.999				
Cost (\$)	30	50	80	100				
14 Reliability	0.8	0.95	0.99	0.996	0.9993	0.9999	0.99996	0.999998
Cost (\$)	10	30	40	60	80	95	120	140
15 Reliability	0.99	0.999	0.9999	0.99999				
Cost (\$)	50	80	110	140	50	80	110	140



ตาราง 48 ระบบอนุกรมที่มี 15 ระบบย่อยและมีตัวแปรที่ใช้ในการตัดสินใจ 100 ตัวแปร

Subsystems	Tech 1	Tech 2	Tech 3	Tech 4	Tech 5	Tech 6	Tech 7	Tech 8
1 Reliability	0.9	0.99	0.999	0.9999	0.99999	0.999999	0.9999999	0.99999999
	Cost (\$)	20	40	60	80	100	120	140
2 Reliability	0.85	0.9775	0.9966	0.9995	0.9999			
	Cost (\$)	30	60	90	120	150		
3 Reliability	0.8	0.96	0.99	0.998	0.9997	0.9999	0.99999	0.999999
	Cost (\$)	20	40	60	80	100	120	140
4 Reliability	0.75	0.938	0.98	0.999	0.9999			
	Cost (\$)	30	40	50	60	70		
5 Reliability	0.85	0.99	0.999	0.9999	0.99998	0.999998	0.9999998	0.99999998
	Cost (\$)	20	40	65	80	100	120	140
6 Reliability	0.9	0.95	0.999	0.9999	0.99999			
	Cost (\$)	25	30	50	70	90		
7 Reliability	0.95	0.99	0.997	0.9997	0.99997	0.999997	0.9999997	0.99999997
	Cost (\$)	40	60	80	100	120	140	160
8 Reliability	0.85	0.995	0.999	0.9999	0.99999			
	Cost (\$)	10	30	60	80	120		
9 Reliability	0.9	0.95	0.995	0.9995	0.99995	0.999995	0.9999995	0.99999995
	Cost (\$)	30	50	70	90	110	130	150
10 Reliability	0.99	0.999	0.9999	0.99999	0.999999	0.9999999		
	Cost (\$)	15	40	70	100	130	160	
11 Reliability	0.95	0.999	0.9998	0.99999	0.999998	0.9999999	0.99999997	0.99999999
	Cost (\$)	20	40	60	80	100	120	140
12 Reliability	0.8	0.9	0.99	0.999	0.9999			
	Cost (\$)	40	60	85	110	130		
13 Reliability	0.75	0.85	0.99	0.999	0.9996	0.99996	0.999996	0.9999996
	Cost (\$)	30	50	80	100	120	140	160
14 Reliability	0.8	0.95	0.99	0.999	0.9999			
	Cost (\$)	10	30	40	60	80		
15 Reliability	0.99	0.999	0.9999	0.99999	0.999999	0.9999999	0.99999998	0.999999995
	Cost (\$)	50	80	110	140	160	180	200



ตาราง 49 ระบบอนุกรมที่มี 25 ระบบย่อยและมีตัวแปรที่ใช้ในการตัดสินใจ 166 ตัวแปร

Subsystems	Tech 1	Tech 2	Tech 3	Tech 4	Tech 5	Tech 6	Tech 7	Tech 8
1 Reliability	0.9	0.99	0.999	0.9999	0.99999	0.999999	0.9999999	0.99999999
	Cost (\$)	20	40	60	80	100	120	140
2 Reliability	0.85	0.9775	0.9966	0.9995	0.9999	0	0	0
	Cost (\$)	30	60	90	120	150	0	0
3 Reliability	0.8	0.96	0.99	0.998	0.9997	0.9999	0.99999	0.999999
	Cost (\$)	20	40	60	80	100	120	140
4 Reliability	0.75	0.938	0.98	0.999	0.9999	0	0	0
	Cost (\$)	30	40	50	60	70	0	0
5 Reliability	0.85	0.99	0.999	0.9999	0.99998	0.999998	0.9999998	0.99999998
	Cost (\$)	20	40	65	80	100	120	140
6 Reliability	0.9	0.95	0.999	0.9999	0.99999	0	0	0
	Cost (\$)	25	30	50	70	90	0	0
7 Reliability	0.95	0.99	0.997	0.9997	0.99997	0.999997	0.9999997	0.99999997
	Cost (\$)	40	60	80	100	120	140	160
8 Reliability	0.85	0.995	0.999	0.9999	0.99999	0	0	0
	Cost (\$)	10	30	60	80	120	0	0
9 Reliability	0.9	0.95	0.995	0.9995	0.99995	0.999995	0.9999995	0.99999995
	Cost (\$)	30	50	70	90	110	130	150
10 Reliability	0.99	0.999	0.9999	0.99999	0.999999	0.9999999	0	0
	Cost (\$)	15	40	70	100	130	160	0
11 Reliability	0.95	0.999	0.9998	0.99999	0.999998	0.9999999	0.99999997	0.99999999
	Cost (\$)	20	40	60	80	100	120	140
12 Reliability	0.8	0.9	0.99	0.999	0.9999	0	0	0
	Cost (\$)	40	60	85	110	130	0	0
13 Reliability	0.75	0.85	0.99	0.999	0.9996	0.99996	0.999996	0.9999996
	Cost (\$)	30	50	80	100	120	140	160
14 Reliability	0.8	0.95	0.99	0.999	0.9999	0	0	0
	Cost (\$)	10	30	40	60	80	0	0



## ตาราง 49 (ต่อ)

	Subsystems	Tech 1	Tech 2	Tech 3	Tech 4	Tech 5	Tech 6	Tech 7	Tech 8
15	Reliability	0.99	0.999	0.9999	0.99999	0.999999	0.9999999	0.99999998	0.999999995
	Cost (\$)	50	80	110	140	160	180	200	220
16	Reliability	0.9	0.99	0.999	0.9999	0.99999	0.999999	0.9999999	0.99999999
	Cost (\$)	20	40	60	80	100	120	140	180
17	Reliability	0.85	0.9775	0.9966	0.9995	0.9999	0	0	0
	Cost (\$)	30	60	90	120	150	0	0	0
18	Reliability	0.8	0.96	0.99	0.998	0.9997	0.9999	0.99999	0.999999
	Cost (\$)	20	40	60	80	100	120	140	160
19	Reliability	0.75	0.938	0.98	0.999	0.9999	0	0	0
	Cost (\$)	30	40	50	60	70	0	0	0
20	Reliability	0.85	0.99	0.999	0.9999	0.99998	0.999998	0.9999998	0.99999998
	Cost (\$)	20	40	65	80	100	120	140	155
21	Reliability	0.9	0.95	0.999	0.9999	0.99999	0	0	0
	Cost (\$)	25	30	50	70	90	0	0	0
22	Reliability	0.95	0.99	0.997	0.9997	0.99997	0.999997	0.9999997	0.99999997
	Cost (\$)	40	60	80	100	120	140	160	180
23	Reliability	0.85	0.995	0.999	0.9999	0.99999	0	0	0
	Cost (\$)	10	30	60	80	120	0	0	0
24	Reliability	0.9	0.95	0.995	0.9995	0.99995	0.999995	0.9999995	0.99999995
	Cost (\$)	30	50	70	90	110	130	150	170
25	Reliability	0.99	0.999	0.9999	0.99999	0.999999	0.9999999	0	0
	Cost (\$)	15	40	70	100	130	160	0	0



ตาราง 50 ระบบอนุกรรມที่มี 40 ระบบย่อยและมีตัวแปรที่ใช้ในการตัดสินใจ 266 ตัวแปร

Subsystems	Tech 1	Tech 2	Tech 3	Tech 4	Tech 5	Tech 6	Tech 7	Tech 8
1 Reliability	0.9	0.99	0.999	0.9999	0.99999	0.999999	0.9999999	0.99999999
	Cost (\$)	20	40	60	80	100	120	140
2 Reliability	0.85	0.9775	0.9966	0.9995	0.9999	0	0	0
	Cost (\$)	30	60	90	120	150	0	0
3 Reliability	0.8	0.96	0.99	0.998	0.9997	0.9999	0.99999	0.999999
	Cost (\$)	20	40	60	80	100	120	140
4 Reliability	0.75	0.938	0.98	0.999	0.9999	0	0	0
	Cost (\$)	30	40	50	60	70	0	0
5 Reliability	0.85	0.99	0.999	0.9999	0.99998	0.999998	0.9999998	0.99999998
	Cost (\$)	20	40	65	80	100	120	140
6 Reliability	0.9	0.95	0.999	0.9999	0.99999	0	0	0
	Cost (\$)	25	30	50	70	90	0	0
7 Reliability	0.95	0.99	0.997	0.9997	0.99997	0.999997	0.9999997	0.99999997
	Cost (\$)	40	60	80	100	120	140	160
8 Reliability	0.85	0.995	0.999	0.9999	0.99999	0	0	0
	Cost (\$)	10	30	60	80	120	0	0
9 Reliability	0.9	0.95	0.995	0.9995	0.99995	0.999995	0.9999995	0.99999995
	Cost (\$)	30	50	70	90	110	130	150
10 Reliability	0.99	0.999	0.9999	0.99999	0.999999	0.9999999	0	0
	Cost (\$)	15	40	70	100	130	160	0
11 Reliability	0.95	0.999	0.9998	0.99999	0.999998	0.9999999	0.99999997	0.99999999
	Cost (\$)	20	40	60	80	100	120	140
12 Reliability	0.8	0.9	0.99	0.999	0.9999	0	0	0
	Cost (\$)	40	60	85	110	130	0	0
13 Reliability	0.75	0.85	0.99	0.999	0.9996	0.99996	0.999996	0.9999996
	Cost (\$)	30	50	80	100	120	140	180
14 Reliability	0.8	0.95	0.99	0.999	0.9999	0	0	0
	Cost (\$)	10	30	40	60	80	0	0



ตาราง 50 (ต่อ)

	Subsystems	Tech 1	Tech 2	Tech 3	Tech 4	Tech 5	Tech 6	Tech 7	Tech 8
15	Reliability	0.99	0.999	0.9999	0.99999	0.999999	0.9999999	0.99999998	0.999999995
	Cost (\$)	50	80	110	140	160	180	200	220
16	Reliability	0.9	0.99	0.999	0.9999	0.99999	0.999999	0.9999999	0.99999999
	Cost (\$)	20	40	60	80	100	120	140	180
17	Reliability	0.85	0.9775	0.9966	0.9995	0.9999	0	0	0
	Cost (\$)	30	60	90	120	150	0	0	0
18	Reliability	0.8	0.96	0.99	0.998	0.9997	0.9999	0.99999	0.999999
	Cost (\$)	20	40	60	80	100	120	140	160
19	Reliability	0.75	0.938	0.98	0.999	0.9999	0	0	0
	Cost (\$)	30	40	50	60	70	0	0	0
20	Reliability	0.85	0.99	0.999	0.9999	0.99998	0.999998	0.9999998	0.99999998
	Cost (\$)	20	40	65	80	100	120	140	155
21	Reliability	0.9	0.95	0.999	0.9999	0.99999	0	0	0
	Cost (\$)	25	30	50	70	90	0	0	0
22	Reliability	0.95	0.99	0.997	0.9997	0.99997	0.999997	0.9999997	0.99999997
	Cost (\$)	40	60	80	100	120	140	160	180
23	Reliability	0.85	0.995	0.999	0.9999	0.99999	0	0	0
	Cost (\$)	10	30	60	80	120	0	0	0
24	Reliability	0.9	0.95	0.995	0.9995	0.99995	0.999995	0.9999995	0.99999995
	Cost (\$)	30	50	70	90	110	130	150	170
25	Reliability	0.99	0.999	0.9999	0.99999	0.999999	0.9999999	0	0
	Cost (\$)	15	40	70	100	130	160	0	0
26	Reliability	0.95	0.99	0.999	0.9995	0.99999	0.999995	0.9999999	0.99999998
	Cost (\$)	25	35	55	70	95	115	140	160
27	Reliability	0.85	0.97	0.997	0.9995	0.9999	0	0	0
	Cost (\$)	40	60	90	120	145	0	0	0



## ตาราง 50 (ต่อ)

	Subsystems	Tech 1	Tech 2	Tech 3	Tech 4	Tech 5	Tech 6	Tech 7	Tech 8
28	Reliability	0.85	0.96	0.99	0.998	0.9998	0.99995	0.99999	0.999999
	Cost (\$)	25	45	60	85	100	125	150	170
29	Reliability	0.8	0.9	0.98	0.998	0.9995	0	0	0
	Cost (\$)	30	45	60	70	85	0	0	0
30	Reliability	0.8	0.98	0.995	0.9995	0.99995	0.999995	0.9999995	0.99999995
	Cost (\$)	20	40	60	80	100	120	140	160
31	Reliability	0.85	0.9	0.99	0.999	0.9999	0	0	0
	Cost (\$)	20	30	50	70	90	0	0	0
32	Reliability	0.9	0.97	0.997	0.9997	0.99997	0.999997	0.9999997	0.99999997
	Cost (\$)	30	50	70	90	110	130	150	170
33	Reliability	0.85	0.95	0.995	0.9995	0.99995	0	0	0
	Cost (\$)	15	30	60	85	110	0	0	0
34	Reliability	0.9	0.95	0.995	0.9995	0.99995	0.999995	0.9999995	0.99999995
	Cost (\$)	25	45	65	85	105	125	145	165
35	Reliability	0.95	0.999	0.9995	0.99999	0.999995	0.9999999	0	0
	Cost (\$)	20	45	70	100	140	170	0	0
36	Reliability	0.99	0.998	0.9998	0.99998	0.999998	0.9999998	0.99999998	0.999999998
	Cost (\$)	30	40	60	80	100	120	140	160
37	Reliability	0.8	0.9	0.99	0.999	0.9999	0	0	0
	Cost (\$)	30	50	80	115	130	0	0	0
38	Reliability	0.75	0.85	0.95	0.996	0.9996	0.99996	0.999996	0.9999996
	Cost (\$)	20	40	75	100	115	140	155	175
39	Reliability	0.75	0.9	0.99	0.999	0.9995	0	0	0
	Cost (\$)	15	30	40	60	80	0	0	0
40	Reliability	0.99	0.999	0.9999	0.99999	0.999999	0.9999999	0.99999998	0.999999995
	Cost (\$)	40	70	100	130	160	185	210	225



## ประวัติย่อผู้วิจัย



## ประวัติย่อผู้วิจัย

ชื่อ นามสกุล	นายมานะ โสภา
วัน เดือน ปีเกิด	วันที่ 16 เมษายน พ.ศ. 2521
จังหวัด และประเทศที่เกิด	อำเภอเมือง จังหวัดสุรินทร์ ประเทศไทย
ประวัติการศึกษา	พ.ศ. 2536 มัธยมศึกษาที่ 3 โรงเรียนสุรินทร์ฯ พ.ศ. 2539 ประกาศนียบัตรวิชาชีพ (ปวช.) ช่างไฟฟ้าอิเล็กทรอนิกส์ วิทยาลัยเทคนิคสุรินทร์
	พ.ศ. 2541 ประกาศนียบัตรวิชาชีพชั้นสูง (ปวส.) ช่างอิเล็กทรอนิกส์ วิทยาลัยเทคนิคสุรินทร์
	พ.ศ. 2543 ประกาศนียบัตรครุภัณฑ์ชั้นสูง (ปวส.) ครุเทคนิคไฟฟ้าสื่อสารวิทยาลัยเทคนิคอุดรธานี
	พ.ศ. 2546 ปริญญาครุศาสตร์อุตสาหกรรมบัณฑิต (ค.อ.บ.) สาขาวิศวกรรมอิเล็กทรอนิกส์และโทรคมนาคม สถาบันเทคโนโลยีปทุมธานี
	พ.ศ. 2549 ปริญญาครุศาสตร์อุตสาหกรรมมหาบัณฑิต (ค.อ.ม.) สาขาวิชาเทคโนโลยีคอมพิวเตอร์ สถาบันเทคโนโลยีพระจอมเกล้าฯ พระนครเหนือ
	พ.ศ. 2559 ปริญญาปรัชญาดุษฎีบัณฑิต (ปร.ด.) สาขาวิศวกรรมไฟฟ้าและคอมพิวเตอร์ มหาวิทยาลัยมหาสารคาม
ตำแหน่ง สถานที่ทำงาน	อาจารย์ สาขาวิชาวิทยาการคอมพิวเตอร์และเทคโนโลยีสารสนเทศ คณะวิทยาศาสตร์ มหาวิทยาลัยราชภัฏอุดรธานี อำเภอเมือง จังหวัดอุดรธานี 41000
ที่อยู่ที่สามารถติดต่อได้	บ้านเลขที่ 99/57 หมู่ 1 ถนนนิตโย ตำบลหนองนาคำ อำเภอเมือง จังหวัดอุดรธานี 41000
ผลงานวิจัย	

Mana Sopa, Niwat Angkawisittpa. "An Application of Cuckoo Search Algorithm for Series System with Cost and Multiple Choices ConstraintsOriginal Research Article". Procedia Computer Science 2016, 86: 453-456.

